

Universidad de La Laguna  
ESCUELA POLITÉCNICA SUPERIOR DE INGENIERÍA  
Sección Náutica, Máquinas y Radioelectrónica Naval

**Trabajo presentado para  
la obtención del título de**

**GRADUADO EN TECNOLOGÍAS MARINAS**

Presentado por

Ronaldo García Rodríguez

Algoritmo para la simulación de las pérdidas térmicas por  
aislamiento, temperatura de llama del quemador,  
determinación de calor transferido al agua y temperatura de  
gases de escape

Dirigido por

Carlos Efrén Mora Luis

Presentado en (Julio de 2021)





# Resumen

Este trabajo tiene como objetivo mejorar el firmware de un simulador empleado para la simulación de una caldera de vapor saturado. Esta mejora ha consistido fundamentalmente en la inclusión del cálculo de la energía térmica perdida a través de la envolvente, además de la temperatura de llama y la temperatura de los gases de escape. Asimismo, se ha incorporado una curva de eficiencia dependiente de la carga de una caldera real para una determinación más realista de la potencia entregada por el quemador al agua durante la simulación. El algoritmo desarrollado se ejecuta en un procesador Atmega 2560, visualizando las variables de la simulación a través de un display LCD e interactuando con el algoritmo a través de potenciómetros, que simulan los controles de una caldera real. Las simulaciones que genera el Arduino emulan el funcionamiento de una caldera con el quemador a distintas cargas, de forma que la temperatura de escape, la temperatura de llama que se genera en el hogar y la potencia que es capaz de producir el quemador a tiempo real, se acercan fielmente a los valores reales de funcionamiento de una caldera. Se concluye, que la energía neta que entrega el quemador es inferior a la versión anterior del firmware debido a la incorporación de las pérdidas térmicas y un cálculo más realista de la potencia transferida por el quemador. Asimismo, se observa que a un mayor exceso de aire hay una disminución de la potencia entregada por el quemador.



# Abstract

This work aims to improve a previous firmware of a steam baoiler simulator. The improvements consisted mainly in the inclusion of a more realistic calculus the thermal energy lost through the isolating shield, the calculation of the flame temperature and the exhaust gas temperature. In addition, a load-dependent efficiency curve of a real boiler has been incorporated for a more realistic determination of the power supplied by the burner to the water during the simulation. The developed algorithm runs on an Atmega 2560 processor, visualizing the simulating variables through an LCD and interacting with the algorithm through potentiometers, that simulate the controls of a real boiler. The simulation is generated by the Arduino emulate the operation of a boiler with the burner at different loads and determines that the right exhaust temperature, the flame temperature in the furnace and the power that the burner is capable of producing in real-time. The value of these variable are very close to the values when operating a real boiler. To conclude the net power delivered by the burner is lower than the previous firmware version due to the including the effect that the excess of air has on the flame temperature in the furnace.



# Índice general

<b>Lista de figuras</b>	<b>XI</b>
<b>Lista de tablas</b>	<b>XIII</b>
<b>Acrónimos</b>	<b>XV</b>
<b>Simbología</b>	<b>XVII</b>
<b>1. Introducción y objetivos</b>	<b>1</b>
<b>2. Fundamentación teórica</b>	<b>3</b>
2.1. Fueloil . . . . .	3
2.2. Combustión del fueloil . . . . .	3
2.2.1. Relación aire combustible . . . . .	4
2.2.2. Quemadores de combustibles líquidos . . . . .	4
2.3. Pérdidas Térmicas . . . . .	5
2.3.1. Convección . . . . .	5
2.3.2. Conducción . . . . .	6
2.3.3. Radiación . . . . .	6
2.3.4. Aislamiento térmico . . . . .	6
2.4. Aspectos teóricos de los intercambiadores de vapor . . . . .	7
2.4.1. Coeficiente térmico $\bar{U}$ . . . . .	7
2.4.2. Temperatura media logarítmica . . . . .	7
<b>3. Cálculos y ecuaciones</b>	<b>9</b>
3.1. Cálculo de la superficie total de intercambio de la caldera . . . . .	9
3.2. Cálculo de la temperatura del hogar . . . . .	10
3.2.1. Peso molecular del combustible . . . . .	10
3.2.2. Ecuación química del combustible . . . . .	10
3.2.3. Cálculo del caudal de combustible . . . . .	12
3.2.4. Determinación de la masa de oxígeno estequiométrico . . . . .	12

3.2.5. Cálculo del índice de exceso de aire . . . . .	13
3.2.6. Cálculo de la temperatura del hogar . . . . .	13
3.3. Ecuación de eficiencia según la carga de vapor . . . . .	17
3.3.1. Obtención de la ecuación de la eficiencia . . . . .	17
3.4. Cálculo de la temperatura de gases de escape . . . . .	19
3.4.1. Cálculo del coeficiente térmico $\bar{U}$ . . . . .	19
3.4.2. Cálculo de la temperatura media logarítmica real . . . . .	19
3.4.3. Temperatura de gases de escape mediante el cálculo iterativo . . . . .	20
3.5. Pérdida térmicas a través del aislamiento . . . . .	20
3.5.1. Cálculo de pérdidas térmicas en la superficie lateral de la caldera . .	20
3.5.2. Cálculo de pérdidas térmicas en las tapas circulares de la caldera . .	21
<b>4. Hardware y algoritmo de cálculo</b>	<b>23</b>
4.1. Hardware y lenguaje de programación empleado . . . . .	23
4.2. Conexiones y diagramas . . . . .	25
4.3. Desarrollo del firmware . . . . .	26
4.3.1. Código . . . . .	26
4.3.2. Cálculo de la temperatura del hogar . . . . .	33
<b>5. Resultados</b>	<b>39</b>
5.1. Datos de la simulación . . . . .	39
5.1.1. Simulación: Comportamiento del aislamiento térmico según la tem- peratura del agua . . . . .	39
5.1.2. Simulación: Comportamiento de la temperatura del hogar frente al exceso de aire . . . . .	40
5.1.3. Simulación: Temperatura de escape y carga del quemador . . . . .	41
5.1.4. Simulación: Calentamiento del agua de 45°C a 99°Cvisualización de tres variables . . . . .	42
5.2. Depuración del código . . . . .	43
5.2.1. Fallos de la programación . . . . .	43
5.2.2. Fallo en la ecuación NetEnergy . . . . .	44
5.2.3. Fallo en la variable SteamMass . . . . .	44
5.3. Dispositivo simulador . . . . .	44
<b>6. Discusión y conclusión</b>	<b>47</b>
6.1. Discusión . . . . .	47
6.2. Conclusión . . . . .	47
6.2.1. Limitaciones y líneas futuras . . . . .	48
6.3. Valoración personal . . . . .	48

<b>Bibliografía</b>	<b>48</b>
<b>Anexos</b>	<b>53</b>
<b>A. Tablas de datos</b>	<b>53</b>
A.1. Tabla de datos de la gráfica temperatura de agua y calor perdido . . . . .	54
A.2. Tabla de datos de la gráfica temperatura del hogar y exceso de aire . . . . .	55
A.3. Tabla de datos de la gráfica temperatura de escape y carga del quemador .	55
<b>B. Código fuente del simulador</b>	<b>57</b>
B.1. Código fuente . . . . .	57
B.2. Archivos de configuración . . . . .	78
B.2.1. Parámetros y constantes . . . . .	78
B.2.2. Variables . . . . .	80



# Índice de figuras

3.1. Caldera de tipo pirotubular. . . . .	9
3.2. Comportamiento de la eficiencia con respecto a la carga. . . . .	17
3.3. Obtención de la tabla de valores mediante el software Get Data. . . . .	18
3.4. Obtención de la línea de tendencia y su ecuación mediante excel. . . . .	18
4.1. Arduino Mega 2560. . . . .	23
4.2. Diagrama de conexiones Arduino Mega 2560. . . . .	24
4.3. Conexiones del simulador elaborado con Fritzing. . . . .	26
4.4. Diagrama de flujo para el cálculo de las perdidas térmicas. . . . .	31
4.5. Diagrama de flujo para el cálculo de las pérdidas térmicas. . . . .	34
4.6. Diagrama de flujo para el cálculo de las temperaturas de escape. . . . .	36
5.1. Temperatura de agua frente a la potencia perdida. . . . .	39
5.2. Temperatura del hogar frente al exceso de aire. . . . .	40
5.3. Temperatura de gases de escape frente a la carga del quemador. . . . .	41
5.4. Simulación del calentamiento de agua. . . . .	42
5.5. Visualización de la variable LosePower. . . . .	43
5.6. Dispositivo usado para la simulación. . . . .	45



# Índice de tablas

3.1. Tabla de pesos atómicos . . . . .	10
A.1. Tabla de datos gráfica temperatura de agua y calor perdido . . . . .	54
A.2. Tabla de datos gráfica temperatura del hogar y exceso de aire . . . . .	55
A.3. Tabla de datos gráfica temperatura de escape y carga del quemador . . . . .	55



# Acrónimos

<b>LED</b>	Diodo Emisor de Luz
<b>USB</b>	Bus Serie Universal
<b>LCD</b>	Pantalla de Cristal Líquido
<b>ICSP</b>	In-Circuit Serial Programming
<b>PWM</b>	Modulación por Ancho de Pulsos
<b>SDA</b>	System Data
<b>SCL</b>	System Clock
<b>I2C</b>	Inter-Integrated Circuit
<b>IDE</b>	Entorno de Desarrollo Integrado



# Simbología

$Q$	Calor transmitido por unidad de tiempo.
$h$	Coeficiente de convección.
$A_s$	Área del cuerpo en contacto con el fluido.
$T_s$	Temperatura de la superficie del cuerpo.
$T_{inf}$	Temperatura del fluido lejos de la superficie de intercambio.
$k$	Conductividad térmica.
$r$	Resistividad térmica.
$\dot{q}$	Flujo de calor (por unidad de tiempo y unidad de área).
$A$	Área de la superficie de contacto.
$e$	Espesor del material.
$(T_2 - T_1)$	Diferencia de temperatura entre el foco caliente y el foco frío.
$\dot{m}_{combustible}$	Caudal de combustible.
$P_{quemador}$	Potencia del quemador en kW.
$\%_{carga\ vapor}$	Carga de vapor en %
PCI	Poder calorífico inferior.
$\dot{M}_{fuel}$	Flujo moles de fuel.
$\dot{m}_{fuel}$	Flujo másico de fuel.
$P_{a_{fuel}}$	Peso atómico del fuel en (kg/mol).
$\dot{M}O_2_{fuel}$	Flujo moles de oxígeno.
$MO_2$	Moles de oxígeno para una molécula de fuel.
$\dot{m}O_2_{fuel}$	Caudal de oxígeno para el caudal de fuel.
$PmO_2$	Peso molecular del oxígeno en (g/mol).
$I_e$	Índice de exceso.
$\%_{exceso}$	Porcentaje de exceso de aire.
$Q_{combustion}$	Calor de combustión.
$Q_{gasesdeexceso}$	Calor gases de exceso.
$\dot{m}$	Caudal másico.
$C_e$	Calor específico del fluido.
$\Delta t$	Diferencia de temperatura.
$P_{H_2O}$	Potencia calorífica contenido en el vapor de agua.
$\dot{m}_{H_2O}$	Caudal másico del vapor de agua.
$C_{eH_2O}$	Calor específico del vapor de agua.
$T_{adb}$	Temperatura adiabática del combustible.
$P_{CO_2}$	Potencia calorífica contenido en el dióxido de carbono.
$\dot{m}_{CO_2}$	Caudal másico del dióxido de carbono.
$C_{eCO_2}$	Calor específico del dióxido de carbono.
$P_{N_2}$	Potencia calorífica contenido en el nitrógeno.
$\dot{m}_{N_2}$	Caudal másico del nitrógeno.
$C_{eN_2}$	Calor específico del nitrógeno.

$T_{amb}$	Temperatura ambiente o de entrada de gases de admisión.
$P_{O_2}$	Potencia calorífica contenido en el oxígeno.
$\dot{m}_{O_2}$	Caudal másico del oxígeno.
$Ce_{O_2}$	Calor específico del oxígeno.
$Eff$	Eficiencia de la caldera según la carga en %.
$C_v$	Carga de vapor en %.
$\mathcal{U}$	Coeficiente conductividad térmica global en $\frac{W}{m^{2\circ}C}$ .
$K_{gas}$	Coeficiente conductivo gases de escape.
$K_{agua}$	Coeficiente conductivo agua.
$L.T.M._I$	Temperatura media logarítmica iterada.
$T_h$	Temperatura del hogar de la caldera.
$B_w$	Temperatura del agua de caldera.
$E_t$	Temperatura de gases de escape.
$F_w$	Temperatura de agua de alimentación.
$P_{SC}$	Potencia térmica cedida por la superficie cilíndrica.
$T_{inf1}$	Temperatura del agua en un punto lejano de la superficie de intercambio.
$T_{inf2}$	Temperatura del aire en un punto lejano de la superficie de intercambio.
$R_{ENV}$	Resistencia térmica de la superficie de la envolvente.
$R_{TP}$	Resistencia térmica de la superficie de la tapa de la envolvente.
$R_{conv1}$	Resistencia convectiva generada por el agua.
$R_{cil1}$	Resistencia cilíndrica de la envolvente.
$R_{cil2}$	Resistencia cilíndrica del aislante.
$R_{cil3}$	Resistencia cilíndrica del calorifugado.
$R_{conv2}$	Resistencia convectiva generada por el aire.
$R_1$	Radio interno de la envolvente.
$R_2$	Radio externo de la envolvente.
$R_3$	Radio interno del calorifugado.
$R_4$	Radio externo del calorifugado.
$L$	Longitud de la envolvente.
$k_1$	Conductividad térmica de la envolvente.
$k_2$	Conductividad térmica del aislante.
$k_3$	Conductividad térmica del calorifugado.
$h_1$	Coeficiente convectivo del agua.
$h_2$	Coeficiente convectivo del aire.
$A_1$	Área de transferencia en contacto con el agua.
$A_2$	Área de transferencia en contacto con el aire.
$P_{SP}$	Potencia térmica cedida por la tapa de la envolvente.
$R_{conv1}$	Resistencia convectiva generada por el agua
$R_{pared1}$	Resistencia de la tapa de la envolvente.
$R_{pared2}$	Resistencia del aislante.
$R_{pared3}$	Resistencia del calorifugado.
$R_{conv2}$	Resistencia convectiva generada por el aire.
$L_1$	Espesor de la tapa de la envolvente.
$L_2$	Espesor del aislante.
$L_3$	Espesor del calorifugado.
$k_1$	Conductividad térmica de la tapa de la envolvente.
$k_2$	Conductividad térmica del aislante.
$k_3$	Conductividad térmica del calorifugado.

$A_{SP}$  Área de la tapa de la envolvente.



# 1 Introducción y objetivos

El aprendizaje práctico del funcionamiento y operación de una caldera se facilita enormemente cuando se dispone de simuladores específicos. No obstante, no siempre es posible usar los modelos necesarios o estos resultan inaccesibles por los centros educativos, especialmente tratándose de la simulación de equipos complejos. En el caso de las calderas de vapor pirotubulares es posible simular su comportamiento partiendo, por un lado, de las características técnicas reales y, por otro lado, basándose en el comportamiento termodinámico de las distintas variables que actúan sobre su funcionamiento.

En trabajos anteriores al que se presenta, se ha realizado una simulación empleando hardware y software libre con la intención de disponer de un simulador de bajo coste económico que permita conectarse a un panel didáctico y a instrumentación realista a través del cual realizar ejercicios y entrenamiento tanto para su operación manual, como para realizar ejercicios con controladores PID para su operación automática mediante la estabilización del nivel de agua y de presión. Estos trabajos previos han conducido al desarrollo de un firmware para Arduino Mega, que se hallaba en su versión 0.2. Esta versión ya tiene funcionalidad para simular el funcionamiento del quemador y sus alarmas, la secuencia de arranque y barrido, el llenado a través de una válvula de mariposa, la pérdida de nivel de agua en función del vapor consumido, el aumento de temperatura de la caldera en función del calor transferido al agua, así como las alarmas vinculadas al funcionamiento del quemador, niveles de agua y presión de la caldera.

Partiendo de la versión previamente desarrollada, que simula una caldera modelo UMISA SMS 25 con una producción de vapor máxima de 10000 kg/h y una potencia máxima de 6563 kW, se han hecho varias mejoras en el código fuente. Estas mejoras han consistido, entre otras, programar un comportamiento más realista del quemador, la introducción de pérdidas térmicas a través de la envolvente de la caldera y la determinación de la temperatura de los gases de escape. De forma más específica, los objetivos de este trabajo se han centrado en las siguientes mejoras:

- En la versión inicial el cálculo de la potencia transferida al agua estaba simplificado, partiendo de un valor de potencia máxima al que se le aplicaba un coeficiente entre 0.0 y 1.0, dependiendo de la posición del mando de control. Se pretende calcular, de forma mucho más realista, la potencia transferida al agua.
- El desarrollo previo del simulador no tenía en cuenta las pérdidas térmicas a través de la envolvente. Se pretende determinar las pérdidas térmicas a través de la envolvente en función del estado de la caldera.

Estas mejoras han requerido la obtención de las ecuaciones necesarias, que se han integrado posteriormente en el código fuente del firmware del simulador: por un lado se ha determinado la potencia transferida al agua a partir del cálculo de la temperatura de llama junto al flujo másico del combustible y del aire aportados por el quemador; por otro lado se han

determinado las pérdidas térmicas por convección en la envolvente de la caldera, teniendo en cuenta la conductividad térmica de la envolvente de acero y del aislamiento. Como consecuencia, el simulador puede determinar de forma realista, además de los cálculos que ya se realizaban en la versión anterior.

El presente trabajo describe el desarrollo de las modificaciones del simulador a lo largo de 6 capítulos:

- Capítulo 1 → Introducción. Se describe los antecedentes del proyecto, las mejoras que se aplican para esta modificación, el funcionamiento del firmware con las nuevas implementaciones y el contenido del proyecto.
- Capítulo 2 → Fundamentación teórica. Se detalla la fundamentación teórica, en la cual está sustentada el proyecto, que contiene las citas y toda la información empleado para desarrollar los diferentes cálculos que contiene el proyecto.
- Capítulo 3 → Cálculos y ecuaciones. Se describen las diferentes ecuaciones y los pasos para obtener los diferentes resultados necesarios para la simulación.
- Capítulo 4 → Algoritmo de cálculo. Se explica el código empleado a implementar en el hardware. También se puede observar cómo se han integrado los cálculos del capítulo 3 en el código fuente.
- Capítulo 5 → Resultados. Se detallan los diferentes resultados obtenidos en la simulación, así como, los diferentes gráficos de la evolución de la caldera.
- Capítulo 6 → Discusión y conclusión. Se contrastan los resultados obtenidos y se desarrollan las conclusiones explicando algunos comportamientos, debatiendo resultados, líneas futuras y fallos durante el desarrollo .

## 2 Fundamentación teórica

### 2.1 Fueloil

El petróleo se compone básicamente de hidrocarburos, desde el metano hasta especies complejas como el fueloil  $C_{20}H_{42}$  o superiores [9]. En el caso del fuel, su composición química consta de cadenas de 20 átomos o más de carbono. Cabe destacar que es el fueloil puede obtenerse por destilación bajo presión atmosférica, considerándose un residuo de este proceso [5, 9, 28, 6]. Igualmente, los fueles son de naturaleza viscosa por lo que es necesario romper y atomizar la masa de fuel en diminutas gotas que permitan la vaporización para facilitar su posterior combustión. Por otra parte, el fueloil es clasificado en diferentes grupos y estos son compuestos por: fueloil ligero, fueloil medio o fueloil pesado, dependiendo de la composición o mezcla con combustibles más ligeros.

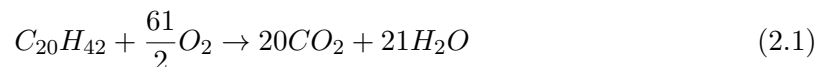
Las calderas, exceptuando modelos de gas, utilizan fuel, ya que es un combustible económico, de gran seguridad y que tiene un fácil manejo. Asimismo, el fuel que tiene una gran viscosidad y debe reducirse para su uso. Además, en la preparación de este combustible se utilizan separadoras y calentadores que, mediante el calentamiento y la acción centrífuga de la separadora, consiguen limpiar y adecuar a condiciones óptimas el fuel.

El fuel utilizado por la caldera simulada en este trabajo, es un IFO 380 que tiene una temperatura de llama adiabática de  $2102^{\circ}\text{C}$ , correspondiéndose a la máxima temperatura que alcanzará el fuel durante la operación del quemador [1, 28].

### 2.2 Combustión del fueloil

La combustión es una reacción de oxidación entre un combustible y un comburente, siendo necesaria una cierta energía de activación. Además, es siempre exotérmica [9]. La combustión se diferencia de otros procesos de oxidación lenta por resultar de una oxidación rápida con presencia de llama.

La combustión estequiométrica es aquella que se obtiene del uso de la cantidad mínima de comburente para una combustión completa. Además, cuenta con la peculiaridad de que para ser perfecta únicamente puede lograrse en un laboratorio. No obstante, la simulación, en un primer paso, calcula la energía de combustión suponiendo una reacción estequiométrica ecuación 2.1,mientras que en un segundo paso, se introduce exceso de aire para el cálculo del valor de la temperatura de llama [6, 19, 14, 25, 29], ver sección 3.2.5.



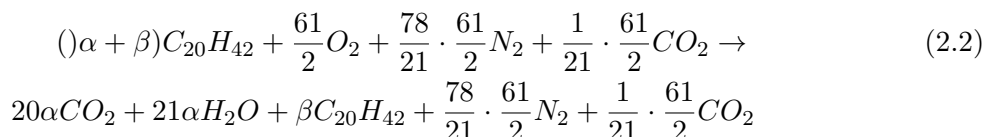
En una combustión industrial, se emplea el contenido de oxígeno del aire como comburente. El aire está compuesto por un 21 por ciento de oxígeno, 78 por ciento de nitrógeno y 1 por ciento de dióxido de carbono y demás gases.

En la práctica, para lograr una combustión completa se necesita un exceso de aire por encima del mínimo teórico. No obstante, esta práctica conlleva ciertos problemas derivados de emplear más aire del necesario una combustión: en el mejor de los casos, el combustible se quemará totalmente sin producir inquemados. Pero a una temperatura inferior a la adiabática provoca un enfriamiento de los gases y extinción de la reacción. Hay que mencionar que, además, puede provocar humos de cierto color blanquecino que, en grandes concentraciones, es peligroso por su gran poder combustible debido a la presencia de combustible sin quemar. En definitiva, va a existir un derroche de combustible, la caldera no prestará su potencia máxima y genera posibles situaciones de peligro por explosiones. Sin embargo, trabajar sin un exceso de aire adecuado hace que la combustión sea incompleta, lo que puede originar que existan inquemados que se depositen en el hogar, y que consecuentemente, se produzca un riesgo de explosión por ignición retardada [6, 26].

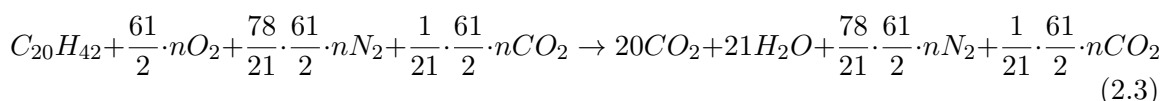
### 2.2.1 Relación aire combustible

La relación aire combustible debe de mantenerse en un nivel tan bajo, tanto como sea posible con el fin de producir el mayor ahorro de combustible posible. Para poder garantizar una correcta combustión hay que introducir un exceso de aire en la mezcla de un 20 a un 30 por ciento, dependiendo del tipo de combustible utilizado, el estado de carga de la caldera y del tipo de quemador que se utilice [10]. Para un combustible con un determinado porcentaje en peso de carbono, hidrógeno y azufre es posible calcular el oxígeno necesario para oxidar cada elemento, como se muestra ecuación 2.2, pudiendo de esta forma calcular el aire mínimo necesario para quemar completamente una unidad del mismo [26, 14].

Para poder garantizar una combustión completa en un proceso industrial la mezcla combustible más comburente debe estar en continuo movimiento. No obstante, la mezcla anterior no es siempre homogénea y, teniendo en cuenta además que la velocidad de la reacción de combustión no es instantánea, así como el escaso tiempo de permanencia en el hogar y las variaciones de temperatura, existe el riesgo de que una fracción del combustible ( $\beta$ ) escape sin quemarse [15, 14, 6, 9] como muestra la siguiente ecuación:



En la práctica, el exceso de aire se designa con la letra (n), de forma que ( $n > 1$ ) [9], tal y como se muestra a continuación:



La reducción y control de las emisiones de NOx es posible ajustarlas utilizando el exceso de aire mediante su variación para que actúe sobre la temperatura de combustión, manteniéndola por debajo de la temperatura de reacción del nitrógeno [15, 21]. No obstante, el simulador no tiene desarrollado el control de emisiones NOx y quedando como una de las posibles mejoras futuras a través del control de la temperatura de llama en el hogar.

### 2.2.2 Quemadores de combustibles líquidos

En el proceso de arranque de la caldera el quemador comienza realizando una purga que consiste en introducir una gran cantidad de aire al hogar durante unos minutos logrando

que los restos de inquemados, que puedan quedar dentro del hogar de la caldera, sean expulsados al exterior, evitando que puedan provocar explosiones durante el funcionamiento. A continuación, se empieza a inyectar el combustible mientras dos electrodos comienzan a producir chispas que provocan el encendido del quemador [6, 10].

Los quemadores cuentan con un sensor de tipo LDR como sistema de seguridad principal que están ubicados detrás de la cámara de combustión. Con este sistema de seguridad se consigue que si no hay suficiente intensidad lumínica de la llama, durante la combustión, el sensor cambia su resistencia interna obligando a la caldera a parar y a emitir una alarma ya que no existiría combustión [21].

En concreto, el simulador utiliza un modelo de quemador de tipo copa rotativa. También implementa en el firmware, durante el arranque inicial, el sistema de purga mencionado anteriormente.

## 2.3 Pérdidas Térmicas

La simulación original no disponía en su algoritmo de las pérdidas térmicas [20], porque era una caldera ideal.

En la nueva versión se han considerado estas pérdidas, calculando las correspondientes fugas térmicas a la envolvente de la caldera, el aislante y el calorifugado exterior. Estas pérdidas térmicas pertenecen a la siguiente clasificación por tipos de transferencias del calor [13, 27, 11, 22, 17]:

1. Convección.
2. Conducción.
3. Radiación.

### 2.3.1 Convección

La convección se produce únicamente durante la interacción de los fluidos. Dicha convección, expresada en la siguiente ecuación, es el transporte de energía calorífica por medio del movimiento del fluido, producido por la variación de la densidad de la masa de fluido en contacto con la fuente de calor [13, 30, 22, 17].

$$\frac{\Delta Q}{\Delta t} = h \cdot A_s \cdot (T_s - T_{inf}) \quad (2.4)$$

Donde:

- $Q$  → Calor transmitido por unidad de tiempo.
- $h$  → Coeficiente de convección.
- $A_s$  → Área del cuerpo en contacto con el fluido.
- $T_s$  → Temperatura de la superficie del cuerpo.
- $T_{inf}$  → Temperatura del fluido lejano al cuerpo.

### 2.3.2 Conducción

La conducción de calor es un proceso de transporte de energía calorífica a través de un cuerpo con temperatura mayor hacia otro con una temperatura menor.

Los materiales tienen una propiedad física que determinan su capacidad para conducir el calor. Esta propiedad se denomina conductividad térmica y se puede observar en la ecuación 2.5 como el coeficiente  $k$ .

$$\frac{Q}{\Delta T} = \frac{kA}{e} \cdot (T_2 - T_1) \quad (2.5)$$

A su vez, existe un propiedad, que es inversa a la anterior, denominada resistividad térmica  $r$  que es la capacidad del material a oponer resistencia al flujo de calor [13, 12, 22, 17].

$$\dot{q} = \frac{\Delta T}{R} \quad (2.6)$$

Donde:

- $Q \rightarrow$  Calor transmitido por unidad de tiempo.
- $k \rightarrow$  Conductividad térmica.
- $A \rightarrow$  Área de la superficie de contacto.
- $e \rightarrow$  Espesor del material.
- $(T_2 - T_1) \rightarrow$  Diferencia de temperatura entre el foco caliente y el frío.
- $R \rightarrow$  Resistividad térmica en  $\frac{W}{mK}$ .
- $\dot{q} \rightarrow$  Flujo de calor en  $\frac{W}{m^2}$

### 2.3.3 Radiación

La radiación térmica es la capacidad que tiene un cuerpo de emitir calor por la radiación electromagnética. Esta radiación es generada por el movimiento térmico que tienen las partículas cargadas en la materia. Todos los cuerpos, salvo que la temperatura sea de cero absoluto, emiten radiación electromagnética y su intensidad es totalmente dependiente de la temperatura a la que se encuentra. A temperatura ambiente, todos los cuerpos son emisores de radiación infrarroja. Sin embargo, a temperaturas más altas, esto cambia, pasando de emitir radiación infrarroja a radiación de espectro visible, lo que permite que se pueda determinar la temperatura del cuerpo de acuerdo al color que este emita [13, 22, 17].

### 2.3.4 Aislamiento térmico

Para disminuir las perdidas energéticas convección, conducción y radiación, a través de la envolvente de la caldera, se utiliza el aislamiento térmico, que consiste en la instalación de diversos materiales a los que se les aplica ciertas técnicas de forma que minimizan la transferencia del flujo de calor [29]. Estos materiales deben cumplir ciertos requisitos, debiendo tener una baja conductividad térmica o una resistividad térmica alta que minimice la transferencia de calor [22, 17].

Los aislantes térmicos se pueden clasificar en cuatro tipos de materiales caracterizados por su baja conductividad térmica:

- Minerales: consiste en un material de filamentos entrelazados de materiales pétreos que forman un tejido que mantienen el aire contenido entre sus fibras en estado inmóvil ofreciendo buenos resultados térmicos y acústicos [23].
- Celulares: son los aislantes que conforman celdas cerradas o abiertas, en su estructura, que por lo general van formando una especie de tableros rígidos o flexibles pero también se pueden conformar por proyección o riego [23].
- Granulares: son materiales inorgánicos que se aglomeran en pequeñas partículas respetando una forma prefabricada o utilizadas y sueltas como la perlita o la vermiculita [23].
- Orgánicos: hacen referencia a los materiales aglomerados de naturaleza orgánica como puede ser el corcho natural [23].

En función del tipo de uso o aplicación que se le da al material se determina un tipo de aislante dependiendo de la resistencia térmica, de las propiedades mecánicas, la absorción de agua, la temperatura de trabajo, el comportamiento físico, la estabilidad, etc. [22, 17, 23].

En la simulación se ha optado por lana de roca de 100 mm de espesor, con una conductividad de 0,0410 (W/m·K) [23].

## 2.4 Aspectos teóricos de los intercambiadores de vapor

### 2.4.1 Coeficiente térmico $U$

La transmitancia térmica  $U$  es la medida del calor que fluye por unidad de tiempo y superficie, transferido a través de un sistema formado por una o más capas de material, de caras planas paralelas, cuando hay un gradiente térmico de 1°C de temperatura entre los dos ambientes que éste separa.

Es medida en la unidad W/m<sup>2</sup>K. Su valor incluye las resistencias térmicas superficiales de las caras del intercambiador, es decir, refleja la capacidad de transmitir calor. Cuanto menor sea el valor  $U$ , menor será el paso de la energía entre ambas caras, y por tanto mejoran las capacidades aislantes del elemento constructivo [13]. Se puede calcular el coeficiente  $U$  con la ecuación 3.30.

### 2.4.2 Temperatura media logarítmica

La temperatura media logarítmica determina la transferencia de calor en sistemas de flujo, como es un intercambiador de calor. Es un método que analiza la temperatura del fluido frío y del fluido caliente, teniendo como un máximo de temperatura la temperatura del fluido caliente y como un mínimo la del fluido frío [13]. Y se puede calcular con la ecuación 3.31.



# 3 Cálculos y ecuaciones

## 3.1 Cálculo de la superficie total de intercambio de la caldera

La caldera, de construcción pirotubular, se modeló como un intercambiador aire-agua de grandes dimensiones que transfiere la energía calórica, contenida en los gases de combustión, hacia el agua, que se encuentra en el interior de la caldera, para producir vapor.

Mediante una imagen de construcción, figura 3.1, que se encuentra en la documentación de la caldera, se observa el número de tubos, forma y número de pasos. Sabiendo las medidas reales e interpolando con el dibujo impreso de la caldera, se pueden aproximar las dimensiones de los tubos, su longitud, diámetro y demás características.



**Figura 3.1:** Caldera de tipo pirotubular.

**Fuente:** Consultoría de tratamiento de aguas de caldera [2].

Para calcular la superficie de intercambio de la caldera se calculan los tubos de misma longitud correspondientes a los de los diferentes pasos de humo de la caldera y se suman teniendo en cuenta el número de unidades que hay. Para ello, es necesario hallar el área de cada cilindro.

Este mismo cálculo se utiliza para todos los pasos de humos y para el hogar de la caldera, variando únicamente la longitud según el paso de humo o la longitud del hogar de la caldera.

Calculadas las áreas de todos los tubos, se suman el área de cada uno de los pasos de la caldera, además del hogar, según la ecuación 3.1. Si en lugar de un tubo liso, hubiera sido el caso de un tubo corrugado se aplicaría un coeficiente para realizar el cálculo con dicha característica.

$$A_{caldera} = (A_{hogar} = 2 \cdot \pi \cdot R \cdot L) + (A_{tubos \: paso1} = 2 \cdot \pi \cdot R \cdot L \cdot n) + (A_{tubos \: paso2} = 2 \cdot \pi \cdot R \cdot L \cdot n) \quad (3.1)$$

## 3.2 Cálculo de la temperatura del hogar

### 3.2.1 Peso molecular del combustible

En esta sección se detalla el método para el cálculo del peso molecular empleado en la caldera. Para este cálculo, se separan los átomos de cada molécula de manera que se pueda sumar el número de átomos por el producto de su peso atómico. (Véase la ecuación (3.2) para el combustible utilizado).

Elemento	Peso atómico
Hidrógeno	1.008
Oxígeno	16
Carbono	12

**Tabla 3.1:** Tabla de pesos atómicos.

**Fuente:** Datos extraídos del ministerio de agricultura y pesca [7].

$$\begin{aligned} C_{20} &= 12 \cdot 20 = 240 \text{gr/Mol}; \\ H_{42} &= 42 \cdot 1,008 \text{gr/Mol}; \\ C_{20}H_{42} &= 232,336 \text{ gr/Mol} \end{aligned} \quad (3.2)$$

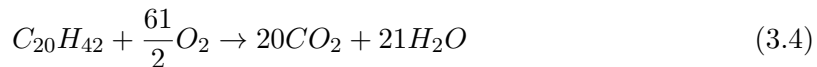
Este procedimiento se realiza para todos los componentes de la reacción que son: el  $CO_2$ , el  $O_2$ , el  $H_2O$  y el  $N_2$ . Con ello se obtiene el peso atómico de cada elemento que es introducido de manera natural en la mezcla de aire-combustible.

### 3.2.2 Ecuación química del combustible

En el cálculo de la temperatura del hogar es necesaria la ecuación química del producto que va a quemar la caldera. En este caso, el fuel IFO 380 se compone mayoritariamente por cadenas de átomos de 20 carbonos y también se deben conocer los elementos que participan en la mezcla combustible-comburente. En el hogar entra el combustible ( $C_{20}H_{42}$ ) y aire (21%  $O_2$ , 78%  $N_2$ , 1%  $CO_2$ ), pero en la ecuación química solo se tienen en cuenta aquellas sustancias que experimentan cambios químicos como se define en la siguiente expresión matemática:

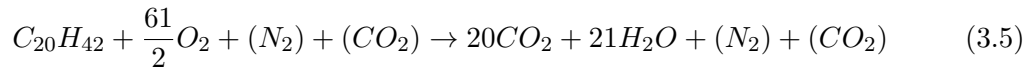


Para hacer los cálculos de la cantidad necesaria de  $O_2$  y de las cantidades formadas de los productos de la combustión ( $CO_2$  y  $H_2O$ ) se realizó el ajuste de la ecuación química introduciendo los coeficientes correspondientes a las moléculas de oxígeno necesarias para quemar una molécula de fuel, tal y como se muestra a continuación:



Sin embargo, para poder hacer los balances de masa y energía (Entrada+Generación = Salida+Acumulación) se tuvieron en cuenta, no solo los reactivos sino todas las sustancias

que entran, salen o se acumulan en el hogar, aunque estas no participen activamente en el proceso de combustión, pero pueden experimentar cambios en su temperatura, como se expone a continuación:



La ecuación anterior trabaja con unas cantidades estequiométricas de aire, es decir, con el mínimo requerido para la combustión completa del combustible, por lo que se hicieron correcciones para trabajar con un exceso de aire. Así por cada 21 moles de  $O_2$  que entran le acompañan 78 de  $N_2$  y 1 de  $CO_2$ . Así cada mol de  $O_2$  le acompañan  $\frac{78}{21}$  de  $N_2$  y  $\frac{1}{21}$  de  $CO_2$ . Como se sabe que entran  $\frac{61}{2}$  moles de  $O_2$ , quedando las cantidades de la siguiente forma:

$$(N_2) : \frac{78}{21} \cdot \frac{61}{2} N_2 \quad (3.6)$$

$$(CO_2) : \frac{1}{21} \cdot \frac{61}{2} CO_2 \quad (3.7)$$

Por consiguiente, la ecuación queda así:



En este caso entran y salen todo el  $N_2$  y el  $CO_2$  que acompañan al  $O_2$  porque no se produce una transformación en el hogar, así que solo hay que tenerlos en cuenta si sufren cambios de temperatura para el balance energético.

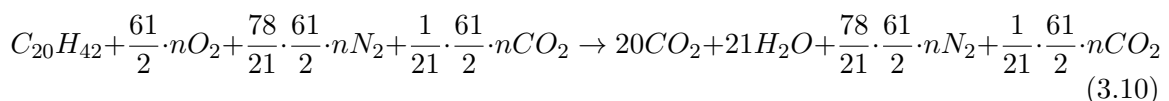
Si se trabaja con exceso de aire, que es lo habitual, este se define como:

$$n \rightarrow \frac{\text{Aire introducido}}{\text{Aire mínimo}} \rightarrow \frac{O_2 \text{ introducido}}{O_2 \text{ mínimo}} \quad (3.9)$$

En este caso el aire mínimo y el oxígeno mínimo se refieren a los valores estequiométricos. Este índice se relaciona con el porcentaje de exceso de aire mediante:  $\%_{exceso} = (n - 1) \cdot 100$ . Con este índice se corrigen los siguientes valores:

- Los valores de entrada y de salida de los componentes del aire, se ven afectados por  $n$ :  $O_2 \text{ introducido} = n \cdot O_2 \text{ mínimo}$
- Siendo el siguiente el oxígeno sobrante:  $O_2 \text{ sobrante} = O_2 \text{ introducido} - O_2 \text{ mínimo} = n \cdot O_2 \text{ mínimo} - O_2 \text{ mínimo} = (n - 1) \cdot O_2 \text{ mínimo}$

La ecuación 3.10 muestra la ecuación de combustión de fuel incluyendo el exceso de aire. Si el exceso de aire toma el valor  $n=1$  esta ecuación queda reducida a la 3.8



### 3.2.3 Cálculo del caudal de combustible

En la simulación, como el estado de carga está determinado por un valor expresado en tanto por ciento, es necesario calcular el caudal de combustible para poder calcular la potencia del quemador.

En la expresión 3.11, obtenida por Amell-Arrieta [8], permite calcular el caudal de combustible.

$$\dot{m}_{combustible} = \frac{P_{quemador} \cdot (\% \text{ carga vapor})}{PCI} \quad (3.11)$$

### 3.2.4 Determinación de la masa de oxígeno estequiométrico

Para poder emplear la ecuación química 3.10 es necesario realizar la conversión del caudal mísico de fuel a flujo de moles de fuel como se muestra a continuación.

$$\dot{M}_{fuel} = \frac{\dot{m}_{fuel}}{Pa_{fuel}} \quad (3.12)$$

Donde:

- $\dot{M}_{fuel}$  → Flujo moles de fuel.
- $\dot{m}_{fuel}$  → Flujo mísico de fuel.
- $Pa_{fuel}$  → Peso atómico del fuel en (kg/mol).

Partiendo del resultado de la ecuación 3.12 se calcula el flujo de moles de oxígeno que debe acompañar al fuel para una combustión estequiométrica de la siguiente manera:

$$\dot{MO}_{2 fuel} = \dot{M}_{fuel} \cdot MO_2 \quad (3.13)$$

Donde:

- $\dot{MO}_{2 fuel}$  → Flujo moles de oxígeno.
- $\dot{M}_{fuel}$  → Flujo moles de fuel.
- $MO_2$  → Moles de oxígeno para una molécula de fuel.

Para trasladar este resultado a un caudal en kg/s se necesita realizar la siguiente operación:

$$\dot{mO}_{2 fuel} = \frac{\dot{MO}_{2 fuel} \cdot (PmO_2 \cdot 2)}{1000} \quad (3.14)$$

Donde:

- $\dot{mO}_{2 fuel}$  → Caudal de oxígeno para el caudal de fuel.
- $\dot{MO}_{2 fuel}$  → Flujo de moles de oxígeno.
- $PmO_2$  → Peso molecular del oxígeno en (g/mol).

### 3.2.5 Cálculo del índice de exceso de aire

Para determinar el índice de exceso de aire de la caldera es necesario saber que tipo de quemador se está trabajando y, según sus especificaciones, variará de un porcentaje a otro. En este caso se utilizará un 30 % de exceso de aire ya que es un quemador de tipo copa rotativa y es su porcentaje habitual de trabajo [26]. A través de la siguiente ecuación se obtiene el índice de exceso:

$$I_e = \frac{\%exceso}{100} + 1 \quad (3.15)$$

Donde:

- $I_e$  → Índice de exceso.
- $\%exceso$  → Porcentaje de exceso de aire.

### 3.2.6 Cálculo de la temperatura del hogar

Para calcular la temperatura del hogar en este apartado se tienen en cuenta estas consideraciones iniciales:

- No intervienen los gases de entrada que se emplean en la reacción completa.
- El  $CO_2 + H_2O$  provenientes de la combustión están inicialmente a la temperatura adiabática y ceden energía al exceso de gases.

Con esta consideración y sabiendo que los gases resultantes de la combustión ceden calor a los gases que se introducen con el exceso se cumple en la siguiente ecuación:

$$Q_{combustion} = Q_{gases\ de\ exceso} \quad (3.16)$$

Donde:

- $Q_{combustion}$  → Calor de combustión cedido.
- $Q_{gases\ de\ exceso}$  → Calor absorbido por los gases de exceso.

Si se sustituye en cada término los gases que intervienen en cada aporte energético queda una ecuación como la siguiente:

$$Q_{CO_2+H_2O} = Q_{N_2+O_2+CO_2} \quad (3.17)$$

Donde:

- $Q_{CO_2+H_2O}$  → Calor de los gases generado en la combustión.
- $Q_{N_2+O_2+CO_2}$  → Calor absorbido por los gases de exceso.

Para el cálculo de la temperatura del hogar se debe comenzar formando la ecuación con la fórmula de la transferencia energética de cada gas que cede calor, para ello, se emplea la siguiente fórmula con la que se calcula la cantidad de calor necesaria para posteriormente hallar la temperatura del hogar:

$$Q = m \cdot Ce \cdot \Delta T \quad (3.18)$$

Donde:

- $Q \rightarrow$  Cantidad de calor.
- $m \rightarrow$  Masa.
- $Ce \rightarrow$  Calor específico del fluido.
- $\Delta T \rightarrow$  Diferencia de temperatura.

Las diferencias de temperatura son resultantes de restar la temperatura más alta menos la mas baja. Para ello, es necesario conocer entre qué puntos es necesario tomar nuestras temperaturas para efectuar una diferencia de temperatura correctamente. Debido a que en el firmware se ha implementado las ecuaciones de cantidad de calor de los gases de combustión y las pérdidas térmicas en una sola ecuación y esta a su vez se va a multiplicar por un diferencial de tiempo se emplea la potencia calorífica en vez de la energía o calor. La ecuación 3.19 toma el vapor de agua para realizar el cálculo, aunque también es válida para el dióxido de carbono como se ve en 3.20. La diferencia de temperatura ya mencionada, se corresponde con la diferencia de la temperatura entre la llama adiabática en el momento de la combustión (temperatura máxima de la combustión) y la temperatura que resulta una vez la masa de gases finaliza la combustión (temperatura del hogar).

$$P_{H_2O} = \dot{m}_{H_2O} \cdot Ce_{H_2O} \cdot (T_{adb} - T_h) \quad (3.19)$$

Donde:

- $P_{H_2O} \rightarrow$  Potencia calorífica contenido en el vapor de agua.
- $\dot{m}_{H_2O} \rightarrow$  Caudal másico del vapor de agua.
- $Ce_{H_2O} \rightarrow$  Calor específico del vapor de agua.
- $T_{adb} \rightarrow$  Temperatura adiabática del combustible.
- $T_h \rightarrow$  Temperatura del hogar de la caldera.

Para el  $CO_2$  se muestra la misma ecuación pero con los valores del  $CO_2$ :

$$P_{CO_2} = \dot{m}_{CO_2} \cdot Ce_{CO_2} \cdot (T_{adb} - T_h) \quad (3.20)$$

Donde:

- $P_{CO_2} \rightarrow$  Potencia calorífica contenida en el dióxido de carbono.
- $\dot{m}_{CO_2} \rightarrow$  Caudal másico del dióxido de carbono.
- $Ce_{CO_2} \rightarrow$  Calor específico del dióxido de carbono.
- $T_{adb} \rightarrow$  Temperatura adiabática del combustible.
- $T_h \rightarrow$  Temperatura del hogar de la caldera.

A continuación, se muestran las ecuaciones de cantidad de calor de los gases que no intervienen en la combustión y que absorben al calentarse.

$$P_{N_2} = \dot{m}_{N_2} \cdot Ce_{N_2} \cdot (T_h - T_{amb}) \quad (3.21)$$

Donde:

- $P_{N_2} \rightarrow$  Potencia calorífica contenida en el nitrógeno.
- $\dot{m}_{N_2} \rightarrow$  Caudal másico del nitrógeno.
- $Ce_{N_2} \rightarrow$  Calor específico del nitrógeno.
- $T_{amb} \rightarrow$  Temperatura ambiente o de entrada de gases de admisión.
- $T_h \rightarrow$  Temperatura del hogar de la caldera.

Para el  $O_2$  se muestra la misma ecuación pero con los valores del  $O_2$ :

$$P_{O_2} = \dot{m}_{O_2} \cdot Ce_{O_2} \cdot (T_h - T_{amb}) \quad (3.22)$$

Donde:

- $P_{O_2} \rightarrow$  Potencia calorífica contenida en el oxígeno.
- $\dot{m}_{O_2} \rightarrow$  Caudal másico del oxígeno.
- $Ce_{O_2} \rightarrow$  Calor específico del oxígeno.
- $T_{amb} \rightarrow$  Temperatura ambiente o de entrada de gases de admisión.
- $T_h \rightarrow$  Temperatura del hogar.

Para el  $CO_2$  se muestra la misma ecuación pero con los valores del  $CO_2$ :

$$P_{CO_2} = \dot{m}_{CO_2} \cdot Ce_{CO_2} \cdot (T_h - T_{amb}) \quad (3.23)$$

Donde:

- $P_{CO_2} \rightarrow$  Potencia calorífica contenida en el dióxido de carbono.
- $\dot{m}_{CO_2} \rightarrow$  Caudal másico del dióxido de carbono.
- $Ce_{CO_2} \rightarrow$  Calor específico del dióxido de carbono.
- $T_{amb} \rightarrow$  Temperatura ambiente o de entrada de gases de admisión.
- $T_h \rightarrow$  Temperatura del hogar.

En la siguiente subsección se emplean todas estas ecuaciones 3.19, 3.20, 3.21, 3.22, 3.23 para formular la ecuación de transferencia energética total con la que se puede calcular la temperatura que tiene el hogar de la caldera.

### 3.2.6.1 Ecuación de transferencia energética

La siguiente expresión matemática se basa en la aplicación a la ecuación 3.16.

A continuación, se muestra el resultado general de incorporar las diferentes variables que ceden o absorben calor después del proceso de combustión, expresado en forma de potencia.

$$\begin{aligned} & \dot{m}_{CO_2} \cdot Ce_{CO_2} \cdot (T_{adb} - T_h) + \dot{m}_{H_2O} \cdot Ce_{H_2O} \cdot (T_{adb} - T_h) = \\ & \dot{m}_{N_2} \cdot Ce_{N_2} \cdot (T_h - T_{amb}) + \dot{m}_{O_2} \cdot Ce_{O_2} \cdot (T_h - T_{amb}) + \dot{m}_{CO_2} \cdot Ce_{CO_2} \cdot (T_h - T_{amb}) \end{aligned} \quad (3.24)$$

Si se saca el factor común a  $(T_{adb} - T_h)$  y  $(T_h - T_{amb})$  la ecuación queda de la siguiente manera:

$$(T_{adb} - T_h) \cdot (\dot{m}_{CO_2} \cdot Ce_{CO_2} + \dot{m}_{H_2O} \cdot Ce_{H_2O}) = \\ (T_h - T_{amb}) \cdot (\dot{m}_{N_2} \cdot Ce_{N_2} + \dot{m}_{O_2} \cdot Ce_{O_2} + \dot{m}_{CO_2} \cdot Ce_{CO_2}) \quad (3.25)$$

En este caso se pasa al lado izquierdo las temperaturas y al derecho lo restante quedando de la siguiente forma:

$$\frac{(T_{adb} - T_h)}{(T_h - T_{amb})} = \frac{\dot{m}_{N_2} \cdot Ce_{N_2} + \dot{m}_{O_2} \cdot Ce_{O_2} + \dot{m}_{CO_2} \cdot Ce_{CO_2}}{\dot{m}_{CO_2} \cdot Ce_{CO_2} + \dot{m}_{H_2O} \cdot Ce_{H_2O}} \quad (3.26)$$

Llegados a este punto, se deja en el lado izquierdo la temperatura del hogar y lo restante en el lado derecho como se ve a continuación:

$$T_h = \frac{T_{amb} \cdot \left( \frac{\dot{m}_{N_2} \cdot Ce_{N_2} + \dot{m}_{O_2} \cdot Ce_{O_2} + \dot{m}_{CO_2} \cdot Ce_{CO_2}}{\dot{m}_{CO_2} \cdot Ce_{CO_2} + \dot{m}_{H_2O} \cdot Ce_{H_2O}} \right) + T_{adb}}{\frac{\dot{m}_{N_2} \cdot Ce_{N_2} + \dot{m}_{O_2} \cdot Ce_{O_2} + \dot{m}_{H_2O} \cdot Ce_{H_2O} + \dot{m}_{CO_2} \cdot Ce_{CO_2} + \dot{m}_{CO_2} \cdot Ce_{CO_2}}{\dot{m}_{CO_2} \cdot Ce_{CO_2} + \dot{m}_{H_2O} \cdot Ce_{H_2O}}} \quad (3.27)$$

Operando la ecuación se obtiene esta expresión más sencilla:

$$T_h = \frac{T_{adb} \cdot (\dot{m}_{CO_2} \cdot Ce_{CO_2} + \dot{m}_{H_2O} \cdot Ce_{H_2O}) + T_{amb} \cdot (\dot{m}_{N_2} \cdot Ce_{N_2} + \dot{m}_{O_2} \cdot Ce_{O_2} + \dot{m}_{CO_2} \cdot Ce_{CO_2})}{\dot{m}_{N_2} \cdot Ce_{N_2} + \dot{m}_{O_2} \cdot Ce_{O_2} + \dot{m}_{H_2O} \cdot Ce_{H_2O} + \dot{m}_{CO_2} \cdot Ce_{CO_2} + \dot{m}_{CO_2} \cdot Ce_{CO_2}} \quad (3.28)$$

Donde:

- $\dot{m}_{CO_2}$  → Caudal másico del dióxido de carbono.
- $Ce_{CO_2}$  → Calor específico del dióxido de carbono.
- $\dot{m}_{H_2O}$  → Caudal másico del vapor de agua.
- $Ce_{H_2O}$  → Calor específico del vapor de agua.
- $\dot{m}_{N_2}$  → Caudal másico del nitrógeno.
- $Ce_{N_2}$  → Calor específico del nitrógeno.
- $\dot{m}_{O_2}$  → Caudal másico del oxígeno.
- $Ce_{O_2}$  → Calor específico del oxígeno.
- $T_{amb}$  → Temperatura ambiente o de entrada de gases de admisión.
- $T_{adb}$  → Temperatura adiabática del combustible.

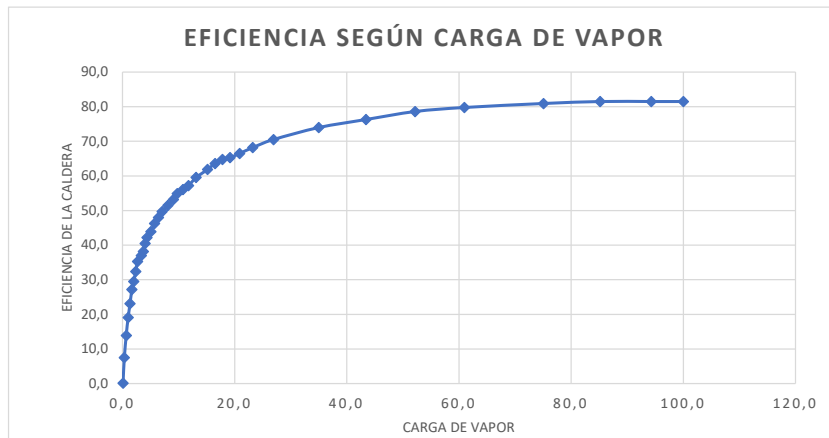
Llegado a este punto se puede calcular la temperatura del hogar  $T_h$  sin dificultad.

### 3.3 Ecuación de eficiencia según la carga de vapor

Las calderas, como muchas otras máquinas térmicas, nunca trabajan en un estado de carga fijo. El rendimiento de la caldera varía según el estado de carga al que esté sometida durante el funcionamiento siendo mayor este rendimiento a mayor carga de vapor.

#### 3.3.1 Obtención de la ecuación de la eficiencia

El simulador basa la variación de su rendimiento en función del comportamiento de la caldera como se observa en la siguiente gráfica obtenida de Rodríguez (2015)[27]:

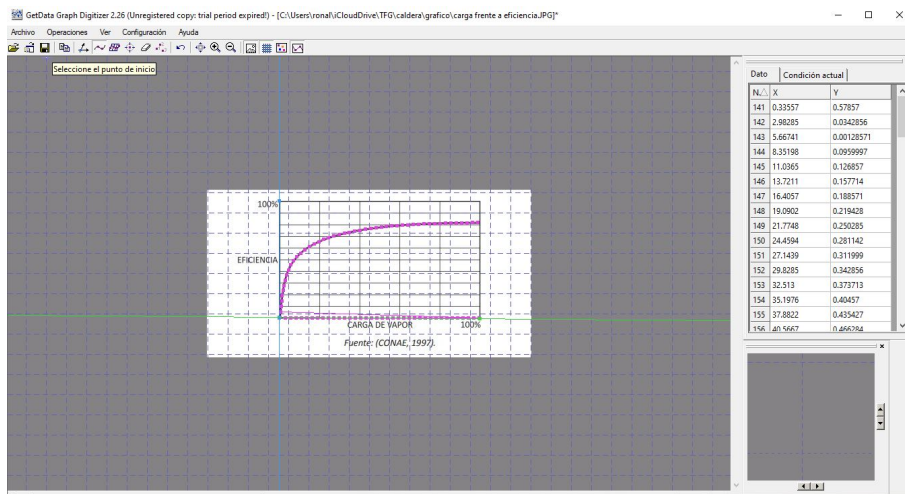


**Figura 3.2:** Comportamiento de la eficiencia con respecto a la carga.

Fuente: Gráfica Reproducida de Rodríguez (2015) [27].

El análisis de la curva muestra que la disminución de la eficiencia es una tendencia marcada en los generadores de vapor a medida que se ve reducido el porcentaje de carga. Este factor, que es debido a la utilización de la caldera, se hace más evidente cuando se trabaja con valores inferiores al 50 %.

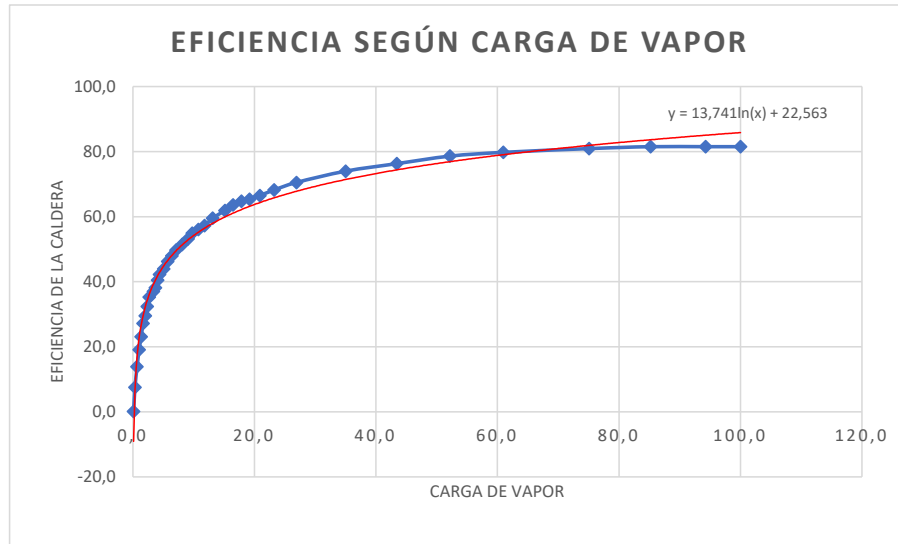
Inicialmente, con ayuda del ordenador y el software “Get Data Graphics” se extrae una tabla de datos de los puntos que se han situado sobre la curva. A continuación, se muestra un ejemplo gráfico donde se ve el proceso:



**Figura 3.3:** Obtención de la tabla de valores mediante el software Get Data.

Fuente: Elaboración propia.

Una vez obtenida la tabla de valores se hace uso de una hoja de cálculo para generar una gráfica con la que se obtenga la ecuación de la línea de tendencia.



**Figura 3.4:** Obtención de la línea de tendencia y su ecuación mediante excel.

Fuente: Elaboración propia.

Gracias a la función de línea de tendencia se puede ejecutar la opción de que devuelva una ecuación aproximada a esa línea quedando como resultante la ecuación:

$$Eff = 13,741 \ln(C_v) + 22,563 \quad (3.29)$$

Donde:

- $Eff \rightarrow$  Eficiencia de la caldera según la carga en %.
- $C_v \rightarrow$  Carga de vapor en %.

### 3.4 Cálculo de la temperatura de gases de escape

Esta sección describe la obtención de la temperatura de los gases de escape. Para ello se hace uso del cálculo de la temperatura media logarítmica, reduciendo la caldera a un intercambiador de calor.

#### 3.4.1 Cálculo del coeficiente térmico $\cup$

El cálculo del coeficiente térmico del intercambiador, requiere seleccionar los valores de conductividad para los gases y para el agua según el estado en el que se encontrarán dentro de la caldera. Estos valores son obtenidos del archivo Universitat Politècnica de València [?]:

- $K_{gas} \rightarrow 280 \frac{W}{m^2 \circ C}$
- $K_{agua} \rightarrow 20000 \frac{W}{m^2 \circ C}$

Seguidamente se puede calcular el coeficiente  $\cup$  de la siguiente manera cenguel, 2011[13]:

$$\cup = \frac{1}{\frac{1}{K_{gas}} + \frac{1}{K_{agua}}} \quad (3.30)$$

Donde:

- $\cup \rightarrow$  Coeficiente conductividad térmica global en  $\frac{W}{m^2 \circ C}$ .
- $K_{gas} \rightarrow$  Coeficiente conductivo gases de escape.
- $K_{agua} \rightarrow$  Coeficiente conductivo agua.

#### 3.4.2 Cálculo de la temperatura media logarítmica real

Se emplea la siguiente ecuación para el cálculo de la temperatura media logarítmica real:

$$L.T.M = \frac{P_{cald}}{S_I \cdot \cup} \quad (3.31)$$

Donde:

- $L.T.M. \rightarrow$  Temperatura media logarítmica.
- $P_{cald} \rightarrow$  Potencia de la caldera en kW.
- $S_I \rightarrow$  Superficie total de intercambio.
- $\cup \rightarrow$  Coeficiente de transmisión del intercambiador en  $\frac{kW}{m^2 \circ C}$

### 3.4.3 Temperatura de gases de escape mediante el cálculo iterativo

El cálculo de la temperatura de los gases de escape no puede hacerse de forma directa, sino mediante cálculo iterativo partiendo de un valor estimado inicial, empleando para ello la siguiente ecuación:

$$L.T.M_I = \frac{(T_h - B_w) - (E_t - F_w)}{\ln((T_h - B_w) - (E_t - F_w))} \quad (3.32)$$

Donde:

- $L.T.M_I \rightarrow$  Temperatura media logarítmica iterada.
- $T_h \rightarrow$  Temperatura del hogar de la caldera.
- $B_w \rightarrow$  Temperatura del agua de caldera.
- $E_t \rightarrow$  Temperatura de gases de escape.
- $F_w \rightarrow$  Temperatura de agua de alimentación.

Esta operación se realiza tantas veces como sea necesaria hasta que el valor de la temperatura media logarítmica iterada sea aproximadamente igual a la temperatura media logarítmica real con la precisión que se requiera. Este cálculo se realiza en el simulador con la ayuda de un bucle tipo do-while programado de forma que en cuanto se alcance la precisión requerida se detiene continuando con el resto del cálculo.

## 3.5 Pérdida térmicas a través del aislamiento

El cálculo de la transferencia de calor que se fuga a través del aislante térmico que contiene la caldera y requiere de su descomposición geométrica en una superficie lateral de un cilindro y en dos tapas circulares. El empleo de las ecuaciones 3.33 3.34 3.35 3.36 permiten calcular la pérdida térmica total.

### 3.5.1 Cálculo de pérdidas térmicas en la superficie lateral de la caldera

La transferencia de calor estacionaria a través de estas capas de aislamiento se pueden tratar como si fuese una pared plana multicapa por la que va a fluir el calor calculado mediante la siguiente ecuación:

$$P_{SC} = \frac{T_{inf1} - T_{inf2}}{R_{ENV}} \quad (3.33)$$

Donde:

- $P_{SC} \rightarrow$  Potencia térmica cedida por la superficie cilíndrica.
- $T_{inf1} \rightarrow$  Temperatura del agua en un punto lejano de la superficie de intercambio.
- $T_{inf2} \rightarrow$  Temperatura del aire en un punto lejano de la superficie de intercambio.

- $R_{ENV} \rightarrow$  Resistencia térmica de la superficie de la envolvente.

Véase que la  $R_{ENV}$  contiene la resistencia de las múltiples capas, por lo que, se tiene en consideración los materiales que componen el conglomerado del cilindro.

$$\begin{aligned} R_{ENV} &= R_{conv1} + R_{cil1} + R_{cil2} + R_{cil3} + R_{conv2} \\ &= \frac{1}{h_1 A_1} + \frac{\ln(\frac{r_2}{r_1})}{2\pi L k_1} + \frac{\ln(\frac{r_3}{r_2})}{2\pi L k_2} + \frac{\ln(\frac{r_4}{r_3})}{2\pi L k_3} + \frac{1}{h_2 A_4} \end{aligned} \quad (3.34)$$

Donde:

- $R_{ENV} \rightarrow$  Resistencia térmica de la superficie de la envolvente.
- $R_{conv1} \rightarrow$  Resistencia convectiva de agua.
- $R_{cil1} \rightarrow$  Resistencia cilíndrica de la envolvente.
- $R_{cil2} \rightarrow$  Resistencia cilíndrica del aislante.
- $R_{cil3} \rightarrow$  Resistencia cilíndrica del calorifugado.
- $R_{conv2} \rightarrow$  Resistencia convectiva del aire.
- $R_1 \rightarrow$  Radio interno de la envolvente.
- $R_2 \rightarrow$  Radio externo de la envolvente.
- $R_3 \rightarrow$  Radio interno de la calorifugado.
- $R_4 \rightarrow$  Radio externo de la calorifugado.
- $L \rightarrow$  Longitud de la envolvente.
- $k_1 \rightarrow$  Conductividad térmica de la envolvente.
- $k_2 \rightarrow$  Conductividad térmica de la aislante.
- $k_3 \rightarrow$  Conductividad térmica de la calorifugado.
- $h_1 \rightarrow$  Coeficiente convectivo del agua.
- $h_2 \rightarrow$  Coeficiente convectivo del aire.
- $A_1 \rightarrow$  Área de transferencia en contacto con el agua.
- $A_2 \rightarrow$  Área de transferencia en contacto con el aire.

### 3.5.2 Cálculo de pérdidas térmicas en las tapas circulares de la caldera

Para las tapas se usa el flujo de calor por paredes planas quedando las ecuaciones de manera muy similar a las del apartado anterior. Para el flujo de calor se utiliza la ecuación:

$$P_{SP} = \frac{T_{inf1} - T_{inf2}}{R_{TP}} \quad (3.35)$$

Donde:

- $P_{SP} \rightarrow$  Potencia térmica cedida por la tapa de la envolvente.
- $T_{inf1} \rightarrow$  Temperatura del agua en un punto lejano de la superficie de intercambio.
- $T_{inf2} \rightarrow$  Temperatura del aire en un punto lejano de la superficie de intercambio..
- $R_{TP} \rightarrow$  Resistencia térmica de la tapa de la envolvente.

En cambio, para la resistencia térmica total la ecuación expresada si que varía quedando de la siguiente manera:

$$\begin{aligned} R_{TP} &= R_{conv1} + R_{pared1} + R_{pared2} + R_{pared3} + R_{conv2} \\ &= \frac{1}{h_1 A_{SP}} + \frac{L_1}{A_{SP} k_1} + \frac{L_2}{A_{SP} k_2} + \frac{L_3}{A_{SP} k_3} + \frac{1}{h_2 A_{SP}} \end{aligned} \quad (3.36)$$

Donde:

- $R_{TP} \rightarrow$  Resistencia térmica de la tapa de la envolvente.
- $R_{conv1} \rightarrow$  Resistencia convectiva generada por el agua.
- $R_{pared1} \rightarrow$  Resistencia de la tapa envolvente.
- $R_{pared2} \rightarrow$  Resistencia del aislante.
- $R_{pared3} \rightarrow$  Resistencia del calorifugado.
- $R_{conv2} \rightarrow$  Resistencia convectiva generada por el aire.
- $L_1 \rightarrow$  Espesor tapa de la envolvente.
- $L_2 \rightarrow$  Espesor del aislante.
- $L_3 \rightarrow$  Espesor del calorifugado.
- $k_1 \rightarrow$  Conductividad térmica de la tapa de la envolvente.
- $k_2 \rightarrow$  Conductividad térmica del aislante.
- $k_3 \rightarrow$  Conductividad térmica del calorifugado.
- $h_1 \rightarrow$  Coeficiente convectivo del agua.
- $h_2 \rightarrow$  Coeficiente convectivo del aire.
- $A_{SP} \rightarrow$  Área de la tapa de la envolvente.

# 4 Hardware y algoritmo de cálculo

## 4.1 Hardware y lenguaje de programación empleado

La electrónica que se utiliza para ejecutar este simulador se compone de una placa Arduino modelo Mega 2560 que integra un microcontrolador del fabricante Atmel modelo ATmega2560 [3, 4].



**Figura 4.1:** Arduino Mega 2560.

**Fuente:** Imagen extraída de[4].

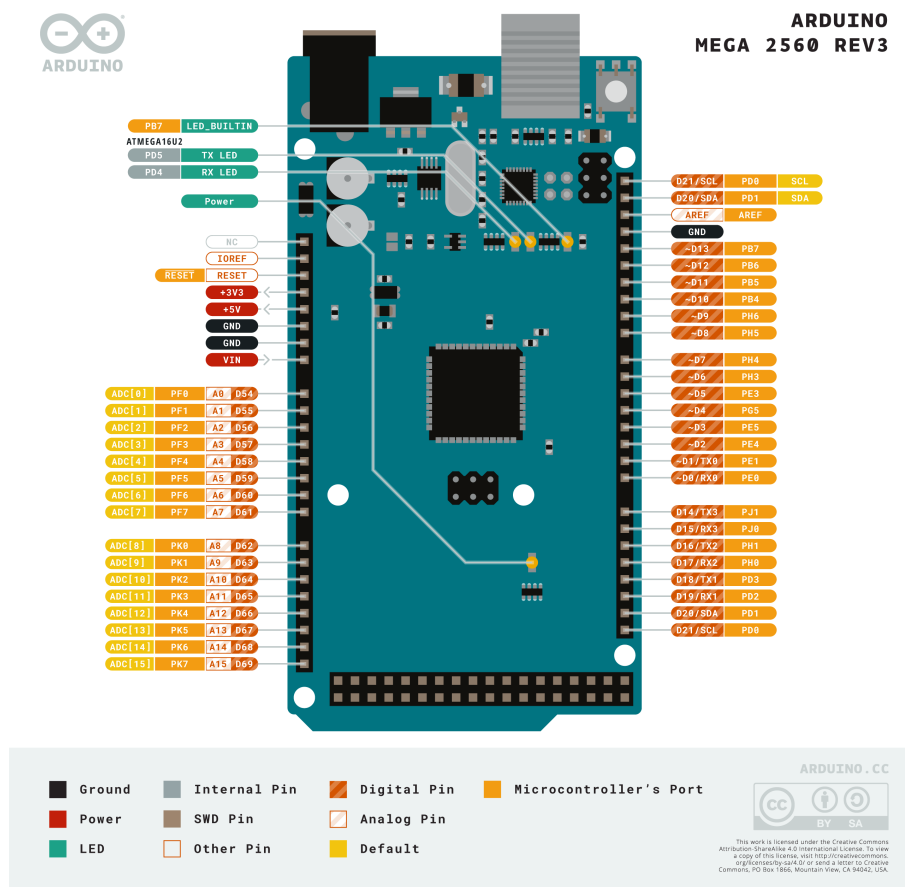
Es una placa diseñada para disponer de una variedad de entradas y salidas: 54 son salidas/entradas digitales, y 14 de ellas salidas de modulación por ancho de pulso, también conocido por las siglas “Modulación por Ancho de Pulsos (PWM)”, mientras 16 son entradas de tipo analógico más 4 puertos tipo serie. También contiene un oscilador que trabaja a una frecuencia de 16MHz, además, de un puerto Bus Serie Universal (USB) 2.0 tipo B, pines de alimentación, pulsador de RESET y un conector In-Circuit Serial Programming (ICSP) [3, 4, 24].

A continuación, se muestran brevemente los datos técnicos de la electrónica Mega 2560 [3]:

- Microcontrolador: ATmega 2560.
- Memoria de programación: 256kb.
- Tamaño del bootloader: 8kb.

- Regulación de tensión: Si, 5Vdc
- Entradas/salidas disponibles: 54 (14 tipo PWM)
- Entradas analógicas: 16.
- Tensión de alimentación: (se recomienda) 7-12.5V.
- Máxima corriente en las entradas: 40mA.
- Tensión en las salidas: 5V, 50mA.
- Dimensiones: 100 x 50 mm.
- Velocidad de reloj: 16MHz

El diagrama siguiente muestra el mapa de conexiones usados en el proyecto:



**Figura 4.2:** Diagrama de conexiones Arduino Mega 2560.

Fuente: Imagen extraída de web de Arduino[4].

El lenguaje de programación empleado para diseñar el firmware es C++, aunque no es C puro que proviene de AVR-libc, el cual provee una librería C de alta calidad lista para usar en los controladores de Atmel [16].

## 4.2 Conexiones y diagramas

En la realización del simulador no todas las entradas/salidas de la placa son utilizadas. Haciendo uso de la conexión USB se alimenta la placa, la pantalla Pantalla de Cristal Líquido (LCD) y el resto de componentes del simulador. Los Diodo Emisor de Luz (LED) que se emplean en este proyecto son de tipo bicolor con el fin de ocupar un LED para dos señales visuales y son conectados a las salidas digitales para su alimentación.

Identificación de los diferentes LEDs y su función:

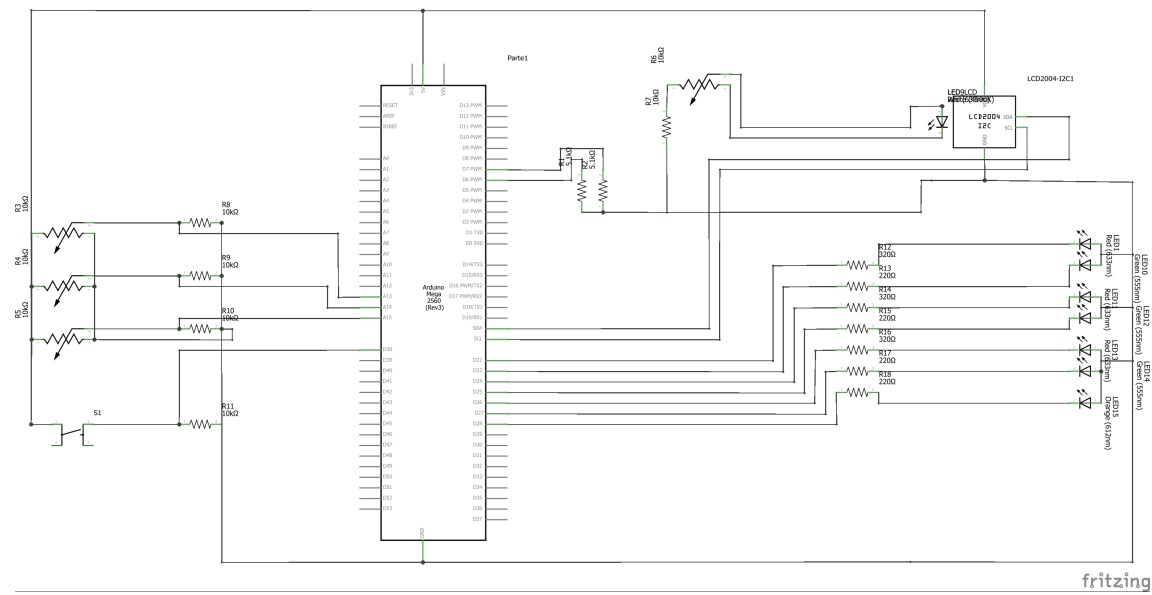
- LED 1, conexión a pin número 22 → Alarma alto nivel de agua en la caldera (rojo).
- LED 1, conexión a pin número 23 → Nivel correcto de agua (verde).
- LED 2, conexión a pin número 24 → Alarma alta presión de vapor (rojo).
- LED 2, conexión a pin número 25 → Presión de vapor de trabajo correcta (verde).
- LED 3, conexión a pin número 26 → Bloqueo de la caldera y aviso RESET (rojo).
- LED 3, conexión a pin número 27 → Caldera en operación (verde).
- LED 4, conexión a pin número 28 → Estado del quemador encendido-apagado (verde).

Los LEDs por norma general trabajan con un voltaje de entre 2 y 3,5 voltios a una corriente nominal de unos 20mA, por lo que, al conectarlo a la placa se le aplicaría un voltaje mayor del que necesita. Esto provoca que la vida útil del diodo LED se vea afectada produciendo prematuramente una rotura del mismo. Para evitarlo se limita la corriente con ayuda de una resistencia.

Como se menciona anteriormente, se usan potenciómetros de 10kΩ su función es la de producir la modificación de variables de la simulación. Los potenciómetros se conectan por lo general a las entradas analógicas que cuentan con una resolución de 0 a 1024 y en algunos casos se deriva a masa la señal de los potenciómetros para evitar que existan valores de entrada estando el potenciómetro a 0.

- Potenciómetro 1 → Modifica la potencia del quemador.
- Potenciómetro 2 → Control de la válvula de agua de alimentación.
- Potenciómetro 3 → Regula la válvula de la línea de vapor.
- Potenciómetro 4 → Regulación de la retroiluminación del LCD.

La pantalla LCD recibe alimentación de la placa electrónica mediante los pines de alimentación y mediante cables que están conectados a los pines 20 (System Data (SDA)) y 21 (System Clock (SCL)), que conforman el bus de tipo Inter-Integrated Circuit (I2C), se comunican los datos a la pantalla desde la placa electrónica. Para ello, es necesario el uso de la librería Wire.



**Figura 4.3:** Conexiones del simulador elaborado con Fritzing.

Fuente: Elaboración propia.

Se ha realizado un esquema electrónico con ayuda del software fritzing para la representación eléctrica del simulador [18]. En el diagrama se pueden ver los diferentes componentes que forman el simulador y el cableado del mismo. Destacar que, la pantalla que se utiliza es de 4 líneas horizontales LCD.

### 4.3 Desarrollo del firmware

### 4.3.1 Código

#### 4.3.1.1 Variables y constantes

Las variables y constantes son un conjunto de valores y definiciones. En las variables se puede almacenar por tipo de variable, modificable en todo momento que se utilice. Según el tipo de variables que se utilice tendrá definida una capacidad de almacenamiento en bit u otra, indicando su nombre detrás del tipo de variable. Las constantes son espacios de almacenamientos no modificables durante la ejecución del código, donde se almacena información para su posterior uso, solo se puede modificar en el código fuente, usadas normalmente por constantes como puede ser el número  $\pi$  o un valor de conductividad térmica. El listado de variables y constantes pertenecen a la configuración del firmware. En la siguiente sección de código se puede observar las constantes empleado en el firmware:

```
1 //Potencia perdida por aislamiento
2 #define LosePower 0
3
4
5 //Definición de las características de la instalación
6 //Tuberías
7 //Diámetro interior de la tubería (mm)
8 #define Di 220.0
9 //Presión nominal de la tubería: 20bar
10 //Longitud equivalente (m)
11 #define LE 250.0
12
```

```
13 //Dimensiones de la caldera
14 //Número de tubos del segundo paso de humos
15 #define nTubSecStep 150
16 //Número de tubos del tercer paso de humos
17 #define nTubThiStep 84
18 //Diámetro del quemador (m)
19 #define FurnaceDiameter 1.31
20 //Diámetro de la caldera (m)
21 #define boilerDiameter 3.2
22 //Diámetro de los tubos de paso de humos (m)
23 #define tubeDiameter 0.061
24 //Longitud del hogar de la caldera (m)
25 #define furnaceLength 5.638
26 //Longitud de los tubos del segundo paso de humos (m)
27 #define secStepLength 4.724
28 //Longitud de los tubes del tercer paso de humos (m)
29 #define thiStepLength 5.94
30 //espesor del acero de la caldera (m)
31 #define MaterialThickness 0.008
32 //Longitud de la caldera (m)
33 #define BoilerLength 6.2
34 //Internal boiler wall radius (mm)
35 #define internalBoilerWRad 1.491
36 //External boiler wall radius (mm)
37 #define externalBoilerWRad 1.499
38 //External boiler thermal isolation radius (mm)
39 #define externalBoilerThermalIsoRad 1.599
40 //External boiler radius (mm)
41 #define externalBoilerRad 1.6
42 //Front and rear cover radius (m)
43 #define CoverRadius 1.6
44
45 //Fuel data
46 #define LowCalVal 39765 //kJ/kg
47
48 //Adiabatic temperatures
49 //Light fuel oil (°C)
50 #define L_FuelAdiabaticTemperature 2104
51 //Medium fuel oil (°C)
52 #define M_FuelAdiabaticTemperature 2101
53 //Heavy fuel oil (°C)
54 #define H_FuelAdiabaticTemperature 2102
55
56
57 //Chemical Data
58 //Carbon (g/mol)
59 #define C_AtomicWeight 12
60 //Hydrogen (g/mol)
61 #define H_AtomicWeight 1.008
62 //Nitrogen (g/mol)
63 #define N_AtomicWeight 14
64 //Oxygen (g/mol)
65 #define O_AtomicWeight 16
66 //Fuel (kg/mol)
67 #define Fuel_molecWeight 0.28233
68 //Carbon dioxide (kg/mol)
69 #define CO2_molecWeight 0.044
70 //Water (kg/mol)
71 #define H2O_molecWeight 0.018016
72
73 //Specifics heats
74 //Nitrogen (kJ/kg°C)
75 #define N2SH 1.04
```

```

76 //Oxygen (kJ/kg·°C)
77 #define O2SH 0.918
78 //Fuel (kJ/kg·°C)
79 #define FuelSH 1.5899
80 //Carbon dioxide (kJ/kg·°C)
81 #define CO2SH 0.8439
82 //Water (kJ/kg·°C)
83 #define H2OSH 4.18
84
85 //Definición de coeficientes termicos
86 //Water Thermal Coefficient (W/m²·K)
87 #define K_H2O 62
88 //Air Thermal Coefficient (W/m²·K)
89 #define K_Air 18
90 //Exhaust gas Thermal Coefficient (W/m²·K)
91 #define KExhaustGas 280
92 //Steel Thermal Coefficient (W/m·K)
93 #define SteelThermalCoefficient 50.20
94 //Rock Wool Thermal Coefficient (W/m·K)
95 #define RockWoolThermalCoefficient 0.0410
96 //Aluminium Thermal Coefficient (W/m·K)
97 #define AluminiumThermalCoefficient 209.3
98
99 //Definición de constantes
100 //numero pi
101 #define pi 3.1416

```

Y seguidamente se muestran las variables de control en la siguiente sección de código:

```

1 //Definición de variables de control
2
3 //Potencia perdidas por aislamiento
4 float LosePower = 0.0;
5 //Rendimiento del quemador
6 float etaBurner = 0.0;
7 //Carga de la caldera
8 float BoilerLoad = 0;
9 //Potencia transferida al agua (kW)
10 float PowerTransferred = 0.0;
11
12 //Variables cálculo de pérdidas térmicas
13 //pi number pow 2
14 float pi2 = pow(pi, 2);
15 //Cilinder area
16 float BoilerCylindricalSurface = 0.0;
17 //Circunference area
18 float BoilerCoverSurface = 0.0;
19 //Cilinder area
20 float BoilerExternalCylindricalSurface = 0.0;
21 //Boiler steel thickness
22 float BoilerSteelThickness = 0.0;
23 //Boiler isolation thickness
24 float BoilerIsolationThickness = 0.0;
25 //Boiler isolation protector thickness
26 float BoilerIsolationProtectorThickness = 0.0;
27
28 //Boiler body thermal resistance (W)
29 float Rtotalcyl = 0.0;
30 //Lost heat boiler body insulation
31 float Qperd1 = 0.0;
32 //Boiler front cover thermal resistance (°C/W)
33 float Rtotalfront = 0.0;
34 //Boiler rear cover thermal resistance (°C/W)
35 float Rtotalrear = 0.0;

```

```
36 //Lost heat insulation front cover (W)
37 float Qperd2 = 0.0; //(W)
38 //Lost heat insulation rear cover (W)
39 float Qperd3 = 0.0; //(W)
40 //Boiler thermal resistance (°C/W)
41 float Rboiler = 0.0;
42
43 //Temperatura de la caldera
44 float BoilerTemperature = 0.0;
45 //Temperatura tras el aporte energético del quemador
46 float IntermediateTemperature = 0.0;
47 //Energía neta
48 double NetEnergy = 0.0;
49 //Energía de calentamiento a Ts
50 float HeatEnergy = 0.0;
51 //Energía sobrante
52 float SurplusEnergy = 0.0;
53 //Masa de vapor generado
54 float SteamMass = 0.0;
55 //Volumen de vapor generado
56 float SteamVolume = 0.0;
57 //Calculo de la presion generada por la masa de vapor
58 float SteamPressurecreate = 0.0;
59 //Número de moles
60 float n = 0.0;
61
62 //Combustión, variables cálculo temperatura del hogar
63 //Fuel Flow
64 float FuelFlow = 0.0;
65 //Value n of Air Excess
66 float nExcess = 0.0;
67 //Reactive combustion products flow
68 //Moles of fuel for current fuel flow
69 float MOLFlowFuel = 0.0;
70 //Moles of oxygen for stoichiometric combustion
71 float MOLO2stoichiometric = 0.0;
72 //Moles of oxygen flow for stoichiometric combustion
73 double MOLO2stoichiometricFlow = 0.0;
74 //No reactive exhaust gases flow with air excess
75 //Excess oxigen flow
76 double O2Flow = 0.0;
77 //Excess nitrogen flow
78 double N2Flow = 0.0;
79 //Excess carbon dioxide flow
80 double CO2Flow = 0.0;
81 //Reactive exhaust gases flow with air excess
82 //Reactive carbon dioxide flow of exhaust gas
83 double CO2Flowreactive = 0.0;
84 //Reactive water steam flow of exhaust gas
85 double H2OFlowreactive = 0.0;
86 //Non-reactive nitrogen flow of exhaust gas
87 double N2Flownonreactive = 0.0;
88 //Non-reactive carbon dioxide flow of exhaust gas
89 double CO2Flownonreactive = 0.0;
90 //Non-reactive oxygen flow of exhaust gas
91 double O2Flownonreactive = 0.0;
92 //Boiler furnace temperature
93 float FurnaceTemp = 0.0;
94
95 //Efficiency according to boiler load
96 //Curve Efficiency
97 float Efficiency = 0.0;
98 //U coefficient
```

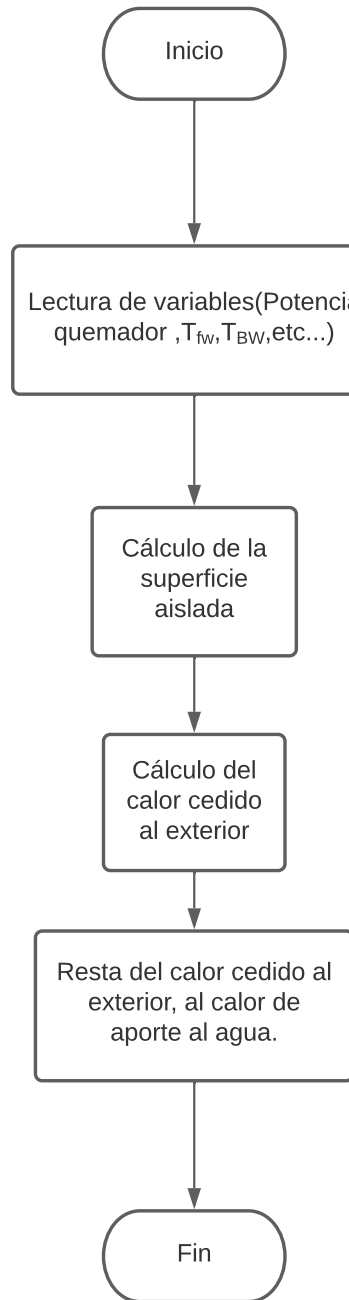
```

99 float CoeffU = 0.0;
100 //Real logarithmic mean temperature
101 float LMTreal = 0.0;
102 //Iterated logarithmic mean temperature
103 float LMTiterated = 0.0;
104 //Exhaust Temp
105 float ExhaustTemp = 0.0;
106
107 //variables cálculo de superficie
108 //Radio interno del hogar (m)
109 double Internalfurnrad = 0.00;
110 //Radio externo del hogar (m)
111 double Externalfurnrad = 0.00;
112 //Radio interno de los tubos del segundo paso de humos (m)
113 double IntsecSteprad = 0.00;
114 //Radio Externo de los tubos del segundo paso de humos (m)
115 double ExtsecSteprad = 0.00;
116 //Radio interno de los tubos del tercer paso de humos (m)
117 double IntthiSteprad = 0.00;
118 //Radio externo de los tubos del tercer paso de humos (m)
119 double ExtthiSteprad = 0.00;
120 //Superficie del hogar (m2)
121 double Furnacesurface = 0.00;
122 //Superficie del segundo paso de humos (m2)
123 double secStepsurface = 0.00;
124 //Superficie del tercer paso de humos (m2)
125 double thiStepsurface = 0.00;
126 //Superficie total de intercambio de la caldera (m2)
127 double ExchangeSurface = 0.00;

```

#### 4.3.1.2 Cálculo de pérdidas térmicas

El siguiente diagrama muestra el proceso que sigue el firmware para recopilar datos y reproducir los cálculos.

**Figura 4.4:** Diagrama de flujo para el cálculo de las perdidas térmicas.

Fuente: Elaboración propia.

```

1  /*====> Calculates thermal losses in insulation */
2  void calculateThermalLosses(){
3      /*====> Calculates thermal loses */
4      // pi number pow 2
5      pi2 = pow(pi, 2);
6      //cylinder area
7      BoilerCylindricalSurface = 2*pi*internalBoilerWRad*BoilerLength;
8      //cover circumference area
9      BoilerCoverSurface= pi*pow(CoverRadius ,2);
10     //boiler cylinder area
  
```

```

11     BoilerExternalCylindricalrSurface= 2*pi*externalBoilerRad*
12         BoilerLength;
13 //boiler steel thickness
14 BoilerSteelThickness= externalBoilerWRad - internalBoilerWRad;
15 //boiler rockwool thickness
16 BoilerIsolationThickness= externalBoilerThermalIsoRad -
17     externalBoilerWRad;
18 //boiler isolation protector (aluminium) thickness
19 BoilerIsolationProtectorThickness= externalBoilerRad -
20     externalBoilerThermalIsoRad;

21 //boiler body thermal resistance
22 Rtotalcyl = ((1/(K_H2O*BoilerCylindricalSurface)) + ((log(
23     externalBoilerWRad/internalBoilerWRad))/(2*pi*BoilerLength*
24     SteelThermalCoefficient)) + ((log(externalBoilerThermalIsoRad/
25     externalBoilerWRad))/(2*pi*BoilerLength*
26     RockWoolThermalCoefficient)) + ((log(externalBoilerRad/
27     externalBoilerThermalIsoRad))/(2*pi*BoilerLength*
28     AluminiumlThermalCoefficient)) + (1/(K_Air*
29     BoilerExternalCylindricalrSurface)); //(( $\text{A}^{\circ}\text{C}/\text{W}$ ) A1=A4=2*pi*r*l
30 //lost heat boiler body insulation
31 Qperd1 = (WaterTemperature-EnvironmentTemperature)/Rtotalcyl;//(W)
32 //boiler front cover thermal resistance
33 Rtotalfront = (1/(K_H2O*BoilerCoverSurface)) + (BoilerSteelThickness*
34     /(SteelThermalCoefficient*BoilerCoverSurface)) + (
35     BoilerIsolationThickness/(RockWoolThermalCoefficient*
36     BoilerCoverSurface)) + (BoilerIsolationProtectorThickness/(
37     AluminiumlThermalCoefficient*BoilerCoverSurface)) + (1/(K_Air*
38     BoilerCoverSurface)); //(( $\text{A}^{\circ}\text{C}/\text{W}$ )
39 //boiler rear cover thermal resistance is the same as the front
40 cover
41 Rtotalrear = Rtotalfront; //(( $\text{A}^{\circ}\text{C}/\text{W}$ )
42 //lost heat insulation front cover
43 Qperd2 = (WaterTemperature-EnvironmentTemperature)/Rtotalfront;//(W)
44 //lost heat insulation rear cover
45 Qperd3 = Qperd2;//(W)
46 //total heat lost through insulation
47 LosePower = Qperd1 + Qperd2 + Qperd3; // power losses.
48 //boiler thermal resistance
49 Rboiler = Rtotalcyl + Rtotalfront + Rtotalrear;
50
51
52
53
54
55
56
57
58 }
```

En el fragmento de código anterior se han utilizado las ecuaciones 3.33, 3.34, 3.35, 3.36

Se realiza primeramente el cálculo de la superficie exterior de la caldera que es la que va a producir intercambio de calor con el exterior y va a reducir el calor que está contenido en el agua. Se calculan las resistencias térmicas en las tapas de los pasos de humos, además de la resistencia térmica de la propia caldera, que es considerada un cilindro. A continuación, se calcula el calor cedido al ambiente mediante la fórmula matemática que también es utilizada para las cubiertas frontales.

#### 4.3.1.3 Cálculo de la superficie de intercambio

El proceso de cálculo de la superficie de intercambio está descrito en el diagrama de flujo que se muestra en la figura 4.4 y su código de programación se muestra a continuación:

```

1 //=====
2 /*====> Calculate exchange surface */
```

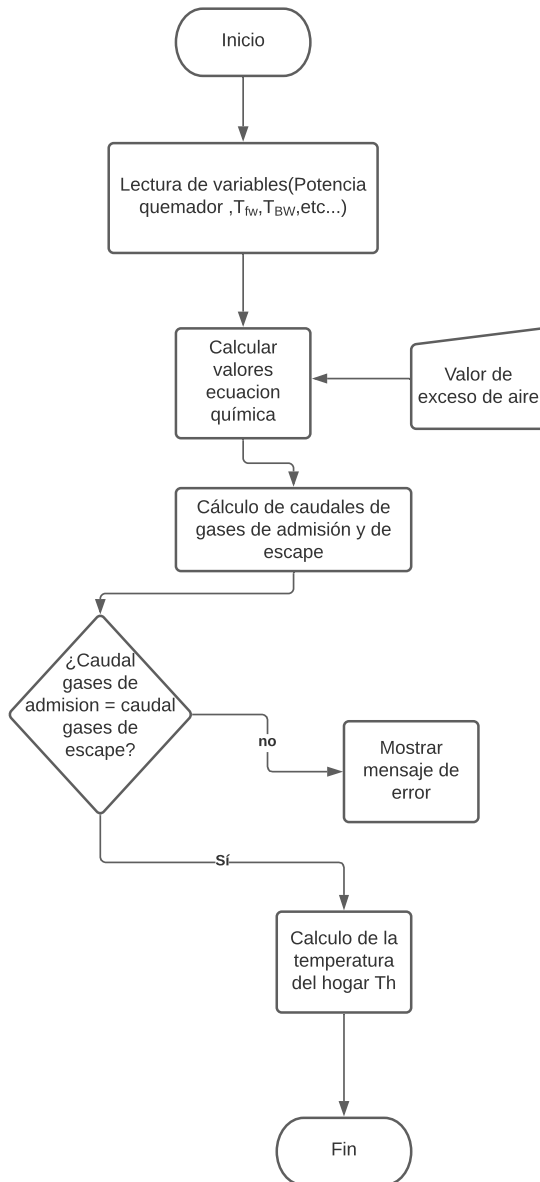
```

3 void exchangeSurface(){
4     //Calculate some dimensions of the boiler
5     //Internal furnace radius
6     Internalfurnrad = FurnaceDiameter / 2;
7     //External furnace radius
8     Externalfurnrad = Internalfurnrad + MaterialThickness;
9     //Internal radius of the pipes of the second fume pass
10    IntsecSteprad = tubeDiameter / 2;
11    //External radius of the pipes of the second fume pass
12    ExtsecSteprad = IntsecSteprad + MaterialThickness;
13    //Internal radius of the pipes of the third fume pass
14    IntthiSteprad = IntsecSteprad;
15    //External radius of the pipes of the third fume pass
16    ExtthiSteprad = ExtsecSteprad;
17    //Furnace surface
18    Furnacesurface = 2 * pi * Internalfurnrad * furnaceLength;
19    //Second fume pass surface
20    secStepsurface = 2 * pi * IntsecSteprad * secStepLength;
21    //Third fume pass surface
22    thiStepsurface = 2 * pi * IntthiSteprad * thiStepLength;
23    //Total boiler exchange surface
24    ExchangeSurface = Furnacesurface + (nTubSecStep*secStepsurface) + (
25        nTubThiStep*thiStepsurface);
26 }
```

Se calcula mediante el número de tubos y las dimensiones de la caldera, la superficie interna de intercambio de calor de la caldera. Esta superficie es de utilidad para cálculos posteriores.

#### 4.3.2 Cálculo de la temperatura del hogar

Como se muestra a continuación el diagrama de flujo muestra el proceso de cálculo y las decisiones del firmware para obtener la temperatura del hogar.



**Figura 4.5:** Diagrama de flujo para el cálculo de las pérdidas térmicas.

Fuente: Elaboración propia.

```

1  /*====> Calculate the boiler furnace temperature */
2  void calculateFurnaceTemperature(){
3
4      BoilerLoad = etaBurner;
5      if(BoilerLoad>0){
6          float ExcessAir = 30;//Potenciómetro
7          //Calculate fuel flow
8          FuelFlow = ((PMax*(BoilerLoad/100))/LowCalVal);
9          //Calculate air excess
10         nExcess = (ExcessAir/100)+1;
11         //Reactive combustion products flow
12         MOLflowFuel = (FuelFlow/Fuel_molecWeight);
13         MOL02stoichiometric = MOLflowFuel*(((61/2)*nExcess)/nExcess)
14         ;
  
```

```

15     MOL02stoichiometricFlow = (MOL02stoichiometric *(
16         O_AtomicWeight*2)/1000);
17     //Calculate no reactive exhaust gases flow with air excess
18     O2Flow = ((MOLflowFuel*((61/2)*nExcess)*(O_AtomicWeight*2))
19                 /1000);
20     N2Flow = (((78.06/20.98)*((61/2)*nExcess))*MOLflowFuel*(
21         N_AtomicWeight*2)/1000);
22     CO2Flow = (((((0.04/20.98)*((61/2)*nExcess))*MOLflowFuel*(
23         CO2_molecWeight*1000))/1000);
24     //Calculate reactive exhaust gases flow with air excess
25     CO2Flowreactive = 20*MOLflowFuel*CO2_molecWeight;
26     H20Flowreactive = 21*MOLflowFuel*H20_molecWeight;
27     N2Flownonreactive = N2Flow;
28     CO2Flownonreactive = CO2Flow;
29     O2Flownonreactive = (((61/2)*(nExcess-1))*MOLflowFuel*(
30         O_AtomicWeight*2))/1000);
31     //Equation for calculate furnace temperature
32     FurnaceTemp = (((((CO2Flowreactive*CO2SH)+(H20Flowreactive*
33         H20SH))*H_FuelAdiabaticTemperature)+((N2Flownonreactive*
34         N2SH)+(O2Flownonreactive*O2SH)+(CO2Flownonreactive*
35         CO2SH))*EnvironmentTemperature))/((CO2Flowreactive*CO2SH
36         +(H20Flowreactive*H20SH)+(N2Flownonreactive*N2SH)+(O2Flownonreactive*O2SH)+(CO2Flownonreactive*CO2SH)));
37 } else {FurnaceTemp = WaterTemperature;}
38 }
```

En este proceso se han utilizado las ecuaciones 3.11, 3.9, 3.12, 3.13, 3.14, 3.28.

En el cálculo de la temperatura del hogar se debe disponer en el sketch correspondiente las constantes químicas y datos que necesita el código para su funcionamiento. Inicialmente, se calculan los moles de fuel y oxígeno en una reacción estequiométrica. A continuación, los gases de admisión o gases que entran con el aire del quemador y se obtienen los caudales para la cantidad de fuel inyectada. Por último, el cálculo de los caudales de gases de escape que se generan tras la combustión incluyendo los propios de la reacción exotérmica. Finalmente, tras estos cálculos se procede mediante la ecuación 3.28 al cálculo de la temperatura del hogar.

#### 4.3.2.1 Cálculo de la eficiencia según la carga de vapor

Se ha implementado en la siguiente sección de código el proceso para obtener la eficiencia de la caldera, este procedimiento está recogido en el diagrama de flujo de la figura 4.6.

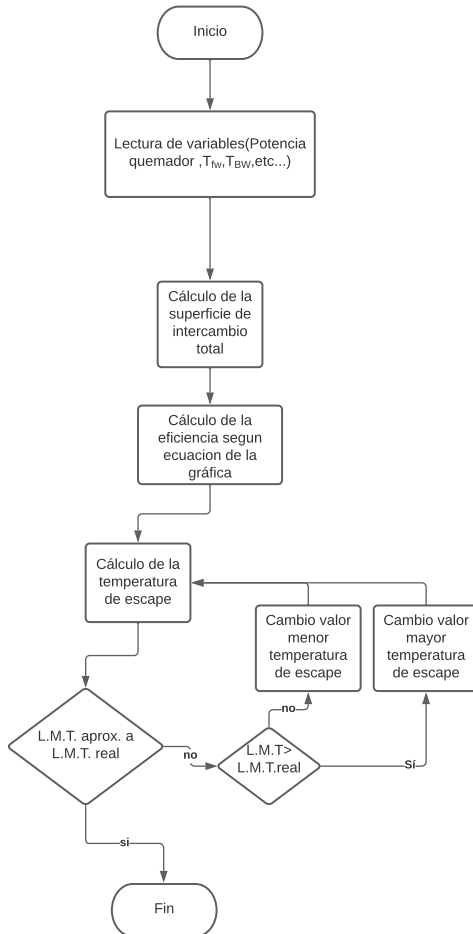
```

1 //====> Calculate boiler efficiency */
2 void calculateBoilerEfficiency(){
3     BoilerLoad = etaBurner;
4     //calculate efficiency
5     if(BoilerLoad > 0.194){
6         Efficiency = 13.741*log(BoilerLoad)+22.563; //Curve
7         Efficiency
8     } else {Efficiency = 0;}
9 }
```

En esta sección de código se ha dispuesto la ecuación 3.29 que se obtuvo de la gráfica de eficiencia según carga de vapor obteniendo el valor directamente.

#### 4.3.2.2 Cálculo de la temperatura de escape

En el diagrama de flujo 4.6 se muestra la ejecución que realiza el firmware para la obtención de los resultados de los cálculos.



**Figura 4.6:** Diagrama de flujo para el cálculo de las temperaturas de escape.

Fuente: Elaboración propia.

```

1  /*====> Calculate exhaust temperature */
2  void calculateExhaustTemperature(){
3    // Calculates U coeff
4    CoeffU = (0.050760); //kW/m2°C
5    //Temperatura media logarítmica
6    LMTreal = (PowerTransferred/(ExchangeSurface*CoeffU)); //°C
7    //Configuration of Do-While
8    float LowValue = WaterTemperature;
9    float HighValue = FurnaceTemp;
10   //Determines initial Exhaust temp
11   ExhaustTemp = (FurnaceTemp - WaterTemperature) / 2;
12   //Operation variables
13   float DeltaTemp = 0.0;
14   float ValidOperation = 0;
15
16
  
```

```

17 // The first range is iterated and reduced by using the sign-change
18 // method until
19 if((FurnaceTemp>(WaterTemperature+10))&& (etaBurner>23)){
20
21     do {
22         LMTreal = (PowerTransferred/(ExchangeSurface*CoeffU)
23                     );//°C
24         LMTiterated= (((FurnaceTemp-WaterTemperature)-
25                         ExhaustTemp-FeedWaterTemperature))/(
26                         log((FurnaceTemp-WaterTemperature)/(ExhaustTemp-
27                             FeedWaterTemperature))));//°C
28
29         if (LMTiterated < LMTreal) {LowValue = ExhaustTemp;}
30         else{ HighValue = ExhaustTemp;}
31         DeltaTemp = LMTreal-LMTiterated;
32
33         ExhaustTemp = LowValue + (HighValue - LowValue) / 2;
34
35     }while ((abs(DeltaTemp) > 0.05));
36     else{ExhaustTemp = WaterTemperature;}
37 }
```

Para finalizar, en esta sección de código se ha calculado mediante las ecuaciones 3.30, 3.31, 3.32, de manera iterativa la temperatura de los gases de escape hasta aproximar la temperatura a un valor de  $+0.05^{\circ}\text{C}$  a la temperatura real de gases de escape. La búsqueda de la temperatura de gases de escape fue posible gracias al uso del bucle do-while el cual aproxima el valor repitiendo el cálculo tantas veces como sean necesarias.



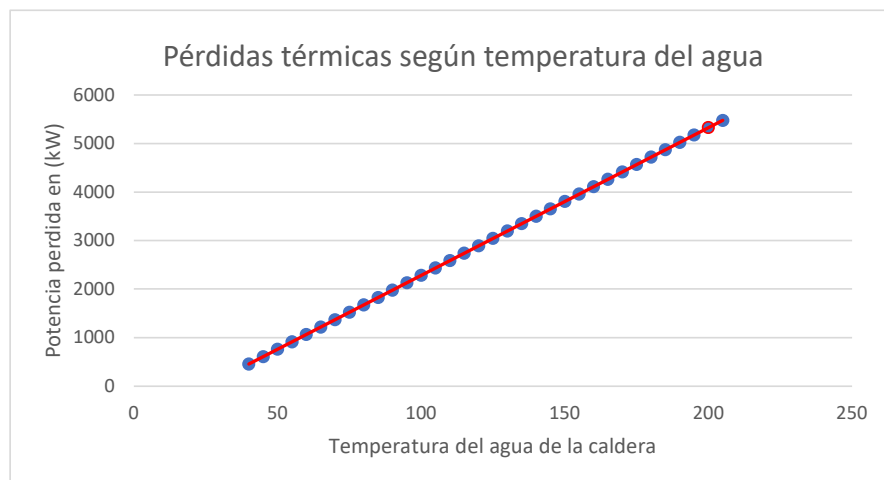
# 5 Resultados

Se han simulado diversas condiciones de funcionamiento con variaciones en el estado de carga del quemador y el porcentaje de exceso de aire. Los distintos métodos de depuración del código han sido los siguientes: mediante lectura de variables en LCD, por extracción de datos por el puerto serie y por lectura del código en el Entorno de Desarrollo Integrado (IDE) de Arduino. Se han corregido diversos errores de funcionamiento modificando fracciones de código por las correcciones necesarias que corrige el defecto en funcionamiento.

## 5.1 Datos de la simulación

Con el fin de observar el comportamiento de la caldera, se han realizado diversas simulaciones. Los datos obtenidos han servido tanto para observar el comportamiento del simulador como para detectar errores en la ejecución del firmware. En las siguientes secciones se muestra un representación gráfica de dichos datos, una vez depurado el código fuente.

### 5.1.1 Simulación: Comportamiento del aislamiento térmico según la temperatura del agua

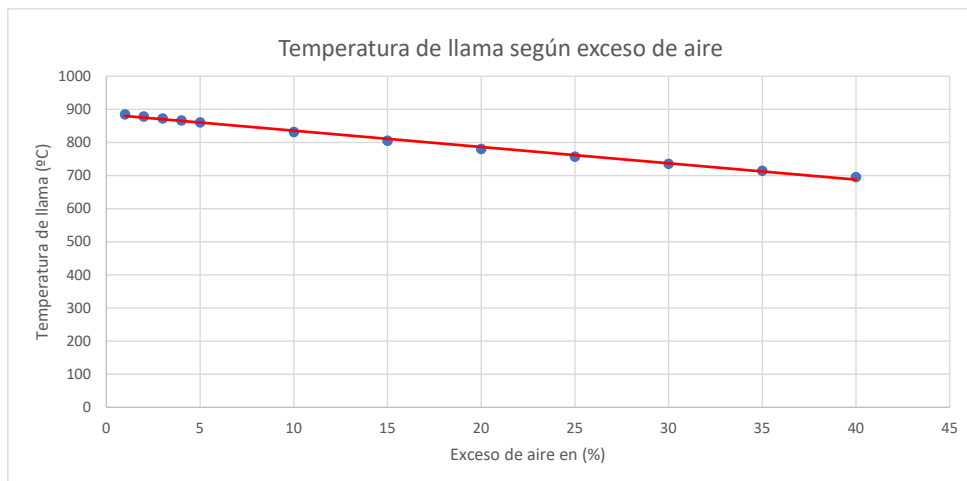


**Figura 5.1:** Temperatura de agua frente a la potencia perdida.

**Fuente:** Elaboración propia.

La figura 5.1 en la que se ha comparado los valores de la temperatura de agua que se encuentra en el interior de la caldera frente a la potencia perdida a través del aislante de la envolvente. En esta se aprecia que la línea de tendencia de los datos extraídos de la simulación define una trayectoria lineal con una pendiente positiva. Se observa que a mayor temperatura del agua de la caldera van a existir unas pérdidas térmicas mayores llegando, en este caso, a un valor de 5500 W.

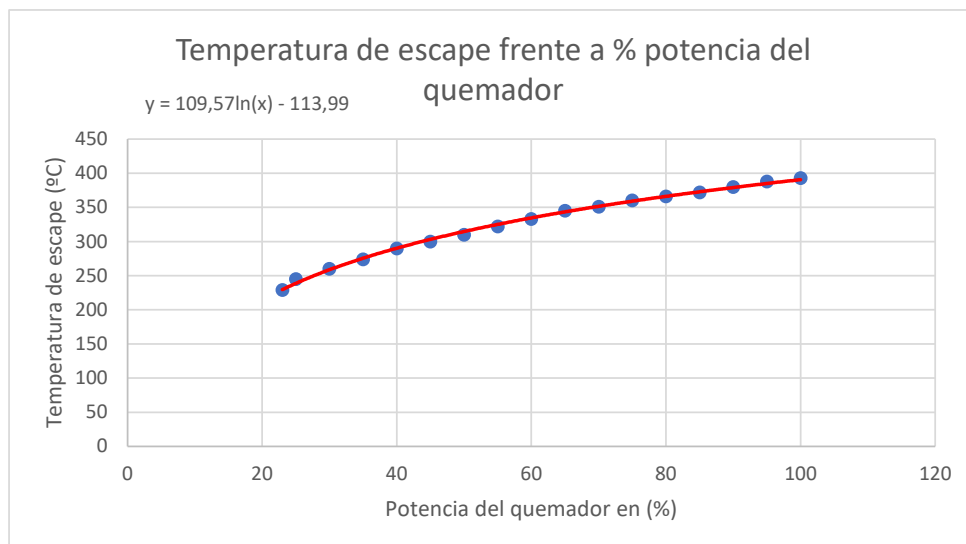
### 5.1.2 Simulación: Comportamiento de la temperatura del hogar frente al exceso de aire



**Figura 5.2:** Temperatura del hogar frente al exceso de aire.  
**Fuente:** Elaboración propia.

La figura 5.2 muestra el comportamiento de la temperatura del hogar frente al exceso de aire. Se aprecia que la línea de tendencia, respecto al aumento del exceso de aire, es decreciente, adoptando un comportamiento lineal con una pendiente negativa no acusada. De manera, que un aumento del exceso de aire va a disminuir la temperatura de llama de forma progresiva desde un máximo de 870°C hasta 700°C.

### 5.1.3 Simulación: Temperatura de escape y carga del quemador

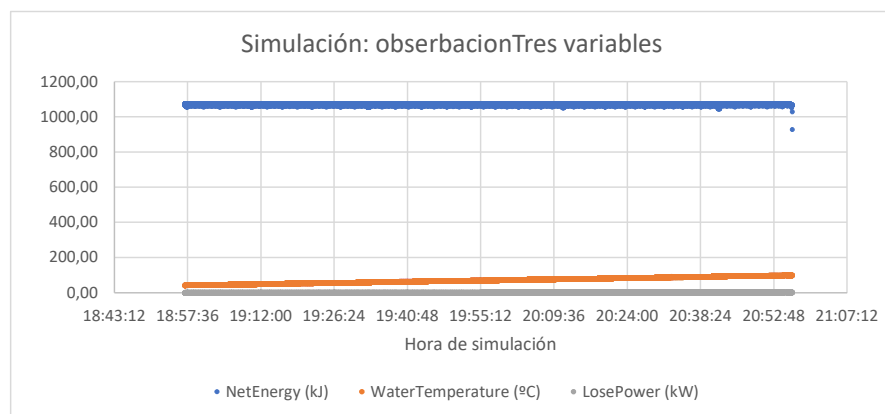


**Figura 5.3:** Temperatura de gases de escape frente a la carga del quemador.

Fuente: Elaboración propia.

La figura 5.3 muestra el comportamiento de la temperatura de los gases de escape frente a la carga del quemador, mostrando una variación de temperatura de escape comprendidos entre los 230°C y los 393°C. En la gráfica se puede visualizar una línea de tendencia de tipo logarítmica que no sigue un comportamiento lineal respondiendo desde una carga del quemador del 23% hasta una carga del 100% y una temperatura de agua durante el funcionamiento de 190°C a 200°C.

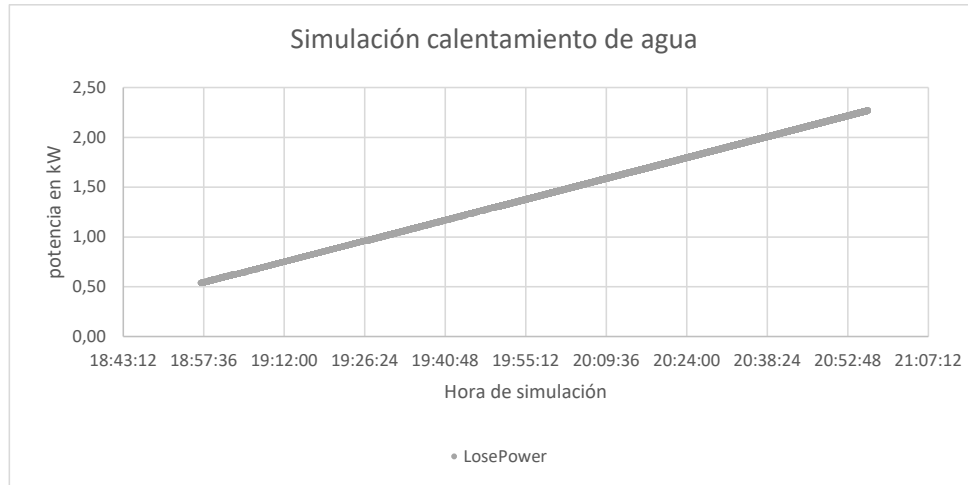
### 5.1.4 Simulación: Calentamiento del agua de 45°C a 99°C visualización de tres variables



**Figura 5.4:** Simulación del calentamiento de agua.

Fuente: Elaboración propia.

En la figura 5.4 se puede observar como la energía neta mantiene una tendencia lineal durante las dos horas de la simulación porque, aunque existen pérdidas, solo representan un 1 % del total por ello no se aprecia ninguna tendencia en la línea de la variable NetEnergy de tipo decreciente. Como se puede observar la línea descrita por la variable LosePower tiene una pendiente positiva que no se alcanza a apreciar en este gráfico debido al aumento de las pérdidas de manera tan progresiva. Respecto a la variable WaterTemperature como se observa si describe una pendiente positiva visible en el gráfico que muestra que para calentar el agua desde los 45°C hasta los 99,60°C emplea aproximadamente unas 2 horas y 15 minutos.



**Figura 5.5:** Visualización de la variable LosePower.

Fuente: Elaboración propia.

En la figura 5.5 se observa mejor el aumento de las pérdidas térmicas según aumenta la temperatura en el calentamiento las cuales estan comprendidas entre 0,5kW para 45°Cy 2,25kW para 99,61°C.

## 5.2 Depuración del código

### 5.2.1 Fallos de la programación

Se muestran los diversos fallos explicando la corrección que se realiza.

- Error de los datos introducidos → Repetición de variables y uso de variables incorrectas.
- Error de sintaxis → Mala utilización de la sintaxis de la función.
- Integración de variables con el resto de código → Las variables no se integraban con el código ya realizado por lo que no modificaba el funcionamiento del resto del programa.
- Falta de terminadores en las funciones → Falta de elementos terminadores tal como ; }
- Falta de elementos condicionantes tipo if() → El código se ejecutaba siempre sin distinguir ciertos casos induciendo errores de cálculo.
- Error de programación del bucle Do-While → El bucle no realiza el cálculo bloqueando el programa porque no termina de ejecutar los comandos.
- Alta temperatura del micro-controlador → Debido a la gran cantidad de cálculos repetitivos el microporcesador sufre una elevada temperatura de trabajo dificultando la operación incluso llegando al bloqueo y reinicio.

### 5.2.2 Fallo en la ecuación NetEnergy

En el trabajo anterior [20] se llevaron a cabo cálculos para obtener la energía neta pero no se contempló una caldera con pérdidas térmicas sino a una caldera ideal sin estas pérdidas, es por ello, que en la ecuación el valor LosePower es 0. Como en este trabajo se han implementado los cálculos de las pérdidas térmicas esta variable tomará un valor obtenido en ese momento por los cálculos hechos. Si se da el caso de que el quemador está apagado y la variable PowerTransferred es 0 el resultado dará un valor negativo que a su vez será multiplicado por un diferencial de tiempo que también será negativo. La solución, por tanto, es aplicar el comando if-else para que cuando el valor NetEnergy sea menor a 0 lo corrija manteniéndolo en 0 hasta que sea positivo.

### 5.2.3 Fallo en la variable SteamMass

En la simulación la caldera responde normalmente realizando un calentamiento desde la temperatura en frío del agua hasta los 99,61°C donde se produce una anomalía. La cual consiste en que la caldera cuando alcanza esta temperatura de 99,61°C la variable HeatEnergy se va a un valor de 0 produciendo que los diferentes cálculos que se hallan a partir de esta variable muestren error o alcancen valores de infinito. Por lo tanto, una vez ocurre este fallo la simulación se detiene ya que todos los valores son incorrectos. El código ha sido revisado en búsqueda de problemas sin éxito, por lo que, la solución de este fallo queda como una propuesta para la futura depuración del código.

## 5.3 Dispositivo simulador

El siguiente dispositivo se ha construido para este proyecto con una caja de registro eléctrica en la que se ha instalado la placa electrónica, el display, los diversos potenciómetros, LEDs indicadores y un interruptor para seleccionar el modo de pantalla, el cual, permite elegir entre dos pantallas que exponen las variables y otra que permite visualizar las alarmas. En la imagen 5.6 se observa el simulador terminado y en operación.



**Figura 5.6:** Dispositivo usado para la simulación.

Fuente: Imagen de elaboración propia.



# 6 Discusión y conclusión

## 6.1 Discusión

Tras la realización de este trabajo se puede concluir que un mayor exceso de aire produce un mayor enfriamiento de los gases de combustión. Esto sucede dado que la cantidad de exceso de aire que se está añadiendo a la combustión extrae una cantidad de calor determinada, por lo que, al aumentar el volumen de exceso de aire que se introduce para la combustión la cantidad de calor que este es capaz de extraer es mayor lo que conlleva a que la temperatura de llama sea menor.

Por otro lado, se concluye que la velocidad de calentamiento del agua va disminuyendo mientras la temperatura del agua aumenta lo que sucede de manera casi lineal y es debido a la aplicación de las pérdidas térmicas en la ecuación de la energía neta.

También, durante el calentamiento del agua, se observa que la energía neta que calcula la electrónica se mantiene alrededor de los mismos valores debido a que aunque existen pérdidas estas no supone mas de un 1% por lo que no modifica mucho los valores de la variable NetEnergy. Con la variable LosePower vemos un comportamiento creciente del valor según aumenta la temperatura del agua como se apreció en las gráficas 5.4 y 5.5 que indica que se tendrá un valor máximo de pérdidas a la temperatura de servicio como muestra la gráfica5.1.

Por último, se obtiene la conclusión de que con la caldera en un estado de régimen la temperatura de gases va a ser más cercana a la temperatura del agua en el interior de la caldera cuando la carga del quemador sea mínima. Por el contrario, se obtendrá la máxima temperatura de gases con la caldera en estado de servicio y una carga del quemador cercana al 100 %.

## 6.2 Conclusión

Como objetivo general de este trabajo, se pretendía lograr un comportamiento más realista del simulador a partir de la introducción de las pérdidas térmicas de la envolvente de la caldera, así como mediante la determinación de la temperatura de los gases de escape. De forma específica, se deseaba determinar la potencia neta transferida al agua, teniendo en cuenta las pérdidas térmicas a través de la envolvente de la caldera. Estos objetivos se han cumplido, al haber desarrollado las modificaciones necesarias en el código fuente del simulador para la determinación en tiempo real de la temperatura de llama, pudiendo precisar la cantidad de calor transferida al agua, así como la temperatura de los gases de escape. Esto ha sido posible gracias a la introducción del cálculo de la potencia del proceso de combustión, teniendo en cuenta la variación del índice de exceso de aire, el cual puede ser modificado por el usuario del simulador y computado en tiempo real. Asimismo, la

introducción de una función específica para el cálculo de las pérdidas térmicas ha permitido determinar con mayor realismo la temperatura del agua en el interior de la caldera. La nueva versión del simulador permite mostrar el comportamiento, además de las variables que anteriormente simulaba, de la temperatura de llama, la temperatura de los gases de escape, así como el flujo de energía neta que es transferido al agua, teniendo en cuenta tanto la potencia procedente de la llama en el hogar, como la potencia perdida a través de la envolvente.

Se ha alcanzado una mejora notable en la visualización de los parámetros que permiten conocer mejor el comportamiento de la caldera bajo cualquier estado de funcionamiento. Debido a que se puede emular esa situación y ver que ocurre. En el ámbito académico, este simulador es útil para mostrar el funcionamiento de una caldera de vapor real a los estudiantes y que éstos puedan interactuar con la misma, pudiendo fabricar un regulador PID para controlar automáticamente los variables de nivel de agua y potencia de llama. Con este simulador se consiguen emular situaciones de peligro o de funcionamiento anormal, por lo que este firmware es útil para entrenar este tipo de situaciones de forma segura.

### 6.2.1 Limitaciones y líneas futuras

Durante el desarrollo de este trabajo se han encontrado ciertas limitaciones. La primera de ellas es la inexistencia de un sistema de purga de agua, ya que durante el calentamiento de la caldera el nivel de agua aumenta por encima del nivel máximo debido a la dilatación térmica. La segunda se refiere a la limitación del hardware empleado para la simulación, el cual está al límite de su capacidad, calentándose en exceso, siendo recomendable la migración a un hardware más potente como una Raspberry Pi. Vinculado a esta mejora de hardware, es recomendable portar el código a Python para aprovechar al máximo el potencial que ofrece esta arquitectura.

En cuanto a las líneas futuras se plantea la fabricación de una consola impresa en 3d en la que se pueda disponer de varias pantallas de tipo LCD, incorporando los potenciómetros y los puertos necesarios para interaccionar con la instrumentación real.

## 6.3 Valoración personal

Este trabajo ha supuesto un gran reto a nivel teórico, ya que he tenido que adquirir conocimientos sobre reacciones químicas de combustión, calderas de producción de vapor y los procesos físicos sobre transferencia de calor. Además, he aprendido a utilizar de forma avanzada el L<sup>A</sup>T<sub>E</sub>X descubriendo diferentes configuraciones que se pueden emplear, así como mejorar mis habilidades en la redacción de textos académicos.

Con respecto a la caldera, he aprendido y ha supuesto para mí una manera de entender mejor cómo funciona, así como todos los factores que se tienen en cuenta en el proceso para que se ponga en marcha y la utilidad que tiene disponer de un simulador de bajo coste para realizar diferentes pruebas sobre un proyecto existente, lo cual considero muy útil a la hora de encarar diferentes fallos que puedan llegar a producirse en una situación real.

# Bibliografía

- [1] “Temperatura de llama adiabática.” [Página web], 2008 [consultado 12 de diciembre de 2020]. URL: <https://web.archive.org/web/20080112141325/http://www.doctorfire.com/flametmp.html>.
- [2] “Tratamiento de agua de calderas.” [Página web], 2015 [consultado 3 de mayo de 2021]. URL: <https://tratamientodeaguass.com/tratamiento-de-aguas-para-calderas/>.
- [3] “Arduino.” [Página web], [consultado 10 de Enero de 2021]. URL: <https://www.arduino.cc/>.
- [4] “Arduino, ARDUINO MEGA 2560.” [Página web], [consultado 10 de Enero de 2021]. URL: <https://store.arduino.cc/arduino-mega-2560-rev3>.
- [5] “Fueloil.” [Página web], [consultado 15 de diciembre de 2020]. URL: <https://es.wikipedia.org/wiki/Fueloil>.
- [6] “Combustión, Quemadores, Controles Y Sistemas de Seguridad de Llama. Proceso Básico De Combustión.” [Página web], [consultado 16 de diciembre de 2020]. URL: [http://recursosbiblio.url.edu.gt/publicjlg/biblio\\_sin\\_paredes/fac\\_ing/Manu\\_cald/cap/11.pdf](http://recursosbiblio.url.edu.gt/publicjlg/biblio_sin_paredes/fac_ing/Manu_cald/cap/11.pdf).
- [7] “Tablas de pesos atomico.” [Página web], [consultado 28 de diciembre de 2020]. URL: [https://www.mapa.gob.es/ministerio/pags/biblioteca/fondo/pdf/46691\\_16.pdf](https://www.mapa.gob.es/ministerio/pags/biblioteca/fondo/pdf/46691_16.pdf).
- [8] AMELL-ARRIETA, A.; AGUDELO, J. R.; CORTÉS, J., “Verificación experimental del efecto de la altitud sobre la potencia térmica de un quemador atmosférico”. *Revista Facultad de Ingeniería Universidad de Antioquia*, (25), 2002: 26–35.
- [9] AÑORBE DÍAZ, B., *Fundamentos químicos aplicados al buque*. Polígono Industrial Costa Sur 38009 Santa Cruz de Tenerife: GRAFIEPRESS, S.L., Octubre 2011.
- [10] BAHAMONDES, P. A., “Descripción de calderas y generadores de vapor”. 2006.
- [11] BERMÚDEZ VÁSQUEZ, E. A.; *et al.*, “Eficiencia energética de la caldera pirotubular con máquinas de 250 BHP de un laboratorio farmacéutico”. 2005.
- [12] BRAGADO, N.; TAPIA, D.; SUTIL, J., “Estimando la Conducción Térmica en Sólidos”.
- [13] ÇENGEL, Y. A.; GHAJAR, A. J., *Transferencia de calor y masa: fundamentos y aplicaciones, cuarta edición*. McGraw-Hill Interamericana, 2011.
- [14] GLASSMAN, I.; YETTER, R. A.; GLUMAC, N. G., *Combustion*. Academic press, 2014.
- [15] GOLDSTEIN, H. L.; SIEGMUND, C. W., “Influence of heavy fuel oil composition and boiler combustion conditions on particulate emissions”. *Environmental science & technology*, 10(12), 1976: 1109–1114.

- [16] HERRADOR, R. E., “Guía de usuario de Arduino”. *Universidad de Córdoba*, 13, 2009.
- [17] HOLMAN, J. P.; VALENZUELA, R., *Transferencia de calor*. 660.28427 H65 1986., McGraw-Hill São Paulo, 1998.
- [18] KNÖRIG, A.; WETTACH, R.; COHEN, J., “Fritzing: a tool for advancing electronic prototyping for designers”. En: *Proceedings of the 3rd International Conference on Tangible and Embedded Interaction*, 2009, pp. 351–358.
- [19] LAW, C. K.; MAKINO, A.; LU, T., “On the off-stoichiometric peaking of adiabatic flame temperature”. *Combustion and Flame*, 145(4), 2006: 808–819.
- [20] ÁLVARO LUIS LUIS, “Algoritmo para la simulación de la transferencia de energía y determinación de la presión y temperatura del vapor en una caldera de vapor saturado orientado a su ejecución en un hardware libre.” 2017. URL: <http://riull.ull.es/xmlui/handle/915/6856>.
- [21] MARTÍNEZ, M. M., *Combustión y quemadores*. 1, Marcombo, 2005.
- [22] MILLS, A. F.; RÉGULES, S., *Transferencia de calor*, vol. 542. Irwin México, 1995.
- [23] PALOMO CANO, M., “Aislantes TÉrmicos, Criterios De Selección Por Requisitos EnergÉticos”. Escuela Técnica Superior de Madrid. Universidad Politécnica de Madrid.
- [24] PEDRERA, A. C., *Arduino para Principiantes: 2<sup>a</sup> Edición*. IT Campus Academy, 2017.
- [25] RIVERA, A. D. P. F.; *et al.*, “Modelo matemático de una cámara de combustión de una caldera pirotubular utilizando la herramienta matlab-simulink”. *Matéria (Rio de Janeiro)*, 25, 2020.
- [26] RIVERO RODRÍGUEZ, P., “Optimización de la combustión.” 2016. Dpto. de Ingeniería Marítima. Universidad de La Laguna.
- [27] RODRÍGUEZ, M. L.; MOYA, D. V.; MONZÓN, J. M., “Funcionamiento y pérdidas en calderas pirotubulares, estudios de casos”. *Cuba: Universo Sur*., 2015.
- [28] SCHMIDT, P. F., *Fuel oil manual*. Industrial Press Inc., 1985.
- [29] TORRES GÓMEZ, J. L., “Estudio energético para el re dimensionamiento de una caldera de vapor”. 2015.
- [30] VILTE, M. D. S.; DE PAUL, I., “Transferencia térmica por convección natural en un recinto cerrado en condiciones de equilibrio térmico y dinámico”. *Avances en Energías Renovables y Medio Ambiente*, 4, 2000.

## **Anexos**





# A Tablas de datos

## A.1 Tabla de datos de la gráfica temperatura de agua y calor perdido

T <sup>a</sup> agua	Perdida térmica en (kW)
40	457
45	609
50	761
55	913
60	1065
65	1218
70	1370
75	1522
80	1674
85	1826
90	1979
95	2131
100	2283
105	2435
110	2588
115	2740
120	2892
125	3044
130	3196
135	3349
140	3501
145	3653
150	3805
155	3957
160	4110
165	4262
170	4414
175	4566
180	4718
185	4871
190	5023
195	5175
200	5327
205	5479

**Tabla A.1:** Tabla de datos gráfica temperatura de agua y calor perdido

## A.2 Tabla de datos de la gráfica temperatura del hogar y exceso de aire

% Exceso de aire	Temperatura del hogar (°C)
1	884,77
2	878,56
3	872,44
4	866,4
5	860,46
10	831,97
15	805,39
20	780,53
25	757,24
30	735,37
35	714,8
40	695,41

**Tabla A.2:** Tabla de datos gráfica temperatura del hogar y exceso de aire

## A.3 Tabla de datos de la gráfica temperatura de escape y carga del quemador

Carga	Temperatura de escape (°C)
23	229
25	245
30	260
35	274
40	290
45	300
50	310
55	322
60	333
65	345
70	351
75	360
80	366
85	372
90	380
95	388
100	393

**Tabla A.3:** Tabla de datos gráfica temperatura de escape y carga del quemador



# B Código fuente del simulador

## B.1 Código fuente

```
1 #include <math.h>
2 #include <Wire.h>
3 #include <LiquidCrystal_I2C.h>
4 #include <PinChangeInterrupt.h>
5 #include "PhysicalProperties.h"
6 #include "BoilerConstants.h"
7 #include "BoilerControlVariables.h"
8
9 //PWM interrupt control variables
10 const byte channel_pin[] = {6, 7}; // feedwater, burner
11 volatile unsigned long rising_start[] = {0,0}; // feedwater, burner
12 volatile long channel_length[] = {0,0}; //feedwater, burner
13
14 //I2C address and size of LCD display
15 LiquidCrystal_I2C lcd(0x3F, 20, 4);
16
17 /*
18 -----
20 MAIN ARDUINO FUNCTIONS
21 -----
22 */
23
24 void setup() {
25     //Initialises LCD
26     lcd.init();
27
28     //Welcome message
29     lcd.backlight();
30     lcd.setCursor(5, 1);
31     lcd.print("Open Boiler");
32     lcd.setCursor(5, 2);
33     lcd.print("Ver. 0.3");
34     delay(1500);
35
36     //Initialises digital PINS
37     pinMode(LedBurnerOn, OUTPUT);
38     pinMode(LedLowLevel, OUTPUT);
39     pinMode(LedRightLevel, OUTPUT);
40     pinMode(LedHighPressure, OUTPUT);
41     pinMode(LedPressureOk, OUTPUT);
42     pinMode(LedBoilerAlarm, OUTPUT);
43     pinMode(LedBoilerNormal, OUTPUT);
44     pinMode(InputReset, INPUT);
45     pinMode(Display_1, OUTPUT);
46     pinMode(Display_2, OUTPUT);
47     pinMode(InputAutoManual, INPUT);
```

```
48     pinMode(OutLevel, OUTPUT);
49
50     // Initialises PWM PINS
51     pinMode(channel_pin[0], INPUT);
52     pinMode(channel_pin[1], INPUT);
53
54     //Initialises serial communications
55     Serial.begin (9600);
56
57     //Interruption management of PWM signal
58     attachPinChangeInterrupt(digitalPinToPinChangeInterrupt(
59         channel_pin[0]), onRising0, CHANGE);
60     attachPinChangeInterrupt(digitalPinToPinChangeInterrupt(
61         channel_pin[1]), onRising1, CHANGE);
62
63     //Screen clear
64     lcd.clear();
65 }
66
67 void loop() {
68
69     //Stores loop start time
70     t_init = millis();
71
72     //Reads water volume at start time
73     v_init = WaterVolume;
74
75     //Reads digital inputs
76     readDigitalPorts();
77
78     //Calculates water and steam thermodynamic properties at
79     //actual pressure
80     calculateThermodynamicVariables();
81
82     //Calculates water level in boiler
83     calculateLevel();
84
85     //Calculates boiler pressure increase caused by pumping
86     //water
87     deltaVolumePressureVariation();
88
89     //Rests blockages after pressing reset button
90     controlReset();
91
92     //Controls burner
93     burnerControl();
94
95     //Calculates heat transfer to water
96     calculatePower();
97
98     //Calculates Boiler efficiency according to efficiency curve
99     calculateBoilerEfficiency();
100
101    //Calculates boiler furnace temperature according to air
102    //excess
103    calculateFurnaceTemperature();
104
105    //Calculates heat exchange surface
106    exchangeSurface();
107
108    //Calculates heat transfer to water
109    calculateThermalLosses();
110
111    //Calculates heat transfer to water
112    calculateThermalLosses();
113
114    //Calculates heat transfer to water
115    calculateThermalLosses();
116
117    //Calculates heat transfer to water
118    calculateThermalLosses();
119
120    //Calculates heat transfer to water
121    calculateThermalLosses();
122
123    //Calculates heat transfer to water
124    calculateThermalLosses();
125
126    //Calculates heat transfer to water
127    calculateThermalLosses();
128
129    //Calculates heat transfer to water
130    calculateThermalLosses();
131
132    //Calculates heat transfer to water
133    calculateThermalLosses();
134
135    //Calculates heat transfer to water
136    calculateThermalLosses();
137
138    //Calculates heat transfer to water
139    calculateThermalLosses();
140
141    //Calculates heat transfer to water
142    calculateThermalLosses();
143
144    //Calculates heat transfer to water
145    calculateThermalLosses();
146
147    //Calculates heat transfer to water
148    calculateThermalLosses();
149
150    //Calculates heat transfer to water
151    calculateThermalLosses();
152
153    //Calculates heat transfer to water
154    calculateThermalLosses();
155
156    //Calculates heat transfer to water
157    calculateThermalLosses();
158
159    //Calculates heat transfer to water
160    calculateThermalLosses();
161
162    //Calculates heat transfer to water
163    calculateThermalLosses();
164
165    //Calculates heat transfer to water
166    calculateThermalLosses();
167
168    //Calculates heat transfer to water
169    calculateThermalLosses();
170
171    //Calculates heat transfer to water
172    calculateThermalLosses();
173
174    //Calculates heat transfer to water
175    calculateThermalLosses();
176
177    //Calculates heat transfer to water
178    calculateThermalLosses();
179
180    //Calculates heat transfer to water
181    calculateThermalLosses();
182
183    //Calculates heat transfer to water
184    calculateThermalLosses();
185
186    //Calculates heat transfer to water
187    calculateThermalLosses();
188
189    //Calculates heat transfer to water
190    calculateThermalLosses();
191
192    //Calculates heat transfer to water
193    calculateThermalLosses();
194
195    //Calculates heat transfer to water
196    calculateThermalLosses();
197
198    //Calculates heat transfer to water
199    calculateThermalLosses();
200
201    //Calculates heat transfer to water
202    calculateThermalLosses();
203
204    //Calculates heat transfer to water
205    calculateThermalLosses();
206
207    //Calculates heat transfer to water
208    calculateThermalLosses();
209
210    //Calculates heat transfer to water
211    calculateThermalLosses();
212
213    //Calculates heat transfer to water
214    calculateThermalLosses();
215
216    //Calculates heat transfer to water
217    calculateThermalLosses();
218
219    //Calculates heat transfer to water
220    calculateThermalLosses();
221
222    //Calculates heat transfer to water
223    calculateThermalLosses();
224
225    //Calculates heat transfer to water
226    calculateThermalLosses();
227
228    //Calculates heat transfer to water
229    calculateThermalLosses();
230
231    //Calculates heat transfer to water
232    calculateThermalLosses();
233
234    //Calculates heat transfer to water
235    calculateThermalLosses();
236
237    //Calculates heat transfer to water
238    calculateThermalLosses();
239
240    //Calculates heat transfer to water
241    calculateThermalLosses();
242
243    //Calculates heat transfer to water
244    calculateThermalLosses();
245
246    //Calculates heat transfer to water
247    calculateThermalLosses();
248
249    //Calculates heat transfer to water
250    calculateThermalLosses();
251
252    //Calculates heat transfer to water
253    calculateThermalLosses();
254
255    //Calculates heat transfer to water
256    calculateThermalLosses();
257
258    //Calculates heat transfer to water
259    calculateThermalLosses();
260
261    //Calculates heat transfer to water
262    calculateThermalLosses();
263
264    //Calculates heat transfer to water
265    calculateThermalLosses();
266
267    //Calculates heat transfer to water
268    calculateThermalLosses();
269
270    //Calculates heat transfer to water
271    calculateThermalLosses();
272
273    //Calculates heat transfer to water
274    calculateThermalLosses();
275
276    //Calculates heat transfer to water
277    calculateThermalLosses();
278
279    //Calculates heat transfer to water
280    calculateThermalLosses();
281
282    //Calculates heat transfer to water
283    calculateThermalLosses();
284
285    //Calculates heat transfer to water
286    calculateThermalLosses();
287
288    //Calculates heat transfer to water
289    calculateThermalLosses();
290
291    //Calculates heat transfer to water
292    calculateThermalLosses();
293
294    //Calculates heat transfer to water
295    calculateThermalLosses();
296
297    //Calculates heat transfer to water
298    calculateThermalLosses();
299
299 }
```

```
106 //Calculates the amount of steam generated  
107 steamGeneration();  
108  
109 //Calculates steam flow when main valve is open  
110 calculateSteamFlow();  
111  
112 //Calculates boiler pressure caused by steam  
113 calculateSteamPressure();  
114  
115 //Blocks boiler in case of too low/high water level, or too  
116 //high pressure  
117 blockageControl();  
118  
119 //Calculates Exhaust gas temperature  
120 calculateExhaustTemperature();  
121  
122 //Writes information on LCD  
123 LCDSelect();  
124  
125 //Writes parameters to digital ports for both human-machine  
126 //interface and an external control  
127 writeDigitalPorts();  
128  
129 //Calculates water volumen difference at loop end  
130 v_delta = WaterVolume - v_init;  
131  
132 //Calculates loop elapsed time  
133 t_delta = millis() - t_init;  
134  
135 //Serial Print for output values  
-----  
136 Serial.print("\t");  
137 Serial.print("Net energy: ");  
138 Serial.print(NetEnergy);  
139 Serial.print("\t");  
140 Serial.print("Steam Mass: ");  
141 Serial.print(SteamMass);  
142 Serial.print("\t");  
143 Serial.print("Power Transferred: ");  
144 Serial.print(PowerTransferred);  
145 Serial.print("\t");  
146 Serial.print("Lose Power: ");  
147 Serial.print(LosePower);  
148 Serial.print("\t");  
149 Serial.print("Water Temperature: ");  
150 Serial.print(WaterTemperature);  
151 Serial.print("\t");  
152 Serial.print("Heat Energy: ");  
153 Serial.print(HeatEnergy);  
154 Serial.print("\n");  
155  
156 /*  
-----  
157 AUXILIAR CONTROL FUNCTIONS  
-----  
158 */  
159  
160 //=====> Reads control command inputs from PWM or manual  
161 //potentiometers */
```

```

164     void readDigitalPorts() {
165         int PWMControlBurner, PWMControlLevel;
166
167         FlagAutoManual = digitalRead(InputAutoManual);
168
169         if(FlagAutoManual == digitalRead(InputAutoManual)) {
170             /* ==> ÄjÄj Pending conversion of PWM HIGH signals
171                into controlvalues!*/
172             //Burner PWM command signal (auto command from
173             //external controller)
174             PWMControlBurner = channel_length[1];
175             FlagBurner = HIGH; //Flag is HIGH on auto control
176
177             /* ==> ÄjÄj Pending conversion of PWM HIGH signals
178                into controlvalues!*/
179             //Water valve PWM command signal (auto command from
180             //external controller)
181             PWMControlLevel = channel_length[0];
182             FlagWater = HIGH; //Flag is HIGH on auto control
183         } else {
184             FlagBurner = LOW; //Flag is LOW on manual control
185             FlagWater = LOW; //Flag is LOW on manual control
186             //Manual burner command signal 0-100%
187             ControlBurner = 100.0/1024 * float(analogRead(
188                 InputBurnerManual));
189             //Manual water valve command signal 0-90 degrees
190             ControlLevel = 90.0/1024.0 * float(analogRead(
191                 InputWaterManual));
192         }
193
194         //Main steam valve command signal
195         MainValve = analogRead(InputMainValve);
196         //Minimum command value to open main steam valve
197         if(MainValve<10) MainValve = 0;
198         //Translates main steam valve command signal to aperture
199         //percentage
200         Valve = float(MainValve) * 100 / 1023;
201
202     }
203
204     /*====> Writes data on LCD panel */
205     //LCD Select
206     void LCDSelect(){
207         Value1 = digitalRead(Display_1); //lectura digital de pin
208         Value2 = digitalRead(Display_2); //lectura digital de pin
209         if (Value1 == HIGH) {
210             writeLCD();
211         }
212         else if (Value2 == HIGH){
213             writeLCD2();
214         }else {writeLCD3();}
215
216     }
217     void writeLCD() {
218         //Prints burner power %
219         if (FlagBurner) { //FlagBurner is HIGH on auto control
220             lcd.setCursor(0, 0);
221             lcd.print("B ");
222             if (Burner < 9.95) lcd.print(" ");
223             else if (Burner < 100.0) lcd.print(" ");
224             lcd.print(Burner, 1);
225         } else { //FlagBurner is LOW on manual control
226             lcd.setCursor(0, 0);
227         }
228     }
229 
```

```
220         lcd.print("B*");
221         if (Burner < 9.95) lcd.print("  ");
222         else if (Burner < 99.95) lcd.print("  ");
223         lcd.print(Burner, 1);
224     }
225
226     //Prints feedwater aperture in %
227     if (FlagWater) { //FlagWater is HIGH on auto control
228         lcd.setCursor(0, 1);
229         lcd.print("W ");
230         if (ButterflyValve < 9.95) lcd.print("  ");
231         lcd.print(ButterflyValve, 1);
232         lcd.print((char)223);
233     } else { //FlagWater is LOW on auto control
234         lcd.setCursor(0, 1);
235         lcd.print("W*");
236         if (ButterflyValve < 9.95) lcd.print("  ");
237         lcd.print(ButterflyValve, 1);
238         lcd.print((char)223);
239     }
240
241     //Prints main steam valve aperture in %
242     lcd.setCursor(0, 2);
243     lcd.print("MV");
244     if (Valve < 9.95) lcd.print("  ");
245     else if (Valve < 100.0) lcd.print("  ");
246     lcd.print(Valve, 1);
247
248     //Prints feedwater volumetric flow
249     lcd.setCursor(8, 0);
250     lcd.print("F");
251     if (WaterInletFlow < 9.95) lcd.print("  ");
252     lcd.print(WaterInletFlow, 1);
253
254     //Prints total water volumen
255     lcd.setCursor(8, 1);
256     lcd.print("V");
257     if (WaterVolume < 9.95) lcd.print("  ");
258     lcd.print(WaterVolume, 1);
259
260     //Prints total water level from bottom
261     lcd.setCursor(8, 2);
262     lcd.print("L");
263     if (WaterLevel < 9.95) lcd.print("  ");
264     lcd.print(WaterLevel, 1);
265
266     //Prints level indicator sensor signal
267     lcd.setCursor(0, 3);
268     lcd.print("WL");
269     if (WaterLevelIndicator > -9.5 && WaterLevelIndicator < 0.0)
270         lcd.print("  ");
271     if (WaterLevelIndicator >= 0.0 && WaterLevelIndicator < 9.5)
272         lcd.print("  ");
273     if (WaterLevelIndicator >= 9.5) lcd.print("  ");
274     lcd.print(WaterLevelIndicator, 0);
275     lcd.print("mm");
276
277     //Prints boiler pressure
278     lcd.setCursor(8, 3);
279     lcd.print("P");
280     if (SteamPressure < 9.95) lcd.print("  ");
281     lcd.print(SteamPressure, 1);
```

```
281 //Prints boiler water temperature
282 lcd.setCursor(14,0);
283 lcd.print("T");
284 if (WaterTemperature < 9.95) lcd.print("    ");
285 if (WaterTemperature >= 9.95 && WaterTemperature <= 99.5)
286     lcd.print("    ");
287 lcd.print(WaterTemperature, 1);

288 //Prints mass steam flow in kg/h
289 lcd.setCursor(14,1);
290 lcd.print("F");
291 if (SteamFlow*3600 < 9.95) lcd.print("    ");
292 if (SteamFlow*3600 >= 9.95 && SteamFlow*3600 < 99.5) lcd.
293     print("    ");
294 if (SteamFlow*3600 >= 99.5 && SteamFlow*3600 < 999.5) lcd.
295     print("    ");
296 if (SteamFlow*3600 > 999.5 && SteamFlow*3600 < 9999.5) lcd.
297     print("    ");
298 lcd.print(SteamFlow*3600,0);

299 //Auto/Manual display
300 if(FlagAutoManual) {
301     lcd.setCursor(14, 2);
302     lcd.print(" AUTO");
303 } else {
304     lcd.setCursor(14, 2);
305     lcd.print("ALARM");
306 }
307
308 //Prints ALARM or NORMAL signal
309 if (Alarm) {
310     lcd.setCursor(14, 3);
311     lcd.print("MANUAL");
312 } else {
313     lcd.setCursor(14, 3);
314     lcd.print("NORMAL");
315 }
316
317 //Blank spaces
318 lcd.setCursor(7, 0);
319 lcd.print(" ");
320 lcd.setCursor(7, 1);
321 lcd.print(" ");
322 lcd.setCursor(7, 2);
323 lcd.print(" ");
324 lcd.setCursor(7, 3);
325 lcd.print(" ");
326 lcd.setCursor(13, 0);
327 lcd.print(" ");
328 lcd.setCursor(13, 1);
329 lcd.print(" ");
330 lcd.setCursor(13, 2);
331 lcd.print(" ");
332 lcd.setCursor(13, 3);
333 lcd.print(" ");
334
335 void writeLCD2() {
336
337     //Prints mass steam flow in kg/h
338     lcd.setCursor(0,0);
339     lcd.print("FT");
340     if (FurnaceTemp < 9.95) lcd.print("    ");
341     if (FurnaceTemp >= 9.95 && FurnaceTemp < 99.5) lcd.print("    ");
342 }
```

```
339     if (FurnaceTemp >= 99.5 && FurnaceTemp < 999.5) lcd.print("
340         ");
341     if (FurnaceTemp > 999.5 && FurnaceTemp < 9999.5) lcd.print("
342         ");
343     lcd.print(FurnaceTemp,0);
344
345     //Prints burner power %
346     if (FlagBurner) { //FlagBurner is HIGH on auto control
347         lcd.setCursor(0, 1);
348         lcd.print("B ");
349         if (Burner < 9.95) lcd.print("   ");
350         else if (Burner < 100.0) lcd.print("   ");
351         lcd.print(Burner, 1);
352     } else { //FlagBurner is LOW on manual control
353         lcd.setCursor(0, 1);
354         lcd.print("B*");
355         if (Burner < 9.95) lcd.print("   ");
356         else if (Burner < 99.95) lcd.print("   ");
357         lcd.print(Burner, 1);
358
359     //Prints boiler water temperature
360     lcd.setCursor(0,2);
361     lcd.print("T ");
362     if (WaterTemperature < 9.95) lcd.print("   ");
363     if (WaterTemperature >= 9.95 && WaterTemperature <= 99.5)
364         lcd.print("   ");
365     lcd.print(WaterTemperature, 1);
366
367     //Print Exhaust temperature in (°C)
368     lcd.setCursor(0,3);
369     lcd.print("ET");
370     if (FurnaceTemp < 9.95) lcd.print("   ");
371     if (FurnaceTemp >= 9.95 && FurnaceTemp < 99.5) lcd.print("
372         ");
373     if (FurnaceTemp >= 99.5 && FurnaceTemp < 999.5) lcd.print("
374         ");
375     if (FurnaceTemp > 999.5 && FurnaceTemp < 9999.5) lcd.print("
376         ");
377     lcd.print(ExhaustTemp,0);
378
379     //Prints boiler pressure
380     lcd.setCursor(8, 0);
381     lcd.print("P");
382     if (SteamPressure < 9.95) lcd.print("   ");
383     lcd.print(SteamPressure, 1);
384
385     //Prints main steam valve aperture in %
386     lcd.setCursor(8, 1);
387     lcd.print("MV");
388     if (Valve < 9.95) lcd.print("   ");
389     else if (Valve < 100.0) lcd.print("   ");
390     lcd.print(Valve, 1);
391
392     //Prints ALARM or NORMAL signal
393     if (Alarm) {
394         lcd.setCursor(8, 2);
395         lcd.print("ALARM ");
396     } else {
397         lcd.setCursor(14, 3);
398         lcd.print("NORMAL");
399     }
400 }
```

```
396
397     //Blank spaces
398     lcd.setCursor(7, 0);
399     lcd.print(" ");
400     lcd.setCursor(7, 1);
401     lcd.print(" ");
402     lcd.setCursor(7, 2);
403     lcd.print(" ");
404     lcd.setCursor(7, 3);
405     lcd.print("          ");
406
407     lcd.setCursor(13, 0);
408     lcd.print("          ");
409     lcd.setCursor(15, 1);
410     lcd.print("          ");
411     lcd.setCursor(14, 2);
412     lcd.print("          ");
413     //lcd.setCursor(13, 3);
414     //lcd.print(" ");
415
416 }
417 void writeLCD3() {
418
419     // Alarm Display
420     //if(LedBoilerAlarm == LOW){
421         if(PowerTransferred>0){
422             lcd.setCursor(12, 0);
423             lcd.print("Brn. ON ");
424         }else {
425             lcd.setCursor(12, 0);
426             lcd.print("Brn. OFF");
427         }
428         lcd.setCursor(0, 0);
429         lcd.print("ALARMS-LIST ");
430         if (WaterLevelIndicator<-20){
431             lcd.setCursor(0, 1);
432             lcd.print("Low Water Level      ");
433         }else if (WaterLevelIndicator>20){
434             lcd.setCursor(0, 1);
435             lcd.print("High Water Level      ");
436         }else {
437             lcd.setCursor(0, 1);
438             lcd.print("Normal Water Level   ");
439         }
440         if (SteamPressure>20){
441             lcd.setCursor(0, 2);
442             lcd.print("Boiler High Pressure");
443         }else if (SteamPressure<20&&SteamPressure>12){
444             lcd.setCursor(0, 2);
445             lcd.print("Normal Pressure      ");
446         } else {
447             lcd.setCursor(0, 2);
448             lcd.print("Low Pressure          ");
449         }
450         if ((SteamPressure<20&&SteamPressure>12)&&(WaterLevelIndicator<20&&WaterLevelIndicator>-20)){
451             lcd.setCursor(0, 3);
452             lcd.print("Boiler Normal Work   ");
453         }else {
454             lcd.setCursor(0, 3);
455             lcd.print("Boiler Out of Param. ");
456         }
457 }
```

```

457
458     /*====> Calculates steam flow for steam pressure,
459     internal diameter and equivalent length of steam pipe */
460     void calculateSteamFlow(){
461         /*The function uses two nested loops to solve the White-
462         Colebrook equation
463         and then equalize head losses with the difference of
464         pressure*/
465         double f = 0.008, R = 1000.0, a = 0.0, b = 0.0, SteamVolFlow
466             = 0.0, hf = 0.0;
467
468         do { // External loop iterates Reynolds data with Darcy-
469             Weisbach equation
470
471             do { // Inner loop calculates factor f with White-
472                 Colebrook equation
473                 a = 1/sqrt(f);
474                 b = 2 * log10(R * sqrt (f)) - 0.8;
475                 f+= 0.001;
476             } while (a-b > 0.00001);
477
478             // Calculates initial volumetric flow with
479             // continuity equation
480             SteamVolFlow = 3.14159 * R * viscosity_steam * Di
481                 /1000 / 4 / density_steam;
482             // Calculates head losses with Darcy Weisbach
483             hf = f * LE / pow(Di/1000,5) * 8 * pow(SteamVolFlow
484                 ,2) / 9.8696 / 9.81;
485             // Reynolds is increased logarithmically for next
486             // iteration
487             R = pow(10,log10(R)+0.15);
488
489         } while (SteamPressure - hf/10.2 > 0.5);
490
491         // Final mass steam flow is calculated with Darcy-Weisbach
492         // equation
493         SteamFlow = Valve / 100 * density_steam * sqrt(
494             SteamPressure * 10.2 * 9.8696 * pow(Di/1000,5) * 9.81 /
495             f / LE / 8);
496
497         // Steam mass is decreased taking into account SteamFlow and
498         // time elapsed at the end of each loop
499         SteamMass -= SteamFlow * t_delta/1000;
500         // To avoid errors in other functions, SteamMass under 0.5
501         // is not considered
502         if(SteamMass < 0.5) SteamMass = 0.0;
503     }
504
505     /*====> Calculates steam pressure by using Van der Waals equation */
506     void calculateSteamPressure() {
507         float mol = 0.0;
508
509         // Volume of steam camera
510         SteamVolume = v[32] - WaterVolume;
511         // Mass to steam mol conversion
512         mol = SteamMass *55.55;
513
514         //Steam pressure calculated with Van der Waals equation
515         SteamPressure = (mol * R * (WaterTemperature+273.15) / (
516             SteamVolume - mol*b)
517             - a * pow(mol,2) / pow(SteamVolume,2)) /100000;
518     }

```



```

557     }
558
559     /*====> Calculates feedwater flow */
560     float WaterFlow(double Pressure, double ValvePosition) {
561         float instantValve = ValvePosition;
562
563         // Simulates a servo action of feedwater valve with an
564         // exponential response
565         if (abs(instantValve - ButterflyValve) < 0.05) {
566             timeButterflyValve = 0;
567         } else timeButterflyValve = timeButterflyValve + t_delta;
568         ButterflyValve = instantValve -
569         (instantValve - ButterflyValve) *
570         exp(-1 / K_ButterflyValve * timeButterflyValve);
571
572         // Total head steam is steam pressure (bar)
573         double H_steam = SteamPressure;
574
575         // Equalizes Backpressure and pump-pressure by iterating the
576         // intersection
577         // between pump's and system's H-Q curves. A first range
578         // between SteamPressure
579         // and max pump pressure is used.
580         double HeadLow = H_steam;
581         double HeadHigh = FeedWaterMaxPressure; //bar
582         double HeadMiddle = (HeadHigh - HeadLow) / 2;
583         double DeltaFlow_d = 0.0;
584         float Flow = 0.0;
585
586         // The first range is iterated and reduced by using the sign
587         // -change method until
588         // the calculated flow difference is less than 0.05.
589         do {
590             DeltaFlow_d = DeltaFlow(HeadMiddle, H_steam); //Uses
591             DeltaFlow() to find the difference
592             if (DeltaFlow_d > 0) HeadLow = HeadMiddle;
593             if (DeltaFlow_d < 0) HeadHigh = HeadMiddle;
594             HeadMiddle = HeadLow + (HeadHigh - HeadLow) / 2;
595         } while (abs(DeltaFlow_d) > 0.05);
596
597         //Calculates volumetric feedwater flow
598         Flow = -0.0000167886871355758 * pow(HeadMiddle, 5) +
599             0.0010251972 * pow(HeadMiddle, 4) - 0.0223995353 * pow(
600                 HeadMiddle, 3) +
601                 0.192711983 * pow(HeadMiddle, 2) - 1.0778854747 * HeadMiddle
602                 + 33.152;
603         if (Flow < 0.5) Flow = 0.0; //If flow is very low, 0 is
604         assigned to ensure valve closing.
605
606         return float(Flow);
607     }
608
609     /*====> Calculates feed water flow difference for butterfly valve
610     and pump H-Q curves */
611     double DeltaFlow(float HeadPump, float H_steam) { //HeadPump &
612         H_steam in bar
613         // Calculates the headloss constant K for butterfly
614         // feedwater valve
615         float K = 0.1561 * exp(0.1095 * (90 - ButterflyValve));
616
617         double Flow_v = 0.0, Flow_p = 0.0, Delta_F = 0.0;
618
619         if (ButterflyValve == 0.0) {

```

```

609             Flow_v = 0;
610         } else if ((HeadPump - H_steam) > 0.0) { //Ensures
611             difference is positive to avoid errors in reset
612             // Calculates flow with butterfly valve H-Q curve
613             Flow_v = 3.14159 / 4 * pow(PipeDiameter, 2) * sqrt(
614                 HeadPump - H_steam)) * 2 * 9.81 / K * 3600;
615         } else Flow_v = 0.0;
616
617         // Calculates flow for pump H-Q curve
618         Flow_p = -0.0000167886871355758 * pow(HeadPump, 5) +
619             0.0010251972 * pow(HeadPump, 4) - 0.0223995353 *
620             pow(HeadPump, 3) + 0.192711983 * HeadPump * HeadPump -
621             1.0778854747 * HeadPump + 33.152;
622
623         return Flow_p - Flow_v;
624     }
625
626     /*==> Calculates water height in boiler by interpolating data in a
627     lookup table (LUT) */
628     float FindWaterLevel(float Volume) {
629         int i = 0;
630
631         // LUT defines levels in m a loop is used to find a range
632         // volume for
633         // actual volume of water in boiler.
634         if (Volume) { // Loop is only started if Volume > 0
635             for (i = 0; i < 33; i++) {
636                 if ((v[i] < Volume) && (v[i + 1] > Volume))
637                     break;
638             }
639
640             // Uses a linear interpolation to estimate water
641             // height
642             if (i > 32) return h[32];
643             else {
644                 return interpolate(Volume, h[i], h[i + 1], v
645                             [i], v[i + 1]);
646             }
647         } else return 0.0;
648     }
649
650     /*==> Controls burner status and simulates a purging cycle */
651     void burnerControl() {
652         if (!Alarm && FlagBurnerON != 3 && ControlBurner > 0 && !
653             digitalRead(InputReset)) {
654             if (t_burnerStart < 1000 * burnerStartupTime) { ////
655                 Simulates purging
656                 FlagBurnerON = 1;
657                 t_burnerStart = t_burnerStart + t_delta;
658             } else { // Starts burner after purge
659                 FlagPurgeStart = 3;
660                 t_burnerStart = 0;
661             }
662         }
663
664         // If alarm raises or power reaches minimum position, burner
665         // stops
666         if (Alarm || ControlBurner < burnerMinimum) {
667             FlagBurnerON = 0; // Resets burner flag
668             t_burnerStart = 0; // Resets purging time
669             FlagPurgeStart = 0; // Resets purging flag
670         }
671     }

```

```

661
662     /*====> Calculates power transferred to water and thermal losses */
663     void calculatePower() {
664         float instantBurner;
665         int K; // Multiplier of time constant to simulate delay of
666             // burner servo-actuator
667
668         // Moves burner control to 0% when purge process is
669             // activated
670         if (FlagBurnerON == 1) {
671             if (FlagPurgeStart == 0) {
672                 instantBurner = 0.0;
673                 K = 1; // Slower
674                 // Purge process is only started if burner
675                     // control is at minimum
676                 if (Burner < 0.05) FlagPurgeStart = 1;
677             }
678             // Moves burner control to 100% to start purge
679             if (FlagPurgeStart == 1) {
680                 instantBurner = 100.0;
681                 K = 4; // Faster
682             }
683             // Burner control moves to minimum power to start
684                 // burner
685             if (FlagPurgeStart == 3) {
686                 instantBurner = burnerMinimum;
687                 K = 1; // Slower
688                 // Purge sequence is finished when burner is
689                     // started
690                 if (abs(Burner - burnerMinimum) < 0.05) {
691                     FlagBurnerON = 2;
692                 }
693             }
694
695             if (FlagBurnerON == 2) { // Controls ignition timing
696                 K = 1; // Slower
697                 t_burnerIgnition = t_burnerIgnition + t_delta;
698                 // Control is back to user when ignition time ends
699                 if (t_burnerIgnition >= tBurnerIgnition * 1000) {
700                     FlagBurnerON = 3;
701                     t_burnerIgnition = 0;
702                 }
703             }
704
705             // Transfers burner control to potentiometer or external
706             // controller when burner is ignited
707             if (FlagBurnerON == 3) {
708                 instantBurner = ControlBurner;
709                 K = 1; // Slower
710             }
711
712             // Transfers burner control to potentiometer or external
713             // controller when burner off
714             if (FlagBurnerON == 0) {
715                 instantBurner = ControlBurner;
716                 K = 1; // Slower
717             }
718
719             // Simulates a servo delay of burner position by following
720                 // an
721             // exponential behaviour when difference between command and
722                 // real position is more than 0.05%

```

```

718     if (abs((instantBurner - Burner)) < 0.05) {
719         timeBurner = 0;
720     } else timeBurner = timeBurner + t_delta;
721     Burner = instantBurner - (instantBurner - Burner) * (exp(-1
722         / (K * K_Burner) * timeBurner));
723
724     // Calculates power transferred if burner is ignited
725     // This version does not apply an efficiency curve
726     if (FlagBurnerON >= 2) {
727         etaBurner = Burner;
728     } else etaBurner = 0.0;
729     // Thermal losses are not calculated in this version
730     PowerTransferred = Efficiency/100 * PMax;
731 }
732
733
734 /*====> Calculates thermal losses in insulation */
735 void calculateThermalLosses(){
736     /*====> Calculates thermal loses */
737     // pi number pow 2
738     pi2 = pow(pi, 2);
739     //cylinder area
740     BoilerCylindricalSurface = 2*pi*internalBoilerWRad*
741         BoilerLength;
742     //cover circumference area
743     BoilerCoverSurface= pi*pow(CoverRadius ,2);
744     //boiler cylinder area
745     BoilerExternalCylindricalrSurface= 2*pi*externalBoilerRad*
746         BoilerLength;
747     //boiler steel thickness
748     BoilerSteelThickness= externalBoilerWRad -
749         internalBoilerWRad;
750     //boiler rockwool thickness
751     BoilerIsolationThickness= externalBoilerThermalIsoRad -
752         externalBoilerWRad;
753     //boiler isolation protector (aluminium) thickness
754     BoilerIsolationProtectorThickness= externalBoilerRad -
755         externalBoilerThermalIsoRad;
756
757     //boiler body thermal resistance
758     Rtotalcyl = ((1/(K_H20*BoilerCylindricalSurface)) + ((log(
759         externalBoilerWRad/internalBoilerWRad))/(2*pi*
760         BoilerLength*SteelThermalCoefficient)) + ((log(
761         externalBoilerThermalIsoRad/externalBoilerWRad))/(2*pi*
762         BoilerLength*RockWoolThermalCoefficient)) + ((log(
763         externalBoilerRad/externalBoilerThermalIsoRad))/(2*pi*
764         BoilerLength*AluminiumlThermalCoefficient)) + (1/(K_Air*
765         BoilerExternalCylindricalrSurface)); //( $\text{A}^{\circ}\text{C}/\text{W}$ ) A1=A4=2*pi
766         *r*l
767     //lost heat boiler body insulation
768     Qperdi = (WaterTemperature-EnvironmentTemperature)/Rtotalcyl
769         ;//(W)
770     //boiler front cover thermal resistance
771     Rtotalfront = (1/(K_H20*BoilerCoverSurface)) + (
772         BoilerSteelThickness/(SteelThermalCoefficient*
773             BoilerCoverSurface)) + (BoilerIsolationThickness/(
774                 RockWoolThermalCoefficient*BoilerCoverSurface)) + (
775                 BoilerIsolationProtectorThickness/(
776                     AluminiumlThermalCoefficient*BoilerCoverSurface)) + (1/(
777                         K_Air*BoilerCoverSurface)); //( $\text{A}^{\circ}\text{C}/\text{W}$ )
778     //boiler rear cover thermal resistance is the same as the
779     // front cover

```

```

759     Rtotalrear = Rtotalfront; //( $\text{A}^{\circ}\text{C}/\text{W}$ )
760     //lost heat insulation front cover
761     Qperd2 = (WaterTemperature-EnvironmentTemperature)/
762         Rtotalfront;//(W)
763     //lost heat insulation rear cover
764     Qperd3 = Qperd2;//(W)
765     //total heat lost through insulation
766     LosePower = ((Qperd1 + Qperd2 + Qperd3)/1000); // power
767         losses. More simply Qtot = (tinf1-tinf2)/rtotal;
768     //boiler thermal resistance
769     Rboiler = Rtotalcyl + Rtotalfront + Rtotalrear; // es
770         necesario? resistencia termica
771     }
772     /*====> Calculate exchange surface */
773     void exchangeSurface(){
774         //Calculate some dimensions of the boiler
775         //Internal furnace radius
776         Internalfurnrad = FurnaceDiameter / 2;
777         //External furnace radius
778         Externalfurnrad = Internalfurnrad + MaterialThickness;
779         //Internal radius of the pipes of the second fume pass
780         IntsecSteprad = tubeDiameter / 2;
781         //External radius of the pipes of the second fume pass
782         ExtsecSteprad = IntsecSteprad + MaterialThickness;
783         //Internal radius of the pipes of the third fume pass
784         IntthiSteprad = IntsecSteprad;
785         //External radius of the pipes of the third fume pass
786         ExtthiSteprad = ExtsecSteprad;
787         //Furnace surface
788         Furnacesurface = 2 * pi * Internalfurnrad * furnaceLength;
789         //Second fume pass surface
790         secStepsurface = 2 * pi * IntsecSteprad * secStepLength;
791         //Third fume pass surface
792         thiStepsurface = 2 * pi * IntthiSteprad * thiStepLength;
793         //Total boiler exchange surface
794         ExchangeSurface = Furnacesurface + (nTubSecStep*
795             secStepsurface) + (nTubThiStep*thiStepsurface);
796     }
797     /*====> Calculate the boiler furnace temperature */
798     void calculateFurnaceTemperature(){
799         BoilerLoad = etaBurner;
800         if(BoilerLoad>0){
801             float ExcessAir = 30; //Potenciometro
802             //Calculate fuel flow
803             FuelFlow = ((PMax*(BoilerLoad/100))/LowCalVal);
804             //Calculate air excess
805             nExcess = (ExcessAir/100)+1;
806             //Reactive combustion products flow
807             MOLflowFuel = (FuelFlow/Fuel_molecWeight);
808             MOLO2stoichiometric = MOLflowFuel*((61/2)*nExcess)/
809                 nExcess;
810             MOLO2stoichiometricFlow = (MOLO2stoichiometric *(
811                 O_AtomicWeight*2)/1000);
812             //Calculate no reactive exhaust gases flow with air
813             //excess
814             O2Flow = ((MOLflowFuel*((61/2)*nExcess)*(
815                 O_AtomicWeight*2))/1000);
816             N2Flow = (((78.06/20.98)*((61/2)*nExcess))*(
817                 MOLflowFuel*(N_AtomicWeight*2)/1000));

```

```

812     CO2Flow = (((((0.04/20.98)*((61/2)*nExcess))*  

813         MOLflowFuel*(CO2_molecWeight*1000))/1000);  

814     //Calculate reactive exhaust gases flow with air  

815     //excess  

816     CO2Flowreactive = 20*MOLflowFuel*CO2_molecWeight;  

817     H2OFlowreactive = 21*MOLflowFuel*H2O_molecWeight;  

818     N2Flownonreactive = N2Flow;  

819     CO2Flownonreactive = CO2Flow;  

820     O2Flownonreactive = (((61/2)*(nExcess-1))*  

821         MOLflowFuel*((O_AtomicWeight*2))/1000);  

822     //Equation for calculate furnace temperature  

823     FurnaceTemp = (((((CO2Flowreactive*CO2SH)+(H2OFlowreactive*H2OSH))*  

824         H_FuelAdiabaticTemperature)+(((N2Flownonreactive*N2SH)+(O2Flownonreactive*O2SH)+(CO2Flownonreactive*CO2SH))*  

825         EnvironmentTemperature))/((CO2Flowreactive*CO2SH)+(H2OFlowreactive*H2OSH)+(N2Flownonreactive*N2SH)+(O2Flownonreactive*O2SH)+(CO2Flownonreactive*CO2SH)));  

826 }  

827  

828 /*====> Calculate boiler efficiency */  

829 void calculateBoilerEfficiency(){  

830     BoilerLoad = etaBurner;  

831     //calculate efficiency  

832     if(BoilerLoad > 0.194){  

833         Efficiency = 13.741*log(BoilerLoad)+22.563; //Curve  

834         Efficiency  

835     }else {Efficiency = 0;}  

836 }  

837  

838 /*====> Calculate exhaust temperature */  

839 void calculateExhaustTemperature(){  

840     //variables de funcionamiento  

841  

842     CoeffU = (0.050760); //kW/m2°C  

843     //Temperatura media logarítmica  

844     LMTreal = (PowerTransferred/(ExchangeSurface*CoeffU)); //°C  

845  

846     float LowValue = WaterTemperature; //double  

847     float HighValue = FurnaceTemp; //double  

848     ExhaustTemp = (FurnaceTemp - WaterTemperature) / 2;  

849  

850     float DeltaTemp = 0.0; //double  

851     float ValidOperation = 0;  

852     /* if (FurnaceTemp > WaterTemperature){ ValidOperation = (FurnaceTemp>WaterTemperature)&&(ExhaustTemp>FurnaceTemp);  

853     ;  

854     }else{ExhaustTemp = WaterTemperature;}*/  

855  

856     // The first range is iterated and reduced by using the sign  

857     // -change method until  

858     // the calculated difference is less than 0.05.  

859     if((FurnaceTemp>(WaterTemperature+10))&& (etaBurner>23)){  

860

```

```

860         do {
861             LMTreal = (PowerTransferred/(ExchangeSurface
862                         *CoeffU)); //°C
863             LMTiterated= (((FurnaceTemp-WaterTemperature
864                         )-(ExhaustTemp-FeedWaterTemperature))/(
865                             log((FurnaceTemp-WaterTemperature)/(
866                                 ExhaustTemp-FeedWaterTemperature))));//
867                                         °C
868
869             if (LMTiterated < LMTreal) {LowValue =
870                 ExhaustTemp;}
871             else{ HighValue = ExhaustTemp;}
872             DeltaTemp = LMTreal-LMTiterated;
873
874             ExhaustTemp = LowValue + (HighValue -
875                                         LowValue) / 2;
876
877             }while ((abs(DeltaTemp) > 0.05));
878         }else{ExhaustTemp = WaterTemperature;}
879
880     }
881
882     /*====> Calculate thermodynamic variables for actual boiler pressure
883      */
884     void calculateThermodynamicVariables(){
885         H_water_b = h_water;
886
887         // Finds minimum and maximum values to interpolate
888         int i=0;
889         for(i=0; i<67; i++) {
890             if ((Pa[i]<=SteamPressure+1) && (Pa[i+1]>
891                 SteamPressure+1)) break;
892         }
893         //Thermodynamic variables calculated from actual pressure
894         if((Pa[i]<=SteamPressure+1) && (Pa[i+1]>SteamPressure+1)) {
895             //Manometric pressure +
896             T_saturate = interpolate(SteamPressure+1,Ts[i],Ts[i
897                         +1],Pa[i],Pa[i+1]);
898             density_steam = interpolate(SteamPressure+1,dv[i],dv
899                         [i+1],Pa[i],Pa[i+1]);
900             viscosity_steam = interpolate(SteamPressure+1,vd[i],
901                         vd[i+1],Pa[i],Pa[i+1]);
902             h_water = interpolate(SteamPressure+1,Hl[i],Hl[i+1],
903                         Pa[i],Pa[i+1]);
904             h_steam = interpolate(SteamPressure+1,Hv[i],Hv[i+1],
905                         Pa[i],Pa[i+1]);
906             L_ws = interpolate(SteamPressure+1,L[i],L[i+1],Pa[i
907                         ],Pa[i+1]);
908             c_water = interpolate(SteamPressure+1,Ce[i],Ce[i+1],
909                         Pa[i],Pa[i+1]);
910         }
911
912         //Thermodynamic variables calculated from actual temperature
913         for(i=0; i<67; i++) {
914             if ((Ts[i]<=WaterTemperature) && (Ts[i+1]>
915                 WaterTemperature)) break;
916         }
917         density_liquid = interpolate(WaterTemperature,dL[i],dL[i+1],
918                         Ts[i],Ts[i+1]);

```



```

943                                     (WaterMass * c_water + FeedWaterMass
944                                         * C_FeedWater) - 273.15;
945     } else WaterTemperature =
946         FeedWaterTemperature;
947     }
948
949     // Case B: Temperature of water > Saturation temperature at
950     // actual pressure
951     if (h_water < H_water_b){
952         //Mass of steam generated
953         FlashSteam = (H_water_b-h_water) / L_ws * WaterMass;
954         SteamMassSaturation = calculateMol(WaterTemperature
955             + 273,
956             P_saturate*100000, SteamVolume, a, b, R) * 18 /
957             1000;
958         // Total steam mass cannot overcome
959         // the corresponding amount of steam at actual
960         // temperature
961         if((SteamMass + FlashSteam) < SteamMassSaturation) {
962             FlashSteam = (H_water_b-h_water) / L_ws *
963                 WaterMass + NetEnergy / L_ws;
964             SteamMass += FlashSteam; // All excess of
965                 energy produces steam
966         } else if (WaterMass){ // Maximum mass of steam is
967             generated.
968             SteamMassBefore = SteamMass;
969             SteamMass = SteamMassSaturation; //Steam
970             mass reaches max mass at saturation
971             FlashSteam = SteamMass - SteamMassBefore;
972             //Excess of energy from burner is used to
973             //heat water
974             WaterTemperature += NetEnergy/c_water/
975             WaterMass;
976         }
977
978         // Water temperature is recalculated
979         WaterTemperature = ((WaterMass - FlashSteam)*
980             c_water * (WaterTemperature + 273.15) +
981             FeedWaterMass * C_FeedWater * (FeedWaterTemperature
982                 + 273.15)) /
983             (WaterMass * c_water + FeedWaterMass * C_FeedWater)
984                 - 273.15;
985     }
986 }
987
988 /*====> Controls boiler blockage caused by too high pressure or very
989 low water level */
990 void blockageControl() {
991     if (WaterLevelIndicator < -30.0 || WaterLevelIndicator >
992         29.9 || SteamPressure > SteamMaxPressure) { // modificado
993         para simulación
994         -----
995         Alarm = HIGH;
996     }
997 }
998
999 /*====> Controls reset operation */
1000 void controlReset() {
1001     int resetValue = 0, blinkCount = 0;
1002
1003     // Tries to reset blockage when pushed shortly
1004     if (resetValue = digitalRead(InputReset)) {
1005
1006
1007
1008
1009
1010
1011
1012
1013
1014
1015
1016
1017
1018
1019
1020
1021
1022
1023
1024
1025
1026
1027
1028
1029
1030
1031
1032
1033
1034
1035
1036
1037
1038
1039
1040
1041
1042
1043
1044
1045
1046
1047
1048
1049
1050
1051
1052
1053
1054
1055
1056
1057
1058
1059
1060
1061
1062
1063
1064
1065
1066
1067
1068
1069
1070
1071
1072
1073
1074
1075
1076
1077
1078
1079
1080
1081
1082
1083
1084
1085
1086
1087
1088
1089
1090
1091
1092
1093
1094
1095
1096
1097
1098
1099
1100
1101
1102
1103
1104
1105
1106
1107
1108
1109
1110
1111
1112
1113
1114
1115
1116
1117
1118
1119
1120
1121
1122
1123
1124
1125
1126
1127
1128
1129
1130
1131
1132
1133
1134
1135
1136
1137
1138
1139
1140
1141
1142
1143
1144
1145
1146
1147
1148
1149
1150
1151
1152
1153
1154
1155
1156
1157
1158
1159
1160
1161
1162
1163
1164
1165
1166
1167
1168
1169
1170
1171
1172
1173
1174
1175
1176
1177
1178
1179
1180
1181
1182
1183
1184
1185
1186
1187
1188
1189
1190
1191
1192
1193
1194
1195
1196
1197
1198
1199
1200
1201
1202
1203
1204
1205
1206
1207
1208
1209
1210
1211
1212
1213
1214
1215
1216
1217
1218
1219
1220
1221
1222
1223
1224
1225
1226
1227
1228
1229
1230
1231
1232
1233
1234
1235
1236
1237
1238
1239
1240
1241
1242
1243
1244
1245
1246
1247
1248
1249
1250
1251
1252
1253
1254
1255
1256
1257
1258
1259
1260
1261
1262
1263
1264
1265
1266
1267
1268
1269
1270
1271
1272
1273
1274
1275
1276
1277
1278
1279
1280
1281
1282
1283
1284
1285
1286
1287
1288
1289
1290
1291
1292
1293
1294
1295
1296
1297
1298
1299
1300
1301
1302
1303
1304
1305
1306
1307
1308
1309
1310
1311
1312
1313
1314
1315
1316
1317
1318
1319
1320
1321
1322
1323
1324
1325
1326
1327
1328
1329
1330
1331
1332
1333
1334
1335
1336
1337
1338
1339
1340
1341
1342
1343
1344
1345
1346
1347
1348
1349
1350
1351
1352
1353
1354
1355
1356
1357
1358
1359
1360
1361
1362
1363
1364
1365
1366
1367
1368
1369
1370
1371
1372
1373
1374
1375
1376
1377
1378
1379
1380
1381
1382
1383
1384
1385
1386
1387
1388
1389
1390
1391
1392
1393
1394
1395
1396
1397
1398
1399
1400
1401
1402
1403
1404
1405
1406
1407
1408
1409
1410
1411
1412
1413
1414
1415
1416
1417
1418
1419
1420
1421
1422
1423
1424
1425
1426
1427
1428
1429
1430
1431
1432
1433
1434
1435
1436
1437
1438
1439
1440
1441
1442
1443
1444
1445
1446
1447
1448
1449
1450
1451
1452
1453
1454
1455
1456
1457
1458
1459
1460
1461
1462
1463
1464
1465
1466
1467
1468
1469
1470
1471
1472
1473
1474
1475
1476
1477
1478
1479
1480
1481
1482
1483
1484
1485
1486
1487
1488
1489
1490
1491
1492
1493
1494
1495
1496
1497
1498
1499
1500
1501
1502
1503
1504
1505
1506
1507
1508
1509
1510
1511
1512
1513
1514
1515
1516
1517
1518
1519
1520
1521
1522
1523
1524
1525
1526
1527
1528
1529
1530
1531
1532
1533
1534
1535
1536
1537
1538
1539
1540
1541
1542
1543
1544
1545
1546
1547
1548
1549
1550
1551
1552
1553
1554
1555
1556
1557
1558
1559
1560
1561
1562
1563
1564
1565
1566
1567
1568
1569
1570
1571
1572
1573
1574
1575
1576
1577
1578
1579
1580
1581
1582
1583
1584
1585
1586
1587
1588
1589
1590
1591
1592
1593
1594
1595
1596
1597
1598
1599
1600
1601
1602
1603
1604
1605
1606
1607
1608
1609
1610
1611
1612
1613
1614
1615
1616
1617
1618
1619
1620
1621
1622
1623
1624
1625
1626
1627
1628
1629
1630
1631
1632
1633
1634
1635
1636
1637
1638
1639
1640
1641
1642
1643
1644
1645
1646
1647
1648
1649
1650
1651
1652
1653
1654
1655
1656
1657
1658
1659
1660
1661
1662
1663
1664
1665
1666
1667
1668
1669
1670
1671
1672
1673
1674
1675
1676
1677
1678
1679
1680
1681
1682
1683
1684
1685
1686
1687
1688
1689
1690
1691
1692
1693
1694
1695
1696
1697
1698
1699
1700
1701
1702
1703
1704
1705
1706
1707
1708
1709
1710
1711
1712
1713
1714
1715
1716
1717
1718
1719
1720
1721
1722
1723
1724
1725
1726
1727
1728
1729
1730
1731
1732
1733
1734
1735
1736
1737
1738
1739
1740
1741
1742
1743
1744
1745
1746
1747
1748
1749
1750
1751
1752
1753
1754
1755
1756
1757
1758
1759
1760
1761
1762
1763
1764
1765
1766
1767
1768
1769
1770
1771
1772
1773
1774
1775
1776
1777
1778
1779
1780
1781
1782
1783
1784
1785
1786
1787
1788
1789
1790
1791
1792
1793
1794
1795
1796
1797
1798
1799
1800
1801
1802
1803
1804
1805
1806
1807
1808
1809
1810
1811
1812
1813
1814
1815
1816
1817
1818
1819
1820
1821
1822
1823
1824
1825
1826
1827
1828
1829
1830
1831
1832
1833
1834
1835
1836
1837
1838
1839
1840
1841
1842
1843
1844
1845
1846
1847
1848
1849
1850
1851
1852
1853
1854
1855
1856
1857
1858
1859
1860
1861
1862
1863
1864
1865
1866
1867
1868
1869
1870
1871
1872
1873
1874
1875
1876
1877
1878
1879
1880
1881
1882
1883
1884
1885
1886
1887
1888
1889
1890
1891
1892
1893
1894
1895
1896
1897
1898
1899
1900
1901
1902
1903
1904
1905
1906
1907
1908
1909
1910
1911
1912
1913
1914
1915
1916
1917
1918
1919
1920
1921
1922
1923
1924
1925
1926
1927
1928
1929
1930
1931
1932
1933
1934
1935
1936
1937
1938
1939
1940
1941
1942
1943
1944
1945
1946
1947
1948
1949
1950
1951
1952
1953
1954
1955
1956
1957
1958
1959
1960
1961
1962
1963
1964
1965
1966
1967
1968
1969
1970
1971
1972
1973
1974
1975
1976
1977
1978
1979
1980
1981
1982
1983
1984
1985
1986
1987
1988
1989
1990
1991
1992
1993
1994
1995
1996
1997
1998
1999
2000
2001
2002
2003
2004
2005
2006
2007
2008
2009
2010
2011
2012
2013
2014
2015
2016
2017
2018
2019
2020
2021
2022
2023
2024
2025
2026
2027
2028
2029
2030
2031
2032
2033
2034
2035
2036
2037
2038
2039
2040
2041
2042
2043
2044
2045
2046
2047
2048
2049
2050
2051
2052
2053
2054
2055
2056
2057
2058
2059
2060
2061
2062
2063
2064
2065
2066
2067
2068
2069
2070
2071
2072
2073
2074
2075
2076
2077
2078
2079
2080
2081
2082
2083
2084
2085
2086
2087
2088
2089
2090
2091
2092
2093
2094
2095
2096
2097
2098
2099
2099
2100
2101
2102
2103
2104
2105
2106
2107
2108
2109
2109
2110
2111
2112
2113
2114
2115
2116
2117
2118
2119
2119
2120
2121
2122
2123
2124
2125
2126
2127
2128
2129
2129
2130
2131
2132
2133
2134
2135
2136
2137
2138
2139
2139
2140
2141
2142
2143
2144
2145
2146
2147
2148
2149
2149
2150
2151
2152
2153
2154
2155
2156
2157
2158
2159
2159
2160
2161
2162
2163
2164
2165
2166
2167
2168
2169
2169
2170
2171
2172
2173
2174
2175
2176
2177
2178
2179
2179
2180
2181
2182
2183
2184
2185
2186
2187
2188
2189
2189
2190
2191
2192
2193
2194
2195
2196
2197
2198
2199
2199
2200
2201
2202
2203
2204
2205
2206
2207
2208
2209
2209
2210
2211
2212
2213
2214
2215
2216
2217
2218
2219
2219
2220
2221
2222
2223
2224
2225
2226
2227
2228
2229
2229
2230
2231
2232
2233
2234
2235
2236
2237
2238
2239
2239
2240
2241
2242
2243
2244
2245
2246
2247
2248
2249
2249
2250
2251
2252
2253
2254
2255
2256
2257
2258
2259
2259
2260
2261
2262
2263
2264
2265
2266
2267
2268
2269
2269
2270
2271
2272
2273
2274
2275
2276
2277
2278
2279
2279
2280
2281
2282
2283
2284
2285
2286
2287
2288
2289
2289
2290
2291
2292
2293
2294
2295
2296
2297
2298
2298
2299
2299
2300
2301
2302
2303
2304
2305
2306
2307
2308
2309
2309
2310
2311
2312
2313
2314
2315
2316
2317
2318
2319
2319
2320
2321
2322
2323
2324
2325
2326
2327
2328
2329
2329
2330
2331
2332
2333
2334
2335
2336
2337
2338
2339
2339
2340
2341
2342
2343
2344
2345
2346
2347
2348
2349
2349
2350
2351
2352
2353
2354
2355
2356
2357
2358
2359
2359
2360
2361
2362
2363
2364
2365
2366
2367
2368
2369
2369
2370
2371
2372
2373
2374
2375
2376
2377
2378
2379
2379
2380
2381
2382
2383
2384
2385
2386
2387
2388
2388
2389
2389
2390
2391
2392
2393
2394
2395
2396
2397
2398
2398
2399
2399
2400
2401
2402
2403
2404
2405
2406
2407
2408
2409
2409
2410
2411
2412
2413
2414
2415
2416
2417
2418
2419
2419
2420
2421
2422
2423
2424
2425
2426
2427
2428
2429
2429
2430
2431
2432
2433
2434
2435
2436
2437
2438
2439
2439
2440
2441
2442
2443
2444
2445
2446
2447
2448
2449
2449
2450
2451
2452
2453
2454
2455
2456
2457
2458
2459
2459
2460
2461
2462
2463
2464
2465
2466
2467
2468
2469
2469
2470
2471
2472
2473
2474
2475
2476
2477
2478
2479
2479
2480
2481
2482
2483
2484
2485
2486
2487
2488
2489
2489
2490
2491
2492
2493
2494
2495
2496
2497
2498
2498
2499
2499
2500
2501
2502
2503
2504
2505
2506
2507
2508
2509
2509
2510
2511
2512
2513
2514
2515
2516
2517
2518
2519
2519
2520
2521
2522
2523
2524
2525
2526
2527
2528
2529
2529
2530
2531
2532
2533
2534
2535
2536
2537
2538
2539
2539
2540
2541
2542
2543
2544
2545
2546
2547
2548
2549
2549
2550
2551
2552
2553
2554
2555
2556
2557
2558
2559
2559
2560
2561
2562
2563
2564
2565
2566
2567
2568
2569
2569
2570
2571
2572
2573
2574
2575
2576
2577
2578
2579
2579
2580
2581
2582
2583
2584
2585
2586
2587
2588
2589
2589
2590
2591
2592
2593
2594
2595
2596
2597
2598
2598
2599
2599
2600
2601
2602
2603
2604
2605
2606
2607
2608
2609
2609
2610
2611
2612
2613
2614
2615
2616
2617
2618
2619
2619
2620
2621
2622
2623
2624
2625
2626
2627
2628
2629
2629
2630
2631
2632
2633
2634
2635
2636
2637
2638
2639
2639
2640
2641
2642
2643
2644
2645
2646
2647
2648
2649
2649
2650
2651
2652
2653
2654
2655
2656
2657
2658
2659
2659
2660
2661
2662
2663
2664
2665
2666
2667
2668
2669
2669
2670
2671
2672
2673
2674
2675
2676
2677
2678
2679
2679
2680
2681
2682
2683
2684
2685
2686
2687
2688
2689
2689
2690
2691
2692
2693
2694
2695
2696
2697
2698
2698
2699
2699
2700
2701
2702
2703
2704
2705
2706
2707
2708
2709
2709
2710
2711
2712
2713
2714
2715
2716
2717
2718
2719
2719
2720
2721
2722
2723
2724
2725
2726
2727
2728
2729
2729
2730
2731
2732
2733
2734
2735
2736
2737
2738
2739
2739
2740
2741
2742
2743
2744
2745
2746
2747
2748
2749
2749
2750
2751
2752
2753
2754
2755
2756
2757
2758
2759
2759
2760
2761
2762
2763
2764
2765
2766
2767
2768
2769
2769
2770
2771
2772
2773
2774
2775
2776
2777
2778
2779
2779
2780
2781
2782
2783
2784
2785
2786
2787
2788
2789
2789
2790
2791
2792
2793
2794
2795
2796
2797
2798
2798
2799
2799
2800
2801
2802
2803
2804
2805
2806
2807
2808
2809
2809
2810
2811
2812
2813
2814
2815
2816
2817
2818
2819
2819
2820
2821
2822
2823
2824
2825
2826
2827
2828
2829
2829
2830
2831
2832
2833
2834
2835
2836
2837
2838
2839
2839
2840
2841
2842
2843
2844
2845
2846
2847
2848
2849
2849
2850
2851
2852
2853
2854
2855
2856
2857
2858
2859
2859
2860
2861
2862
2863
2864
2865
2866
2867
2868
2869
2869
2870
2871
2872
2873
2874
2875
2876
2877
2878
2879
2879
2880
2881
2882
2883
2884
2885
2886
2887
2888
2889
2889
2890
2891
2892
2893
2894
2895
2896
2897
2898
2898
2899
2899
2900
2901
2902
2903
2904
2905
2906
2907
2908
2909
2909
2910
2911
2912
2913
2914
2915
2916
2917
2918
2919
2919
2920
2921
2922
2923
2924
2925
2926
2927
2928
2929
2929
2930
2931
2932
2933
2934
2935
2936
2937
2938
2939
2939
2940
2941
2942
2943
2944
2945
2946
2947
2948
2949
2949
2950
2951
2952
2953
2954
2955
2956
2957
2958
2959
2959
2960
2961
2962
2963
2964
2965
2966
2967
2968
2969
2969
2970
2971
2972
2973
2974
2975
2976
2977
2978
2979
2979
2980
2981
2982
2983
2984
2985
2986
2987
2988
2989
2989
2990
2991
2992
2993
2994
2995
2996
2997
2998
2999
2999
3000
3001
3002
3003
3004
3005
3006
3007
3008
3009
3009
3010
3011
3012
3013
3014
3015
3016
3017
3018
3019
3019
3020
3021
3022
3023
3024
3025
3026
3027
3028
3029
3029
3030
3031
3032
3033
3034
3035
3036
3037
3038
3039
3039
3040
3041
3042
3043
3044
3045
3046
3047
3048
3049
3049
3050
3051
3052
3053
3054
3055
3056
3057
3058
3059
3059
3060
3061
3062
3063
3064
3065
3066
3067
3068
3069
3069
3070
3071
3072
3073
3074
3075
3076
3077
3078
3079
3079
3080
3081
3082
3083
3084
3085
3086
3087
3088
3089
3089
3090
3091
3092
3093
3094
3095
3096
3097
3098
3098
3099
3099
3100
3101
3102
3103
3104
3105
3106
3107
3108
3109
3109
3110
3111
3112
3113
3114
3115
3116
3117
3118
3119
3119
3120
3121
3122
3123
3124
3125
3126
3127
3128
3129
3129
3130
3131
3132
3133
3134
3135
3136
3137
3138
3139
3139
3140
3141
3142
3143
3144
3145
3146
3147
3148
3149
3149
3150
3151
3152
3153
3154
3155
3156
3157
3158
3159
3159
3160
3161
3162
3163
3164
3165
3166
3167
3168
3169
3169
3170
3171
3172
3173
3174
3175
3176
3177
3178
3179
3179
3180
3181
3182
3183
3184
3185
3186
3187
3188
3189
3189
3190
3191
3192
3193
3194
3195
3196
3197
3198
3198
3199
3199
3200
3201
3202
3203
3204
32
```

```

987         Alarm = LOW;
988         t_reset = t_reset + t_delta;
989     } else {
990         t_reset = 0;
991     }
992
993     if (t_reset > 5000) { // Changes operating condition when
994         pushed more than 5s
995         do { // Blinks alarm LED 5 times
996             digitalWrite(LedBoilerAlarm, LOW);
997             digitalWrite(LedBoilerNormal, HIGH);
998             delay(100);
999             digitalWrite(LedBoilerNormal, LOW);
1000            digitalWrite(LedBoilerAlarm, HIGH);
1001            delay(100);
1002            blinkCount++;
1003        } while (blinkCount < 6);
1004        // Sets variables to working operating condition
1005        WaterVolume = WaterWorkingVolume;
1006        SteamPressure = SteamWorkingPressure;
1007        WaterTemperature = WaterWorkingTemperature;
1008        calculateThermodynamicVariables();
1009        WaterMass = WaterVolume*density_liquid; // Recalculates water mass
1010        FeedWaterMass = ((WaterInletFlow/3600) * (float(
1011            t_delta)/1000.0))*FeedWaterDensity;
1012        //Masa de vapor (kg)
1013        SteamMass = SteamWorkingMass; // Recalculates steam
1014        mass
1015        lcd.clear();
1016        Alarm = HIGH; //Sets alarm to HIGH to avoid burner
1017        start operation
1018    }
1019
1020 /*====> Writes data to digital PINS */
1021 void writeDigitalPorts() {
1022     // Alarm LED status
1023     digitalWrite(LedBoilerAlarm, Alarm);
1024
1025     // Water-level LED status
1026     if (WaterLevelIndicator < -20.0) {
1027         digitalWrite(LedLowLevel, HIGH);
1028         digitalWrite(LedRightLevel, LOW);
1029     } else if (WaterLevelIndicator >= -20.0 &&
1030                WaterLevelIndicator < 20.0) {
1031         digitalWrite(LedLowLevel, LOW);
1032         digitalWrite(LedRightLevel, HIGH);
1033     } else if (WaterLevelIndicator >= 20.0) {
1034         digitalWrite(LedHighLevel, HIGH);
1035         digitalWrite(LedRightLevel, LOW);
1036     }
1037
1038     // Boiler pressure LED status
1039     if (SteamPressure > SteamMaxPressure) {
1040         digitalWrite(LedPressureOk, LOW);
1041         digitalWrite(LedHighPressure, HIGH);
1042     } else if (SteamPressure < SteamMinPressure) {
1043         if (t_flashP >= 0 && t_flashP < 1000) { //El LED
1044             parpadea cada segundo
1045             digitalWrite(LedPressureOk, HIGH);
1046             digitalWrite(LedHighPressure, LOW);
1047             t_flashP = t_flashP + t_delta;
1048         }
1049     }
1050 }
```

```

1043 } else if (t_flashP > 1000 && t_flashP < 2000) {
1044     digitalWrite(LedPressureOk, LOW);
1045     t_flashP = t_flashP + t_delta;
1046 } else t_flashP = 0;
1047 } else {
1048     digitalWrite(LedPressureOk, HIGH);
1049     digitalWrite(LedHighPressure, LOW);
1050 }
1051
1052 // Burner LED status
1053 if (FlagBurnerON == 0) {
1054     digitalWrite(LedBurnerOn, LOW);
1055 } else if (FlagBurnerON == 1) {
1056     if (t_flashB < 500) { //El LED parpadea cada segundo
1057         digitalWrite(LedBurnerOn, HIGH);
1058         t_flashB = t_flashB + t_delta;
1059     } else if (t_flashB > 500 && t_flashB < 1000) {
1060         digitalWrite(LedBurnerOn, LOW);
1061         t_flashB = t_flashB + t_delta;
1062     } else t_flashB = 0;
1063 } else digitalWrite(LedBurnerOn, HIGH);
1064
1065
1066
1067 //Sends PWM Level Signal to OutLevel PIN (-30 ~ +30)
1068 analogWrite(OutLevel, int((WaterLevelIndicator + 30) / 60 *
254));
1069 //Sends PWM Pressure Signal to OutPressure (0 ~ 20)
1070 analogWrite(OutPressure, int(SteamPressure/20*254));
1071 }
1072
1073 /*====> Interpolates data */
1074 float interpolate(float value, float LL, float LH, float VL, float
VH) {
1075     return LL + (value - VL) * (LH - LL) / (VH - VL);
1076 }
1077
1078 /*====> Process PWM signals */
1079 void processPin(byte pin) {
1080     uint8_t trigger = getPinChangeInterruptTrigger(
1081         digitalPinToPCINT(channel_pin[pin]));
1082
1083     if(trigger == RISING) {
1084         rising_start[pin] = micros();
1085     } else if(trigger == FALLING) {
1086         channel_length[pin] = micros() - rising_start[pin];
1087     }
1088
1089 /*====> Detects ascending PWM signal on channel_pin[0] */
1090 void onRising0(void) {
1091     processPin(0);
1092 }
1093
1094 /*====> Detects ascending PWM signal on channel_pin[1] */
1095 void onRising1(void) {
1096     processPin(1);
1097 }
```

## B.2 Archivos de configuración

### B.2.1 Parámetros y constantes

```

1 //PIN definition
2
3 //Auto-manual switch
4 #define InputBurnerManual      A15
5 //Feed water manual control potentiometer
6 #define InputWaterManual       A14
7 //Puerto entrada apertura de la válvula principal de vapor
8 #define InputMainValve        A13
9 //Puerto salida presión
10 #define OutPressure          8
11 //Puerto salida Nivel
12 #define OutLevel              9
13 //Puerto salida Quemador ON
14 #define LedBurnerOn           28
15 //Puerto salida nivel correcto
16 #define LedRightLevel         23
17 //Puerto salida Alarma nivel
18 #define LedLowLevel           22
19 #define LedHighLevel          22
20 //Puerto salida Alarma presión
21 #define LedHighPressure        24
22 //Puerto salida presión correcta
23 #define LedPressureOk          25
24 //Puerto salida Bloqueo caldera
25 #define LedBoilerAlarm          26
26 //Puerto salida caldera operativa
27 #define LedBoilerNormal         27
28 //Puerto entrada Reset
29 #define InputReset              38
30 #define Display_1               53
31 #define Display_2               52
32 //Puerto entrada Auto/Man
33 #define InputAutoManual         39
34
35
36
37 //Parámetros para el reseteo en condiciones de operación
38 //Volumen normal de operación de la caldera (para la función de
39 //reseteo)
40 #define WaterWorkingVolume     27.36 //0 mm
41 //##define WaterWorkingVolume 26.8 // -30 mm
42 #define SteamWorkingPressure    16.0
43 #define WaterWorkingTemperature 204.0
44 #define SteamWorkingMass         63.0
45
46 //Definición de parámetros de la caldera
47 //Caudal máximo de vapor en T/h
48 #define SteamMaxFlow            10.0
49 //Potencia máxima kW
50 #define PMax                   6563
51 //Nivel mínimo de agua (mm)
52 #define WaterLevelMinimum       2500.0
53 //Densidad del agua de alimentación (kg/m3)
54 #define FeedWaterDensity        992.25
55 //Temperatura del agua de alimentación (°C)
56 #define FeedWaterTemperature     40
57 //Temperatura ambiente (°C)

```

```
58 #define EnvironmentTemperature 25.0
59 //Diámetro de la tubería de agua de alimentación (m)
60 #define PipeDiameter 0.065
61 //Presión máxima de la bomba de agua de alimentación (bar)
62 #define FeedWaterMaxPressure 28.715
63 //Presión máxima de trabajo de la caldera (bar)
64 #define SteamMaxPressure 20.0
65 //Presión mínima de trabajo de la caldera (bar)
66 #define SteamMinPressure 12.0
67 //Tiempo del proceso de barrido (s)
68 #define burnerStartupTime 30
69 //Constante de tiempo para el control del quemador (ms)
70 #define K_Burner 50000.0
71 //Posición mínimo para el arranque del quemador (%)
72 #define burnerMinimum 5.0
73 //Tiempo de ignición (s)
74 #define tBurnerIgnition 3.0
75 //Constante de tiempo de la válvula de agua de alimentación (ms)
76 #define K_ButterflyValve 20000.0
77 //Potencia perdidas por aislamiento
78 //#define LosePower 0 {ha sido
    modificada a variable en BoilerControlVariables.h}

79
80
81 //Definición de las características de la instalación
82 //Tuberías
83 //Diámetro interior de la tubería (mm)
84 #define Di 220.0
85 //Presión nominal de la tubería: 20bar
86 //Longitud equivalente (m)
87 #define LE 250.0
88
89 //Dimensiones de la caldera
90 //Número de tubos del segundo paso de humos
91 #define nTubSecStep 150
92 //Número de tubos del tercer paso de humos
93 #define nTubThiStep 84
94 //Diámetro del quemador (m)
95 #define FurnaceDiameter 1.31
96 //Diámetro de la caldera (m)
97 #define boilerDiameter 3.2
98 //Diámetro de los tubos de paso de humos (m)
99 #define tubeDiameter 0.061
100 //Longitud del hogar de la caldera (m)
101 #define furnaceLength 5.638
102 //Longitud de los tubos del segundo paso de humos (m)
103 #define secStepLength 4.724
104 //Longitud de los tubos del tercer paso de humos (m)
105 #define thiStepLength 5.94
106 //espesor del acero de la caldera (m)
107 #define MaterialThickness 0.008
108 //Longitud de la caldera (m)
109 #define BoilerLength 6.2
110 //Internal boiler wall radius (mm)
111 #define internalBoilerWRad 1.491
112 //External boiler wall radius (mm)
113 #define externalBoilerWRad 1.499
114 //External boiler thermal isolation radius (mm)
115 #define externalBoilerThermalIsoRad 1.599
116 //External boiler radius (mm)
117 #define externalBoilerRad 1.6
118 //Front and rear cover radius (m)
119 #define CoverRadius 1.6
```

```

120
121     //Fuel data
122     #define LowCalVal 39765 //kJ/kg
123
124     //Adiabatic temperatures
125     //Light fuel oil (°C)
126     #define L_FuelAdiabaticTemperature 2104
127     //Medium fuel oil (°C)
128     #define M_FuelAdiabaticTemperature 2101
129     //Heavy fuel oil (°C)
130     #define H_FuelAdiabaticTemperature 2102
131
132
133     //Chemical Data
134     //Carbon (g/mol)
135     #define C_AtomicWeight 12
136     //Hydrogen (g/mol)
137     #define H_AtomicWeight 1.008
138     //Nitrogen (g/mol)
139     #define N_AtomicWeight 14
140     //Oxygen (g/mol)
141     #define O_AtomicWeight 16
142     //Fuel (kg/mol)
143     #define Fuel_molecWeight 0.28233
144     //Carbon dioxide (kg/mol)
145     #define CO2_molecWeight 0.044
146     //Water (kg/mol)
147     #define H2O_molecWeight 0.018016
148
149     //Specifics heats
150     //Nitrogen (kJ/kg°C)
151     #define N2SH 1.04
152     //Oxygen (kJ/kg°C)
153     #define O2SH 0.918
154     //Fuel (kJ/kg°C)
155     #define FuelSH 1.5899
156     //Carbon dioxide (kJ/kg°C)
157     #define CO2SH 0.8439
158     //Water (kJ/kg°C)
159     #define H20SH 4.18
160
161     //Definición de coeficientes termicos
162     //Water Thermal Coefficient (W/m²·K)
163     #define K_H2O 62
164     //Air Thermal Coefficient (W/m²·K)
165     #define K_Air 18
166     //Exhaust gas Thermal Coefficient (W/m²·K)
167     #define K_ExhaustGas 280
168     //Steel Thermal Coefficient (W/m·K)
169     #define SteelThermalCoefficient 50.20
170     //Rock Wool Thermal Coefficient (W/m·K)
171     #define RockWoolThermalCoefficient 0.0410
172     //Aluminium Thermal Coefficient (W/m·K)
173     #define AluminiumThermalCoefficient 209.3
174
175     //Definición de constantes
176     //numero pi
177     #define pi 3.1416

```

### B.2.2 Variables

```
2 //Definición de variables de control
3 //Valor del control del quemador
4 float ControlBurner = 0.0;
5 //Valor del control de nivel
6 float ControlLevel = 0.0;
7 //Control del bloqueo de la caldera
8 int Alarm = HIGH;
9 //Estado del pulsador de rearme
10 int Reset = LOW;
11 //LCD change function
12 int Value1 = LOW;
13 int Value2 = LOW;
14 //Apertura válvula principal de vapor
15 int MainValve = 0;
16 //Indicador automático/manual HIGH:Auto , LOW:Manual
17 int FlagBurner = LOW, FlagWater = LOW;
18 //Indicador del estado del quemador
19 int FlagBurnerON = 0; //0:Apagado 1:Barrido 2:Encendido
20 //Indicador del estado de la purga de gases
21 int FlagPurgeStart = 0; //0:Requiere reposicionarse 1:Puede
    iniciar 3:Barrido finalizado
22 //Indicador estado Auto/Manual
23 int FlagAutoManual = 0; //0: Manual 1: Auto
24
25
26 //Definición de variables de funcionamiento
27 //Volumen de agua (m3)
28 float WaterVolume = 26.8; //0.0 modificado
29 //Nivel del agua (m)
30 float WaterLevel = 0.0;
31 //Nivel indicador (mm)
32 float WaterLevelIndicator = 0.0;
33 //Temperatura del agua (°C)
34 double WaterTemperature = 25. ;
35 //Presión de vapor (bar)
36 float SteamPressure = 0.0;
37 //Caudal del agua de alimentación
38 float WaterInletFlow = 0.0;
39 //Caudal de vapor (m3/s)
40 float SteamOutletFlow = 0.0;
41 //Potencia perdidas por aislamiento
42 float LosePower = 0.0;
43 //Rendimiento del quemador
44 float etaBurner = 0.0;
45 //Carga de la caldera
46 float BoilerLoad = 0;
47 //Potencia transferida al agua (kW)
48 float PowerTransferred = 0.0;
49 //Calor transferido al agua (kWs)
50 float HeatTransferred = 0.0;
51 //Flujo de vapor
52 float SteamFlow = 0.0;
53
54 //Variables cálculo de pérdidas térmicas
55 //pi number pow 2
56 float pi2 = pow(pi, 2);
57 //Cilinder area
58 float BoilerCylindricalSurface = 0.0;
59 //Circunference area
60 float BoilerCoverSurface = 0.0;
61 //Cilinder area
62 float BoilerExternalCylindricalrSurface = 0.0;
63 //Boiler steel thickness
```

```
64     float BoilerSteelThickness = 0.0;
65     //Boiler isolation thickness
66     float BoilerIsolationThickness = 0.0;
67     //Boiler isolation protector thickness
68     float BoilerIsolationProtectorThickness = 0.0;
69
70     //Boiler body thermal resistance (W)
71     float Rtotalcyl = 0.0;
72     //Lost heat boiler body insulation
73     float Qperd1 = 0.0;
74     //Boiler front cover thermal resistance (°C/W)
75     float Rtotalfront = 0.0;
76     //Boiler rear cover thermal resistance (°C/W)
77     float Rtotalrear = 0.0;
78     //Lost heat insulationr front cover (W)
79     float Qperd2 = 0.0; //(W)
80     //Lost heat insulation rear cover (W)
81     float Qperd3 = 0.0; //(W)
82     //Boiler thermal resistance (°C/W)
83     float Rboiler = 0.0;
84
85
86
87     //Definición de variables de simulación
88     //Tiempo de inicio de bucle
89     unsigned long t_init = 0;
90     //Tiempo de bucle
91     unsigned long t_delta = 0;
92     //Tiempo de reset
93     unsigned long t_reset = 0;
94     //Tiempo de parpadeo LED presión
95     unsigned long t_flashP = 0;
96     //Tiempo parpadeo LED quemador
97     unsigned long t_flashB = 0;
98     //Tiempo de barrido
99     unsigned long t_burnerStart = 0;
100    //Tiempo del encendido
101    unsigned long t_burnerIgnition = 0;
102    //Volumen de agua en la caldera al inicio del ciclo
103    double v_init = 0.0;
104    //Incremento del volumen en cada ciclo
105    double v_delta = 0.0;
106    //Temperatura de saturación (°C)
107    float T_saturate = 0.0;
108    //Presión correspondiente a la temperatura de saturación
109    float P_saturate = 0.0;
110    //Densidad de líquido (kg/m³)
111    float density_liquid = 0.0;
112    //Densidad de vapor (kg/m³)
113    float density_steam = 0.0;
114    //Entalpía específica del agua líquida (kJ/kg)
115    float h_water = 0.0;
116    //Entalpía específica del vapor (kJ/kg)
117    float h_steam = 0.0;
118    //Entalpía específica del agua en el bucle anterior (kJ/kg)
119    float H_water_b = 0.0;
120    //Calor latente de vaporización (kJ/kg)
121    float L_ws = 0.0;
122    //Calor específico del agua líquida (kJ/kgK)
123    float c_water = 0.0;
124    //Temperatura de la caldera
125    float BoilerTemperature = 0.0;
126    //Temperatura tras el aporte energético del quemador
```

```
127     float IntermediateTemperature = 0.0;
128     //Energía neta
129     double NetEnergy = 0.0;
130     //Energía de calentamiento a Ts
131     float HeatEnergy = 0.0;
132     //Energía sobrante
133     float SurplusEnergy = 0.0;
134     //Masa de vapor generado
135     float SteamMass = 0.0;
136     //Volumen de vapor generado
137     float SteamVolume = 0.0;
138     //Calculo de la presion generada por la masa de vapor
139     float SteamPressurecreate = 0.0;
140     //Número de moles
141     float n = 0.0;
142
143     //Combustión, variables cálculo temperatura del hogar
144     //Fuel Flow
145     float FuelFlow = 0.0;
146     //Value n of Air Excess
147     float nExcess = 0.0;
148     //Reactive combustion products flow
149     //Moles of fuel for current fuel flow
150     float MOLFlowFuel = 0.0;
151     //Moles of oxygen for stoichiometric combustion
152     float MOLO2stoichiometric = 0.0;
153     //Moles of oxygen flow for stoichiometric combustion
154     double MOLO2stoichiometricFlow = 0.0;
155     //No reactive exhaust gases flow with air excess
156     //Excess oxigen flow
157     double O2Flow = 0.0;
158     //Excess nitrogen flow
159     double N2Flow = 0.0;
160     //Excess carbon dioxide flow
161     double CO2Flow = 0.0;
162     //Reactive exhaust gases flow with air excess
163     //Reactive carbon dioxide flow of exhaust gas
164     double CO2Flowreactive = 0.0;
165     //Reactive water steam flow of exhaust gas
166     double H2OFlowreactive = 0.0;
167     //Non-reactive nitrogen flow of exhaust gas
168     double N2Flownonreactive = 0.0;
169     //Non-reactive carbon dioxide flow of exhaust gas
170     double CO2Flownonreactive = 0.0;
171     //Non-reactive oxygen flow of exhaust gas
172     double O2Flownonreactive = 0.0;
173     //Boiler furnace temperature
174     float FurnaceTemp = 0.0;
175
176     //Efficiency according to boiler load
177     //Curve Efficiency
178     float Efficiency = 0.0;
179     //U coefficient
180     float CoeffU = 0.0;
181     //Real logarithmic mean temperature
182     float LMTreal = 0.0;
183     //Iterated logarithmic mean temperature
184     float LMTiterated = 0.0;
185     //Exhaust Temp
186     float ExhaustTemp = 0.0;
187
188     //variables cálculo de superficie
189     //Radio interno del hogar (m)
```

```
190     double Internalfurnrad = 0.00;
191     //Radio externo del hogar (m)
192     double Externalfurnrad = 0.00;
193     //Radio interno de los tubos del segundo paso de humos (m)
194     double IntsecSteprad = 0.00;
195     //Radio Externo de los tubos del segundo paso de humos (m)
196     double ExtsecSteprad = 0.00;
197     //Radio interno de los tubos del tercer paso de humos (m)
198     double IntthiSteprad = 0.00;
199     //Radio externo de los tubos del tercer paso de humos (m)
200     double ExtthiSteprad = 0.00;
201     //Superficie del hogar (m2)
202     double Furnacesurface = 0.00;
203     //Superficie del segundo paso de humos (m2)
204     double secStepsurface = 0.00;
205     //Superficie del tercer paso de humos (m2)
206     double thiStepsurface = 0.00;
207     //Superficie total de intercambio de la caldera (m2)
208     double ExchangeSurface = 0.00;
209
210
211     //Calor específico del agua de alimentación a 40°C (kJ/kgK)
212     float C_FeedWater = 4.179;
213     //Masa de agua de la caldera (kg)
214     float WaterMass = 0.0;
215     //Masa de agua de alimentación en cada ciclo (kg)
216     float FeedWaterMass = 0.0;
217     //Viscosidad dinámica del vapor saturado kg/ms
218     float viscosity_steam = 0.0;
219     //Número de Reynolds
220     float Re = 0.0;
221
222
223
224     //Conversión de variables analógicas
225     float Burner = 0.0;
226     //Constante tiempo de reacción del quemador
227     unsigned long timeBurner = 0;
228     //Posición de la válvula de agua de alimentación
229     float ButterflyValve = 0.0;
230     //Tiempo de reacción de la válvula de agua de alimentación
231     unsigned long timeButterflyValve = 0;
232     //Posición de la válvula principal de vapor
233     float Valve = 0.0;
```